



การศึกษาปัจจัยที่มีผลต่อความคงตัวทางกายภาพของกะทิและอาหารที่มีกะทิเป็นส่วนผสม

โดย
นางสาวนฤรัชน์ ชัยแจ้ง

วิทยานิพนธ์นี้เป็นส่วนหนึ่งของการศึกษาตามหลักสูตรปริญญาวิทยาศาสตรมหาบัณฑิต
สาขาวิชาเทคโนโลยีอาหาร
ภาควิชาเทคโนโลยีอาหาร
บัณฑิตวิทยาลัย มหาวิทยาลัยศิลปากร
ปีการศึกษา 2552
ลิขสิทธิ์ของบัณฑิตวิทยาลัย มหาวิทยาลัยศิลปากร

การศึกษาปัจจัยที่มีผลต่อความคงตัวทางกายภาพของกะทิและอาหารที่มีกะทิเป็นส่วนผสม

โดย

นางสาวนฤรัชน์ ชัยแจ้ง

วิทยานิพนธ์นี้เป็นส่วนหนึ่งของการศึกษาตามหลักสูตรปริญญาวิทยาศาสตรมหาบัณฑิต

สาขาวิชาเทคโนโลยีอาหาร

ภาควิชาเทคโนโลยีอาหาร

บัณฑิตวิทยาลัย มหาวิทยาลัยศิลปากร

ปีการศึกษา 2552

ลิขสิทธิ์ของบัณฑิตวิทยาลัย มหาวิทยาลัยศิลปากร

**STUDY OF FACTORS AFFECTING PHYSICAL STABILITY OF COCONUT MILK AND
FOODS CONTAINING COCONUT MILK**

By

Naruerat Chaijang

**A Thesis Submitted in Partial Fulfillment of the Requirements for the Degree
MASTER OF SCIENCE
Department of Food Technology
Graduate School
SILPAKORN UNIVERSITY
2009**

บัณฑิตวิทยาลัย มหาวิทยาลัยศิลปากร อนุมัติให้วิทยานิพนธ์เรื่อง “ การศึกษาปัจจัยที่มีผลต่อความคงตัวทางกายภาพของกะทิและอาหารที่มีกะทิเป็นส่วนผสม ” เสนอโดย นางสาวนฤรัชนา ชัยแจ้ง เป็นส่วนหนึ่งของการศึกษาตามหลักสูตรปริญญาศาสตรมหาบัณฑิต สาขาวิชาเทคโนโลยีอาหาร

.....
(รองศาสตราจารย์ ดร.ศิริชัย ชนะตั้งกุร)

คณบดีบัณฑิตวิทยาลัย
วันที่.....เดือน..... พ.ศ.....

อาจารย์ที่ปรึกษาวิทยานิพนธ์

- ผู้ช่วยศาสตราจารย์ ดร.เอกพันธ์ แก้วมณีชัย
- ผู้ช่วยศาสตราจารย์ ดร.ปริญดา เพ็ญโราจน์
- ผู้ช่วยศาสตราจารย์ ดร.ดวงใจ ถิรธรรมถาวร

คณะกรรมการตรวจสอบวิทยานิพนธ์

..... ประธานกรรมการ
(ผู้ช่วยศาสตราจารย์ ดร.ประسنศ์ ศิริวงศ์ไอลชาติ)
...../...../.....

..... กรรมการ
(ผู้ช่วยศาสตราจารย์ ดร.สุภาณี ค่านวิริยะกุล)
...../...../.....

..... กรรมการ
(ผู้ช่วยศาสตราจารย์ ดร.ปริญดา เพ็ญโราจน์)
...../...../.....

..... กรรมการ
(ผู้ช่วยศาสตราจารย์ ดร.เอกพันธ์ แก้วมณีชัย)
...../...../.....

..... กรรมการ
(ผู้ช่วยศาสตราจารย์ ดร.ดวงใจ ถิรธรรมถาวร)
...../...../.....

51403205 : สาขาวิชาเทคโนโลยีอาหาร

คำสำคัญ : กะทิ / โปรตีนกะทิ / ความคงตัวทางกายภาพ / อาหารที่มีกะทิเป็นส่วนผสม

นักวิชานี้ ชัยแจ้ง : การศึกษาปัจจัยที่มีผลต่อความคงตัวทางกายภาพของกะทิและอาหารที่มีกะทิเป็นส่วนผสม. อาจารย์ที่ปรึกษาวิทยานิพนธ์ : ผศ.ดร.เอกพันธุ์ แก้วณิชัย, ผศ.ดร.ปริญดา เพ็ญโภจน์ และ ผศ.ดร.ดวงใจ ธิรธรรมถาวร. 100 หน้า.

ในงานวิจัยนี้ได้ทำการแยกโปรตีนกะทิออกเป็น 4 ส่วน คือ 1) โปรตีนที่ไม่ละลายในกะทิ (insoluble coconut milk protein, IP) ซึ่งแยกมาจากการเหวี่ยนน้ำกะทิ 2) โปรตีนที่ดูดซับอยู่รอบผิวครีอปเล็ท (coconut cream protein, CCP) ซึ่งแยกได้จากการแช่แข็ง-ละลายหัวกะทิ 3) โปรตีนที่ละลายอยู่ในหางกะทิ (coconut skim milk protein, CSP) ซึ่งแยกได้จากการไกอะไลซ์หางกะทิ และ 4) โปรตีนที่ไม่ละลายในหางกะทิ (insoluble skim milk protein, ISP) ซึ่งแยกได้โดยการกรองหางกะทิที่ผ่านการไกอะไลซ์แล้ว ผลการวิเคราะห์ด้วย SDS-PAGE แสดงให้เห็นว่าโปรตีนกะทิน้ำหนักโมเลกุลโดยส่วนใหญ่อยู่ในช่วง 14.4-66.2 กิโลคาลตัน (kDa) ผลการวิเคราะห์ด้วย DSC แสดงให้เห็นว่าโปรตีนกะทินมีอุณหภูมิการเสียสภาพธรรมชาติ (T_g) ต่ำสุดที่ประมาณ 90°C

จากการศึกษาสภาวะในการโซโนเมจในช่องกะทิที่ความดัน (ขั้นที่ 1/ขั้นที่ 2) 3 ระดับ คือ 11/4 17/4 และ 23/4 MPa โดยโซโนเมจ 1, 2 และ 3 รอบ กรณีไม่เติมสารสเตบิไลเซอร์พบว่าเมื่อเพิ่มระดับความดันและจำนวนรอบในการโซโนเมจส่งผลให้ขนาดของครีอปเล็ทเล็กลงและมีความคงตัวต่อการแยกชั้นครีมเพิ่มขึ้นอย่างมีนัยสำคัญทางสถิติ ($P<0.05$) ส่วนในกรณีที่เติมสาร CMC หรือ Tween 60 พบร่วมกับการเพิ่มความดันและจำนวนรอบในการโซโนเมจไม่ได้ทำให้ขนาดครีอปเล็ทเล็กลงอย่างมีนัยสำคัญทางสถิติ ($P>0.05$) โดยที่ความดัน 23/4 MPa และโซโนเมจ 1 รอบ ให้กะทิที่มีขนาดครีอปเล็ทเฉลี่ยเล็ก มีความคงตัวต่อการแยกชั้นครีมสูง

การโซโนเมจร่วมกับการใช้ Tween 60 (ร้อยละ 0.25-1.00) และ CMC (ร้อยละ 0.60) ทำให้ได้กะทิสเตอโริไลซ์ที่ไม่เกิดตะกอนอ่อน มีความเป็นเนื้อเดียวกันหลังเบี้ยงสม และมีความคงตัวต่อการแยกชั้นครีมสูง ส่วนในอาหารสเตอโริไลซ์แบบพีโอชต์ พีโอชสูง และความเข้มข้นน้ำตาลสูงที่ผลิตจากกะทิที่โซโนเมจร่วมกับ Tween 60 ร้อยละ 0.25-1.00 และ CMC ร้อยละ 0.60 ไม่พบการเกิดตะกอนอ่อนและการแยกชั้นน้ำมัน ในขณะที่อาหารแบบเดียวกันแต่แช่แข็งกลับพบการตกตะกอนและเกิดการแยกชั้นน้ำมัน

ภาควิชาเทคโนโลยีอาหาร บัณฑิตวิทยาลัย มหาวิทยาลัยศิลปากร ปีการศึกษา 2552

ลายมือชื่อนักศึกษา.....

ลายมือชื่ออาจารย์ที่ปรึกษาวิทยานิพนธ์ 1. 2. 3.

51403205 : MAJOR : FOOD TECHNOLOGY

KEY WORDS : COCONUT MILK / COCONUT PROTEIN / PHYSICAL STABILITY / FOODS
CONTAINING COCONUT MILK

NARUERAT CHAIJANG : STUDY OF FACTORS AFFECTING PHYSICAL STABILITY
OF COCONUT MILK AND FOODS CONTAINING COCONUT MILK. THESIS ADVISORS : ASST.
PROF. EAKAPHAN KEOWMANEECHAI, Ph.D., ASST. PROF. PARINDA PENROJ, Ph.D., AND
ASST. PROF. DOUNGJAI TIRATHUMTHAVORN, Ph.D.. 100 pp.

In this study, four coconut milk protein fractions were separated from coconut milk; 1) insoluble coconut milk protein (IP) obtained by centrifuging whole coconut milk, 2) coconut cream protein (CCP) separated by freeze-thawing coconut cream, 3) coconut skim milk protein (CSP) obtained by dialyzing coconut skim milk and 4) insoluble coconut skim milk protein (ISP) separated by filtrating dialyzed coconut skim milk. Results from SDS-PAGE revealed that most coconut milk proteins had the molecular weight (MW) ranging from 14.4 to 66.2 kDa. DSC demonstrated that coconut milk proteins had lowest peak denaturation temperatures (T_d) about 90°C.

Homogenization conditions for coconut milk were studied at pressure levels (first stage/second stage) of 11/4, 17/4 and 23/4 MPa for 1, 2 and 3 passes through a homogenizer. In an absence of CMC and Tween 60, increasing pressure and number of passes significantly reduced average droplet size and increased the stability against creaming ($P<0.05$). In a presence of CMC or Tween 60, increasing pressure and number of passes did not significantly decrease the average droplet size of the coconut milk ($P>0.05$). At 23/4 MPa for 1 pass, the coconut milk had small average droplet size and high stability against creaming.

Homogenization in presence of Tween 60 (0.25-1.00 wt%) and CMC (0.60 wt%) could provide sterilized coconut milk which had no curding, stayed homogeneous after shaking and showed high stability against creaming. High-acid, low-acid and high-sugar sterilized foods containing homogenized coconut milk with 0.25-1.00% Tween 60 and 0.60% CMC did not exhibit curding and oiling-off. On the other hand, precipitation and oiling-off were found in corresponding frozen foods.

กิตติกรรมประกาศ

การจัดทำวิทยานิพนธ์เล่มนี้สามารถสำเร็จลุล่วงไปได้ด้วยดี ทั้งนี้ผู้จัดทำขอขอบพระคุณ ผู้ช่วยศาสตราจารย์ ดร.เอกพันธ์ แก้วณีชัย ซึ่งให้ความกรุณาเป็นอาจารย์ที่ปรึกษาวิทยานิพนธ์และให้ความช่วยเหลืออุดมให้การดำเนินงานวิจัยสำเร็จลุล่วงไปได้ด้วยดีมาโดยตลอด ขอขอบพระคุณที่ท่านได้ให้ความรู้และคำแนะนำ ทั้งในส่วนของเนื้อหา การจัดทำรูปเล่ม ตลอดจนตรวจแก้ไข วิทยานิพนธ์เล่มนี้ให้เสร็จสมบูรณ์ยิ่งขึ้น

ขอขอบพระคุณ คณาจารย์ภาควิชาเทคโนโลยีอาหารทุกท่าน ที่กรุณาให้ความรู้ในด้าน วิชาการ ตลอดจนคำแนะนำต่าง ๆ อันเป็นประโยชน์ยิ่งมาโดยตลอด

ขอขอบคุณภาควิชาเทคโนโลยีอาหารสำหรับทุนการศึกษา และสถาบันวิจัยและพัฒนามหาวิทยาลัยศิลปากร ผู้ให้ทุนสนับสนุนงานวิจัย ภายใต้ชุดโครงการ การพัฒนาและปรับปรุง คุณภาพผลิตภัณฑ์จากมะพร้าว ที่ได้ให้ทุนอุดหนุนงานวิจัยในครั้งนี้

ขอขอบคุณ บริษัท เทพพดุงพรมะพร้าว จำกัด สำหรับการสนับสนุนและให้ข้อมูลในการดำเนินงานวิจัย

ขอขอบคุณ เอกหน้าที่ประจำภาควิชาเทคโนโลยีอาหารทุกท่าน ที่ให้ความช่วยเหลือในการค้นคว้าหนังสือและอำนวยความสะดวกในด้านต่าง ๆ

ขอขอบคุณพี่ๆ และเพื่อนๆ ทุกคน ที่ช่วยเหลือในเรื่องต่าง ๆ พร้อมทั้งให้คำปรึกษาและเป็นกำลังใจที่ดีตลอดมา

สุดท้ายนี้ขอกราบขอบพระคุณ คุณพ่อ คุณแม่ ที่เคยอบรมเลี้ยงดูเป็นกำลังใจในการทำงานและให้การสนับสนุนการศึกษาอย่างดีตลอดมา

สารบัญ

	หน้า
บทคัดย่อภาษาไทย	๑
บทคัดย่อภาษาอังกฤษ	๒
กิตติกรรมประกาศ.....	๓
สารบัญตาราง	๔
สารบัญภาพ	๕
บทที่	
1 บทนำ.....	1
ความเป็นมาและความสำคัญของปัญหา.....	1
วัตถุประสงค์ของการศึกษา	2
ขอบเขตของการศึกษา.....	3
ประโยชน์ที่คาดว่าจะได้รับ	3
2 เอกสารและงานวิจัยที่เกี่ยวข้อง.....	4
ทำสำเนา.....	4
คุณลักษณะของกะทิ.....	4
วิธีการแยกและสมบัติของโปรตีนกะทิ	6
อิมัลชัน.....	9
ความไม่คงตัวทางกายภาพของอิมัลชัน	10
อิมัลซิฟายเออร์และกัม	14
การรักษาความคงตัวของน้ำกะทิประรูป	15
3 วัตถุคืน อุปกรณ์ และวิธีการ	19
วัตถุคืน	19
เครื่องมือและอุปกรณ์	19
สารเคมี.....	20
วิธีดำเนินงานวิจัย	22
การวางแผนการทดลองและวิเคราะห์ผลทางสถิติ.....	28
สถานที่ทำการทดลอง	28
4 ผลการทดลองและการวิเคราะห์	30
องค์ประกอบทางเคมีของกะทิและโปรตีนกะทิ	30

บทที่	หน้า
องค์ประกอบและขนาดโมเลกุลของโปรตีนกะทิ.....	32
การเปลี่ยนแปลงเชิงความร้อนของโปรตีนกะทิ.....	33
ผลของสภาวะในการโซโนจีไนซ์ต่อสมบัติและความคงตัวทางกายภาพ ของกะทิ.....	35
ผลของปริมาณสารอิมัลซิฟายเออร์ร่วมกับการโซโนจีไนซ์กะทิในระบบ การสเตอโรไรซ์และการแช่แข็ง-ละลาย	42
ผลของปริมาณสารอิมัลซิฟายเออร์ร่วมกับการโซโนจีไนซ์ในระบบอาหารที่มี กะทิเป็นส่วนผสมแบบพื้อเชื่อมต่อสมบัติและความคงตัวทางกายภาพ ของกะทิ	45
ผลของปริมาณสารอิมัลซิฟายเออร์ร่วมกับการโซโนจีไนซ์ในระบบอาหารที่มี กะทิเป็นส่วนผสมแบบพื้อเชื่อมต่อสมบัติและความคงตัวทางกายภาพ ของกะทิ	51
ผลของปริมาณสารอิมัลซิฟายเออร์ร่วมกับการโซโนจีไนซ์ในระบบอาหารที่มี กะทิเป็นส่วนผสมแบบความเข้มข้นน้ำตาลสูงต่อสมบัติและความคงตัว ทางกายภาพของกะทิ	56
5 สรุปผลการทดลอง	62
 บรรณานุกรม	64
 ภาคผนวก	70
ภาคผนวก ก วิธีการวิเคราะห์คุณสมบัติทางเคมี	71
ภาคผนวก ข สูตรและวิธีการเตรียมอาหารที่มีกะทิเป็นส่วนผสม	82
ภาคผนวก ค ตารางผลการทดลอง	89
 ประวัติผู้วิจัย	100

สารบัญตาราง

ตารางที่	หน้า
1 องค์ประกอบโดยประมาณของกะทิที่ได้จากการบีบเนื้อมะพร้าวโดยไม่เติมน้ำ.....	5
2 องค์ประกอบโดยประมาณของโปรตีนกะทิที่แยกได้จากกะทิ	8
3 สัดส่วนของค์ประกอบของกรดไขมันในกะทิและน้ำมันมะพร้าว.....	13
4 อุณหภูมิและระยะเวลาที่เหมาะสมสำหรับกะทิบรรจุกระป๋องขนาดต่าง ๆ	18
5 องค์ประกอบโดยประมาณของกะทิ ส่วนครีม ส่วนหางกะทิและส่วนตะกอน ที่ไม่ละลายในกะทิ.....	30
6 ปริมาณโปรตีนโดยประมาณของโปรตีนส่วนต่าง ๆ ที่แยกได้จากกะทิ	31
7 อุณหภูมิการเสียสภาพธรรมชาติที่ยอดพีคและค่าเออนทาลปีของโปรตีนกะทิ.....	34
8 ผลของระดับความเข้มข้นของ Tween 60 ต่อขนาดครึ่องปลีทเฉลี่ย ความคงตัวต่อการแยกชั้น และค่าความหนืดของกะทิ.....	40
9 สมบัติของส่วนใสที่ได้จากการเหวี่ยงแยกส่วนของเหลวในอาหารที่มีกะทิเป็น ส่วนผสมที่ผลิตจากกะทิที่ผ่านการ โซโนจีไนซ์โดยไม่เติมสเตบิไลเซอร์	61
10 สารละลายที่ใช้สำหรับเตรียมเจล SDS-PAGE	80
11 ส่วนผสมสำหรับต้มยำไก่น้ำข้น	84
12 ส่วนผสมสำหรับต้มข่าไก่	84
13 ส่วนผสมสำหรับแกงเผ็ดไก่	85
14 ส่วนผสมสำหรับแกงเขียวหวานไก่	86
15 ส่วนผสมสำหรับกล้วยบวชชี.....	87
16 ผลของสภาวะในการ โซโนจีไนซ์ต่อขนาดครึ่องปลีทเฉลี่ยของกะทิ	90
11 ผลของสภาวะในการ โซโนจีไนซ์ต่อความคงตัวของการแยกชั้นครีมของกะทิ	91
12 ผลของกระบวนการผลิตและปริมาณ Tween 60 ต่อความคงตัวของการ แยกชั้นครีมของกะทิที่ระยะเวลาการเก็บต่างๆ	92
13 ผลของกระบวนการผลิตและปริมาณ Tween 60 ต่อความคงตัวของการ แยกชั้นครีมของต้มยำไก่น้ำข้นที่ระยะเวลาการเก็บต่างๆ	93
14 ผลของกระบวนการผลิตและปริมาณ Tween 60 ต่อความคงตัวของการ แยกชั้นครีมของต้มข่าไก่ที่ระยะเวลาการเก็บต่างๆ	94
15 ผลของกระบวนการผลิตและปริมาณ Tween 60 ต่อความคงตัวของการ แยกชั้นครีมของแกงเผ็ดไก่ที่ระยะเวลาการเก็บต่างๆ	95

ตารางที่	หน้า
16 ผลของกระบวนการผลิตและปริมาณ Tween 60 ต่อความคงตัวของการแยกชั้นครีมของแกงเขียวหวาน ໄกที่ระยะเวลาการเก็บต่างๆ.....	96
17 ผลของกระบวนการผลิตและปริมาณ Tween 60 ต่อความคงตัวของการแยกชั้นครีมของกล้วยบวชชีที่ระยะเวลาการเก็บต่างๆ	97
18 ผลของกระบวนการแข่เร็วและปริมาณ Tween 60 ร้อยละ 0.25-1.00 และ CMC ร้อยละ 0.60 ต่อความคงตัวต่อการแยกชั้นน้ำมันและปริมาณการเกิดตะกอนหลังผ่านละลายด้วยไนโตรเจฟในผลิตภัณฑ์อาหารที่มีกะทิเป็นส่วนผสม	98
19 ค่าพีเอชและความหนืดในระบบอาหารสเตอร์ไลซ์ที่ผลิตจากกะทิที่มีปริมาณ Tween 60 ต่างกัน	99

สารบัญภาพ

ภาพที่	หน้า
1 ความไม่คงตัวทางกายภาพของอิมัลชัน	11
2 ขั้นตอนการแยกโปรตีนจากกะทิ	23
3 ขั้นตอนการศึกษาสภาวะในการไฮโนเจนท์ต่อสมบัติและความคงตัวทาง กายภาพของกะทิ	25
4 ลักษณะ SDS-PAGE ของโปรตีนกะทิ	32
5 เทอร์โมแกรมของโปรตีนกะทิ	34
6 ผลของสภาวะในการไฮโนเจนท์ต่อน้ำตาลน้ำตาลรีอปเลี้ยงและความคงตัว ต่อการแยกชั้นครีมของกะทิ	36
7 ผลของสภาวะในการไฮโนเจนท์ที่ความดัน 23/4 MPa จำนวน 1 รอบ ต่อการ กระจายตัวของอนุภาครีอปเลี้ยง	37
8 ภาพถ่ายจากกล้องจุลทรรศน์แสดงผลของสภาวะในการไฮโนเจนท์ที่ความดัน 11/4 MPa ในตัวอย่างควบคุม เดิม CMC และ Tween 60	38
9 ภาพถ่ายจากกล้องจุลทรรศน์ที่กำลังขยาย 100 เท่า และ 400 เท่า แสดงผลการ ไฮโนเจนท์กะทิร่วมกับ CMC และ Tween 60 ต่อลักษณะรีอปเลี้ยง	41
10 ผลของปริมาณ Tween 60 ต่อความคงตัวต่อการแยกชั้นครีมในกะทิที่ไม่ผ่าน การสเตอโริไลซ์และผ่านการสเตอโริไลซ์	43
11 ผลของปริมาณ Tween 60 ต่อลักษณะกะทิที่มี CMC ร้อยละ 0.60 หลังผ่านการ สเตอโริไลซ์ด้วยความร้อน	44
12 ผลของปริมาณ Tween 60 ต่อความคงตัวต่อการแยกชั้นครีมในกะทิที่มี CMC ร้อยละ 0.60 หลังผ่านการแช่แข็ง-ละลาย	44
13 ผลของปริมาณ Tween 60 ต่อลักษณะการแยกชั้นในกะทิที่มี CMC ร้อยละ 0.60 หลังผ่านการแช่แข็ง-ละลาย	45
14 ผลของปริมาณ Tween 60 ต่อความคงตัวต่อการแยกชั้นครีมในส่วนของเหลว ของต้มยำไก่น้ำข้นที่มี CMC ร้อยละ 0.60 ซึ่งไม่ผ่านการสเตอโริไลซ์และ ผ่านการสเตอโริไลซ์ด้วยความร้อน	46
15 ผลของปริมาณ Tween 60 ต่อความคงตัวต่อการแยกชั้นครีมในส่วนของเหลว ของต้มข่าไก่ที่มี CMC ร้อยละ 0.60 ซึ่งไม่ผ่านการสเตอโริไลซ์และผ่าน การสเตอโริไลซ์ด้วยความร้อน	47

ภาคที่		หน้า
16	ผลของปริมาณ Tween 60 ต่อลักษณะส่วนของเหลวของต้มยำไก่น้ำข้นและต้มข่าไก่ที่มี CMC ร้อยละ 0.60 หลังผ่านการสเตอโรไลซ์ด้วยความร้อน	48
17	ผลของปริมาณ Tween 60 ต่อความคงตัวต่อการแยกชั้นครีมและการตกตะกอนในส่วนของเหลวของต้มยำไก่น้ำข้นและต้มข่าไก่ที่มี CMC ร้อยละ 0.60 หลังผ่านการแช่แข็ง-ละลาย.....	49
18	ผลของปริมาณ Tween 60 ต่อลักษณะการแยกชั้นของส่วนของเหลวของต้มยำไก่น้ำข้นและต้มข่าไก่ที่มี CMC ร้อยละ 0.60 และผ่านการแช่แข็ง-ละลาย.....	50
19	ผลของปริมาณ Tween 60 ต่อความคงตัวต่อการแยกชั้นครีมในส่วนของเหลวของแกงเผ็ดไก่ที่มี CMC ร้อยละ 0.60 ซึ่งไม่ผ่านการสเตอโรไลซ์และผ่านการสเตอโรไลซ์ด้วยความร้อน.....	52
20	ผลของปริมาณ Tween 60 ต่อความคงตัวต่อการแยกชั้นครีมในส่วนของเหลวของแกงเขียวหวานไก่ที่มี CMC ร้อยละ 0.60 ซึ่งไม่ผ่านการสเตอโรไลซ์และผ่านการสเตอโรไลซ์ด้วยความร้อน	53
21	ผลของปริมาณ Tween 60 ต่อลักษณะส่วนของเหลวของแกงเผ็ดไก่และแกงเขียวหวานไก่ที่มี CMC ร้อยละ 0.60 หลังผ่านการสเตอโรไลซ์.....	54
22	ผลของปริมาณ Tween 60 ต่อความคงตัวต่อการแยกชั้นครีมและการตกตะกอนในส่วนของเหลวของแกงเผ็ดไก่และแกงเขียวหวานไก่ที่มี CMC ร้อยละ 0.60 หลังผ่านการแช่แข็ง-ละลาย.....	55
23	ผลของปริมาณ Tween 60 ต่อลักษณะการแยกชั้นของส่วนของเหลวของแกงเผ็ดไก่และแกงเขียวหวานไก่ที่มี CMC ร้อยละ 0.60 และผ่านการแช่แข็ง-ละลาย.....	56
24	ผลของปริมาณ Tween 60 ต่อความคงตัวต่อการแยกชั้นครีมในส่วนของเหลวของกล้วยบวชชีที่มี CMC ร้อยละ 0.60 ซึ่งไม่ผ่านการสเตอโรไลซ์และผ่านการสเตอโรไลซ์ด้วยความร้อน	57
25	ผลของปริมาณ Tween 60 ต่อลักษณะส่วนของเหลวของกล้วยบวชชีที่มี CMC ร้อยละ 0.60 หลังผ่านการสเตอโรไลซ์ด้วยความร้อน	58
26	ผลของปริมาณ Tween 60 ต่อความคงตัวในการแยกชั้นครีมในส่วนของเหลวของกล้วยบวชชีที่มี CMC ร้อยละ 0.60 หลังผ่านการแช่แข็ง-ละลาย.....	59
27	ผลของปริมาณ Tween 60 ต่อลักษณะการแยกชั้นในส่วนของเหลวของกล้วยบวชชีที่มี CMC ร้อยละ 0.60 หลังผ่านการแช่แข็ง-ละลาย	59

ภาพที่	หน้า
28 ตัวอย่างข้อมูลที่ได้จากการวิเคราะห์ขนาดครือปเลี้ยงด้วยเครื่องวัดการกระเจิง แสงเลเซอร์	75
29 ส่วนประกอบของเครื่องอิเล็กโทรไฟรีซิส และชั้นตอนการประกอบข้อ 1-5	78
30 ส่วนประกอบของเครื่องอิเล็กโทรไฟรีซิส และชั้นตอนการประกอบข้อ 6-9	79
31 ลักษณะของกะทิภายในหลังจากการให้ความร้อนด้วยไมโครเวฟ	88
32 ลักษณะของผลิตภัณฑ์ต้มข้าวไก่น้ำข้นและต้มข่าไก่ภายหลังจากการให้ความร้อน ด้วยไมโครเวฟ.....	88
33 ลักษณะของผลิตภัณฑ์แกงเผ็ดไก่และแกงเขียวหวานไก่ภายหลังจากการให้ ความร้อนด้วยไมโครเวฟ.....	88
34 ลักษณะของผลิตภัณฑ์กุ้วยบัวชีพภายหลังจากการให้ความร้อนด้วยไมโครเวฟ.....	88

บทที่ 1

บทนำ

1.1 ความเป็นมาและความสำคัญของปัญหา

ในปัจจุบันอาหารไทยได้รับความนิยมเป็นอย่างมากในประเทศต่าง ๆ ทั่วโลก เนื่องจากอาหารไทยมีคุณลักษณะเฉพาะตัวที่โดดเด่นทั้งในด้านลักษณะปราศจากกลิ่น และรสชาติ มีการใช้ส่วนผสมหลากหลายชนิด ที่มีคุณค่าทางโภชนาการและมีประโยชน์ต่อสุขภาพ รัฐบาลไทยจึงได้เล็งเห็นศักยภาพของอาหารไทยที่จะสามารถเติบโตและแข่งขันได้ในตลาดโลก และได้ให้การสนับสนุนอุตสาหกรรมอาหารไทยโดยผลักดันให้อาหารไทยเป็นหนึ่งในยุทธศาสตร์สำคัญของประเทศ ส่งผลให้อุตสาหกรรมอาหารไทยมีการพัฒนาและเติบโตอย่างต่อเนื่อง ทั้งนี้นิค ปริมาณ และมูลค่าของอาหารไทยส่งออกได้เพิ่มขึ้นเรื่อย ๆ

อาหารไทยหลายชนิดมีส่วนผสมของกะทิ ทั้งในอาหารหวานและอาหารหวาน ทำให้เกิดความต้องการกะทิในปริมาณสูง อุตสาหกรรมกะทิกลายเป็นหนึ่งในอุตสาหกรรมอาหารที่มีความสำคัญเชิงเศรษฐกิจของประเทศไทย โดยมีการแปรรูปกะทิเป็นผลิตภัณฑ์หลายชนิด ได้แก่ กะทิ พาสเจอไรซ์ กะทิกระป่องสเตอริไลซ์ กะทิกล่องยูเอช กะทิผง รวมทั้งผลิตภัณฑ์อาหารแปรรูปที่มีกะทิเป็นส่วนผสมหลัก เช่น แกงเขียวหวาน แกงกะหรี่ แกงมัสมั่น พะแนง ต้มยำไก่ ต้มยำน้ำข้น กล้วยบวชชี บัวลอย รวมมิตร ซึ่งอาจผ่านการแช่เย็น การแช่แข็ง การสเตอริไลซ์ในกระป่องหรือในรีทอร์ทเพواร์ เป็นต้น กะทิที่ใช้ในอาหารเหล่านี้ทำหน้าที่ให้กลิ่น รสชาติ เนื้อสัมผัส และลักษณะปราศจากกลิ่น หรือการแตกมัน ในทางตรงกันข้าม อาหารบางอย่างอาจต้องการความคงตัวของกะทิ คือไม่เกิดการแยกชั้น หรือการแตกมัน ในการเก็บรักษาอาหาร จึงจำเป็นต้องควบคุมความคงตัวและการแตกมันของกะทิให้เหมาะสม ไม่ได้ตลอดช่วงเวลาของการเก็บรักษา จะต้องสามารถรักษาความคงตัวหรือระดับการแตกมันของกะทิที่เหมาะสม ไว้ได้ตลอดช่วงเวลาของการเก็บรักษา

ปัญหาการแยกชั้นครีม (creaming) และการแตกมัน (oiling off) ของกะทิในผลิตภัณฑ์แปรรูป ยังจัดว่าเป็นการเปลี่ยนแปลงทางกายภาพของกะทิ ซึ่งเป็นระบบอิมัลชันตามธรรมชาติ แบบน้ำมันในน้ำ (oil-in-water emulsion) โดยประกอบด้วยส่วนที่เป็นเฟสหรือวัฎภาคของน้ำ

(aqueous phase) และเฟสทรีอวัฏภาคของน้ำมันมะพร้าว (oil phase) ซึ่งไม่ละลายซึ่งกันและกัน โดยเฟสของน้ำมันมะพร้าวจะกระจายตัว (dispersed phase) เป็นเม็ดเล็ก ๆ เรียกว่า ครอปเล็ท (droplet) อยู่ในเฟสของน้ำที่เป็นเฟสต่อเนื่อง (continuous phase) (Tangsuphoom and Coupland, 2008) ในขณะที่จะมีโปรตีนเป็นองค์ประกอบโดยทำหน้าที่เป็นอิมัลซิฟายเออร์ตามธรรมชาติ (Birosel, Gonzales and Santos, 1963) ช่วยให้กีฬาความคงตัวอยู่ได้ระยะหนึ่ง โดยไม่แยกชั้นหรือแตกมัน อย่างไรก็ตามจะทิจสูญเสียความคงตัวได้ง่ายเมื่อนำไปประกอบหรือผลิตอาหาร โดยเฉพาะ อย่างยิ่งเมื่อผ่านกระบวนการให้ความร้อนซึ่งทำให้โปรตีนจะเกิดการเปลี่ยนสภาพ (denaturation) จะทิจที่ได้รับความร้อนจะเริ่มน้ำมันจะเริ่มสูญเสียความคงตัว โดยครอปเล็ทที่เป็นเม็ดน้ำมันจะลอยตัวขึ้นสู่ด้านบน รวมตัวหนาแน่นเป็นชั้นครีมชั้นเรียกว่าการแยกชั้นครีม (creaming) จากนั้น เมื่อครอปเล็ทในชั้นครีมรวมตัวกันอย่างสมบูรณ์ เป็นเนื้อเดียวกัน จะเห็นเป็นชั้นน้ำมันใสลอยตัวอยู่ที่ผิวน้ำเรียกว่า การแตกมัน (oiling off) การแยกชั้นครีมและการแตกมันมีความเกี่ยวข้องสัมพันธ์ต่อเนื่องกัน ถ้าเกิดการแยกชั้นครีมอย่างมาก ก็มักนำไปสู่การแตกมันในที่สุด (Dickinson and Stainsby, 1982; Dickinson, 1992; Walstra, 1996; McClements, 2005)

โดยทั่วไปแล้วความคงตัวของระบบอิมัลชันที่มีโปรตีนเป็นอิมัลซิฟายเออร์จะขึ้นอยู่กับปัจจัยหลายประการ ได้แก่ คุณสมบัติของโปรตีน พีอีช อุณหภูมิและระยะเวลาในการให้ความร้อน การแข็งเย็น การแข็งแข็งและการละลาย กระบวนการการทำให้เป็นเนื้อเดียวกันหรือไฮโนเจนเชชัน ชนิดและความเข้มข้นขององค์ประกอบอื่น ๆ ที่มีอยู่ในอิมัลชัน เช่นสารไฮโดรคอโลอยด์ เกลือ น้ำตาล และsurfactant แม้ว่าจะมีงานวิจัยที่เกี่ยวข้องกับการแก้ปัญหาความไม่คงตัวของกะทิมาบ้างแล้ว แต่ก็ยังมีอยู่น้อยและยังไม่ครอบคลุม โดยส่วนใหญ่เมื่อนำไปที่การลดการแยกชั้นครีมในกะทิที่ผ่านกระบวนการพาสเจอร์ไซด์และสเตอโรไลเซชัน ปัจจุบันจึงยังขาดข้อมูลพื้นฐานอีกหลายแห่งอยู่ที่จะช่วยให้เกิดความรู้ความเข้าใจเกี่ยวกับความคงตัวของกะทิอย่างแท้จริง

1.2 วัตถุประสงค์ของการศึกษา

เพื่อศึกษาถึงปัจจัยที่มีผลต่อความคงตัวทางกายภาพของกะทิและอาหารที่มีกะทิเป็นส่วนผสม ได้แก่ องค์ประกอบและคุณสมบัติในการทนความร้อนของโปรตีนในกะทิ อิทธิพลของจำนวนรอบในการไฮโนเจนเชชันกะทิ ผลของปริมาณสารอิมัลซิฟายเออร์ในระบบอาหาร สเตอโรไลเซอร์ที่มีกะทิเป็นส่วนผสมแบบพีอีช แบบพีอีชสูง และแบบความเข้มข้นน้ำตาลสูง รวมทั้งผลของการแข็งแข็ง-ละลาย ต่อความคงตัวทางกายภาพของอาหารที่มีกะทิเป็นส่วนผสม

เพื่อให้ได้มาซึ่งองค์ความรู้ที่จะนำไปใช้ควบคุมการแยกชั้นครีมและการแตกมันของกะทิเปรี้ยป และกะทิในผลิตภัณฑ์อาหารต่าง ๆ ต่อไป

1.3 ขอบเขตของการศึกษา

1.3.1 การศึกษาองค์ประกอบในโปรตีนกะทิในส่วนหัวกะทิ (adsorbed proteins) และหางกะทิ (non- adsorbed proteins) ด้วยวิธีเจลอะลีก์โกร์ไฟฟ์ซิส (gel electrophoresis) และคุณสมบัติของโปรตีนในกะทิด้านการเปลี่ยนแปลงเชิงความร้อน โดยใช้ดิฟเฟอเรนเชียลสแกนนิ่งแคลอริเมเตอร์ (differential scanning calorimeter: DSC) เพื่อตรวจสอบการเกิด thermal denaturation และความคงตัวต่อความร้อนของโปรตีนกะทิ

1.3.2 การศึกษาผลของการกระบวนการโซโนมีไนเซ็นชันนิดความดันสูงแบบความดัน 2 ขั้น ที่ระดับความดันขั้นที่ 1/ขั้นที่ 2 (stage 1/stage 2) แตกต่างกัน 3 ระดับ คือ 11/4 17/4 และ 23/4 MPa และจำนวนรอบในการผ่าเครื่องโซโนมีไนซ์ 1-3 รอบ ร่วมกับสารสเตเบิลไซร์ ได้แก่ คาร์บอชีเมทิลเซลลูโลส (carboxy methylcellulose, CMC) ที่ความเข้มข้นร้อยละ 0.6 โดยนำหนักหรือ Tween 60 ที่ความเข้มข้นร้อยละ 0.5 โดยนำหนัก เปรียบเทียบกับตัวอย่างควบคุมที่ไม่เติมสารสเตเบิลไซร์ต่อกุณสมบัติและความคงตัวทางกายภาพของกะทิ

1.3.3 การศึกษาผลของปริมาณสารอิมล็อกฟายเออร์ คือ Tween 60 ที่ระดับความเข้มข้นร้อยละ 0 - 1.0 โดยนำหนัก ร่วมกับสารบูติคิลเซลลูโลส (ความเข้มข้นร้อยละ 0.6 โดยนำหนัก) ต่อกุณสมบัติและความคงตัวต่อการแยกชั้นครีมและการแตกมันของกะทิ ในระบบอาหารที่ผ่านการให้ความร้อนระดับสเตอโรไลซ์และอาหารแข็งแข็งที่มีกะทิ 3 แบบ คือ แบบพีอีชาร์ต้า ได้แก่ ต้มยำไก่น้ำข้นและต้มยำไก่ แบบพีอีชูงุ ได้แก่ แกงเผ็ดไก่และแกงเขียวหวานไก่ และแบบความเข้มข้นน้ำตาลสูง ได้แก่ กล้วยบวชชี

1.4 ประโยชน์ที่คาดว่าจะได้รับ

1.4.1 สร้างองค์ความรู้ใหม่เกี่ยวกับองค์ประกอบและคุณสมบัติของโปรตีนในกะทิ อิทธิพลของการเปรี้ยปและองค์ประกอบทางเคมีในอาหารต่อความคงตัวทางกายภาพของอาหารที่มีกะทิผสม

1.4.2 ผู้ผลิตในอุตสาหกรรมอาหารไทยสามารถนำองค์ความรู้ที่ได้ไปใช้แก้ปัญหาหรือปรับปรุงคุณภาพของผลิตภัณฑ์ได้

บทที่ 2

เอกสารและงานวิจัยที่เกี่ยวข้อง

2.1 คำจำกัดความ

ในปี ค.ศ. 1994 The standard Task Force of the Asian Pacific Coconut Community (APCC) ได้เสนอให้ใช้คำจำกัดความสำหรับผลิตภัณฑ์จากมะพร้าวเพื่อความเข้าใจที่ตรงกัน โดยกำหนดให้คำว่า “น้ำมะพร้าว” (coconut water) หมายถึงของเหลวตามธรรมชาติที่มีอยู่ในมะพร้าว (*Cocos nucifera L.*) ในส่วนเนื้อโอดีสเปร์ม (endosperm) ส่วนคำว่า “กะทิ” (coconut milk) หรือ “หัวกะทิ” (coconut cream) หมายถึงผลิตภัณฑ์ของเหลวปราศจากเส้นใยที่ได้จากการสกัดหรือคั้นเนื้อมะพร้าวโดยอาจมีน้ำมะพร้าวผสมอยู่ด้วยก็ได้ Malaysia Food Regulations (Anon, 1988) ได้ให้คำจำกัดความว่า “กะทิ” จะต้องมีไขมันไม่ต่ำกว่าร้อยละ 3 โปรตีนไม่ต่ำกว่าร้อยละ 3 และมีน้ำไม่เกินร้อยละ 55 ส่วน “หัวกะทิ” เป็นส่วนที่ได้จากการแยกนมลักษณะที่โดยการตั้งทึ้งไว้หรือเหวี่ยงแยก ซึ่งจะประกอบด้วยไขมันไม่ต่ำกว่าร้อยละ 50 โปรตีนไม่ต่ำกว่าร้อยละ 5 ส่วน Seow และ Gwee (1997) ให้คำจำกัดความว่า “กะทิ” เป็นนมลักษณะทึบแสงสีขาวระหว่างโปรตีน-น้ำ-ไขมันที่บีบหรือคั้นจากเนื้อมะพร้าวชุด โดยอาจมีการเติมน้ำหรือไม่ก็ได้ ซึ่งในงานวิจัยนี้จะใช้คำว่ากะทิในความหมายเดียวกันกับ Seow และ Gwee (1997)

2.2 คุณลักษณะของกะทิ

กะทิ (coconut milk) เป็นผลิตผลที่สำคัญจากมะพร้าวที่ได้จากการบีบหรือคั้นเนื้อมะพร้าวชุด โดยอาจมีการเติมน้ำหรือไม่ก็ได้ กะทิมีลักษณะเป็นของเหลวสีขาวขุ่นคล้ายนม มีกลิ่นรสเฉพาะตัวของมะพร้าว (nutty flavor) (เทพกัญญา, 2545) สัดส่วนขององค์ประกอบในกะทิขึ้นอยู่กับปัจจัยหลายประการ เช่น สายพันธุ์ อายุ สภาพแวดล้อมในการเจริญเติบโต กระบวนการเตรียม และวิธีการแยกกะทิ (Cancel, 1979; Gonzalez, 1990) องค์ประกอบของกะทิที่ได้จากการบีบเนื้อมะพร้าวชุดโดยไม่เติมน้ำประกอบด้วยความชื้นร้อยละ 50.0 – 54.0 ไขมันร้อยละ 32.0-40.0 โปรตีนร้อยละ 2.8 – 4.4 เด็กวัยร้อยละ 1.0-1.5 และคาร์โบไฮเดรตร้อยละ 5.5-8.3 (Nathaneal, 1954; Popper, Notter และ Nurry, 1966; Jeganathan, 1970; Anon, 1984) (ตารางที่ 1) ส่วนปริมาณไขมัน

ในผลิตภัณฑ์กะทิจากประเทศไทยจะอยู่ในช่วงร้อยละ 15-30 (Simuang และคณะ, 2004) Buccat, Gonzalez และ Manalac (1973) รายงานค่า pH ของน้ำกะทิอยู่ระหว่าง 5.8-6.39 โดยวัดที่ช่วงอุณหภูมิ 10-80°C จึงถือว่ากะทิเป็นอาหารที่มีความเป็นกรดต่ำ (low-acid food)

ตารางที่ 1 องค์ประกอบโดยประมาณ (ร้อยละ) ของกะทิที่ได้จากการบีบเนื้อมะพร้าวโดยไม่เติมน้ำ

องค์ประกอบ	Nathaneal (1954)	Popper และคณะ (1966)	Jeganathan (1970)	Anon (1984)
ความชื้น	50.0	54.1	50.0	53.9
ไขมัน	39.8	32.2	40.0	34.7
โปรตีน ($N \times 6.25$)	2.8	4.4	3.0	3.6 ^a
เกล้า	1.2	1	1.5	1.2
คาร์โบไฮเดรต ^b	6.2	8.3	5.5	6.6

^a $N \times 5.3$

^b ได้จากการคำนวณ คาร์โบไฮเดรต = 100 - (ความชื้น + ไขมัน + โปรตีน + เกล้า)

ที่มา: ดัดแปลงจาก Onsaard (2008)

กะทิโดยทั่วไปจะเป็นอิมัลชันแบบน้ำมันในน้ำ (oil-in-water emulsions: O/W emulsions) ซึ่งมีครีอปเลิฟของน้ำมันมะพร้าวกระจายตัวอยู่ในน้ำที่เป็นวัตถุภาคต่อเนื่อง ในกะทิจะมีโปรตีนเป็นองค์ประกอบอยู่ โดยทำหน้าที่เป็นอิมัลซิไฟเออร์ตามธรรมชาติธรรมชาติ ได้แก่ โกลบูลิน (globulins) และอัลบูมิน (albumins) (Birosel, Gonzales และ Santos, 1963; Kwon, Park และ Rhee, 1996) รวมทั้งฟอสฟอลิปิด (phospholipids) ได้แก่ เลซิทิน (lecithin) และเซฟาลิน (cephalin) (Birosel, Gonzales และ Santos, 1963; Luis, 1969) ช่วยให้กะทิคงตัวอยู่ได้ระยะเวลาหนึ่ง แต่อย่างไรก็ตามอิมัลชันกะทิจะแยกตัวเป็น 2 ส่วน คือ ส่วนล่างเป็นชั้นน้ำ (coconut skim milk) และส่วนบนเป็นชั้นครีม (coconut cream) (Cancel, 1979; Gonzalez, 1990) เนื่องจากความเข้มข้นของโปรตีนที่ผิวน้ำมีไขมันและน้ำมีไม่นักพอที่จะทำให้เกิดความคงตัว (Monera และ del Rosario, 1982) โดยกะทิจะเริ่มเกิดการแยกชั้นเมื่อตั้งทิ้งไว้ 5-10 ชั่วโมง จนกระทั่งแยกสมบูรณ์ในเวลา 24 ชั่วโมง (Escueta, 1980; Tangsuphoom และ Coupland, 2005)

2.3 วิธีการแยกและสมบูดของโปรตีนกะทิ

โปรตีนกะทิเป็นผลิตผลพolloยได้จากอุตสาหกรรมการผลิตน้ำมันมะพร้าว ซึ่งสามารถสกัดได้จากส่วนเหลือของเนื้อมะพร้าวแห้ง (copra) อย่างไรก็ตามการใช้อุณหภูมิสูงในการสกัดน้ำมันมะพร้าวจะทำให้ได้น้ำมันและโปรตีนที่มีคุณภาพต่ำ (Gunetileke และ Laurentius, 1974) ต่อมาจึงได้มีการปรับปรุงกระบวนการสกัดน้ำมันมะพร้าวและโปรตีนได้จากการกระบวนการที่เรียกว่า “wet processing” ซึ่งทำการสกัดน้ำมันและโปรตีนได้จากเนื้อมะพร้าวสด น้ำมันและโปรตีนจะถูกแยกออกจากพืช ฯ กันจากกะทิโดยการทำให้อิมัลชันแตกออก การแยกโปรตีนกะทิสามารถแยกได้จาก 2 ส่วนใหญ่ ๆ คือ ส่วนครีม (coconut cream) และส่วนหางกะทิ (coconut skim milk)

การแยกโปรตีนจากส่วนครีมกะทิทำได้โดยการทำให้อิมัลชันแตกออกและแยกน้ำมันมะพร้าวออกมาน้ำมันสามารถทำได้หลายวิธี เช่น การใช้ความร้อน การใช้อ่อนไชม์ การแช่แข็ง-ละลายและการหีบห่ยแยก เป็นต้น Grimwood (1975) ทดลองแยกน้ำมันออกจากกะทิด้วยการให้ความร้อน พบร่วมกันว่า สามารถแยกน้ำมันมะพร้าวออกมาน้ำมันได้ แต่วิธีนี้ทำให้โปรตีนเสียคุณภาพและทำให้สีของน้ำมันเปลี่ยนแปลงไป Gunetileke และ Laurentius (1974) นำกะทิมาหมุนหีบห่ยที่ 2,000 xg และลดอุณหภูมิกะทิลงเป็นค่าต่างๆ ต่ำกว่า 25°C เป็นเวลา 4 ชั่วโมง จากนั้นปรับอุณหภูมิกลับมาที่ 25°C และหมุนหีบห่ยที่ 2,000 xg พบร่วมกันว่าต้องลดอุณหภูมิกะทิลงให้ต่ำกว่า 17°C จึงจะสามารถแยกน้ำมันและจะได้ปริมาณน้ำมันมะพร้าวเพิ่มขึ้นเมื่อลดอุณหภูมิให้ต่ำลง McGlone และคณะ (1986) สกัดน้ำมันมะพร้าวโดยผสมเอนไซม์ α -amylase, polygalacturonase และ protease ลงในเนื้อมะพร้าวสับละเอียดต่อน้ำในอัตราส่วน 1:4 ทิ้งไว้ 30 นาที ที่อุณหภูมิ 4°C ก่อนนำไปหีบห่ยแยกที่ 12,300 xg พบร่วมกันว่าสามารถแยกน้ำมันออกจากกะทิที่แยกได้จากเครื่องแยกครีม พบร่วมกันว่าอุณหภูมิที่เหมาะสมต่อการรวมตัวของไขมันในหัวกะทิคือต่ำกว่า 15°C และอุณหภูมิที่เหมาะสมต่อการทำลายอิมัลชันต้องมากกว่า 40°C แต่อุณหภูมิที่เหมาะสมที่สุดในการการทำลายอิมัลชันคือที่ 80°C เพราะให้ผลผลิตน้ำมันมะพร้าวสูงและได้น้ำมันที่มีลักษณะใส Onsaard และคณะ (2006) ทำการแยกโปรตีนกะทิจากส่วนครีม 2 วิธีคือ 1) การแช่แข็ง-ละลาย โดยนำส่วนครีมกะทิที่ได้จากการหีบห่ยแยกมาแช่แข็งที่อุณหภูมิ -20°C อย่างน้อย 12 ชั่วโมง และนำมาระละลายจนมีอุณหภูมิ 40°C และหีบห่ยแยกที่ 5,500 xg เป็นเวลา 30 นาที ดึงเอาส่วนน้ำมันที่เหลือออกด้วยเชกเซน และนำไปทำแห้งแบบแช่เยือกแข็ง (freeze drying) จะได้โปรตีนมะพร้าวที่ดูดซับรอบผิวครึ่งปีลีทจากวิธีการแช่แข็ง-ละลาย (CCPF) 2) การตกตะกอน ณ จุดไอโซอิเล็กทริก โดยนำกะทิมาปรับให้มี pH 3.9 ตั้งทิ้งไว้อย่างน้อย 8 ชั่วโมง ที่อุณหภูมิ 4°C จะได้กะทิที่แยกชั้นเป็นสองส่วน คือ ส่วนล่างเป็นชั้นน้ำ และส่วนบนเป็นชั้นครีม

แยกส่วนครีมมาอุ่นจนมีอุณหภูมิ 40°C และheviegแยกที่ $5,500 \text{ xg}$ เป็นเวลา 30 นาที ดึงเอาส่วนน้ำมันที่เหลือออกด้วยเศกเซน แล้วนำไปทำแท่งแบบแซร์-เยอแกง จึงได้โปรตีนมะพร้าวที่คุณซับรองพิวรร์อปเล็ท (coconut cream protein isolate: CCPI)

การแยกโปรตีนจากส่วนหางกะทิสามารถทำได้หลายวิธี เช่น การตกตะกอนโดยใช้ความร้อน การตกตะกอน ณ จุดไอโซอิเล็กทริก การตกตะกอนด้วยเกลือ และวิธีอุลตราฟิลเทอร์ชัน (ultrafiltration) เป็นต้น Buccat, Gonzalez และ Manalac (1973) ศึกษาวิธีแยกโปรตีนจากส่วนหางกะทิ 4 วิธีคือ การตกตะกอนโดยใช้ความร้อน การตกตะกอน ณ จุดไอโซอิเล็กทริก (isoelectric point) วิธีร่วมระหว่างการตกตะกอนโดยใช้ความร้อนกับการตกตะกอน ณ จุดไอโซอิเล็กทริก และวิธีร่วม 2 วิธีข้างต้นกับการตกตะกอนด้วยเกลือแคลเซียม พบว่าปริมาณโปรตีนที่ได้จากการตกตะกอนโดยใช้ความร้อนมากกว่าการตกตะกอน ณ จุดไอโซอิเล็กทริก แต่วิธีการร่วมจะให้ร้อยละการได้ถังสูงสุด Capulso, Gonzales และ Celestino (1981) ทำการแยกโปรตีนจากส่วนหางกะทิโดยการตกตะกอน ณ จุดไอโซอิเล็กทริกที่ pH 4 จะได้ผลิตผลโปรตีนร้อยละ 60 ส่วนการตกตะกอนโดยใช้ความร้อนที่ 90°C เป็นเวลา 30 นาที ได้ผลิตผลโปรตีนร้อยละ 69.07 Kwon, Park, และ Rhee (1996) ทำการแยกโปรตีนจากส่วนหางกะทิด้วยวิธีอุลตราฟิลเทอร์ชัน โดยใช้เมมเบรนที่มีขนาดโมเลกุลที่ยอมให้ผ่านได้ (molecular weight cut off: MWCO) 5,000 ดาตั้น ได้โปรตีนที่มีองค์ประกอบความชื้นร้อยละ 5 โปรตีนร้อยละ 51.8 ไขมันร้อยละ 5.2 เต้าร้อยละ 4.3 และคาร์โบไฮเดรตร้อยละ 36.7 Sringeram (1997) แยกโปรตีนจากส่วนหางกะทิด้วยวิธีอุลตราฟิลเทอร์ชัน (MWCO 5,000 ดาตั้น) ได้โปรตีนกะทิที่มีองค์ประกอบความชื้นร้อยละ 5.0 โปรตีนร้อยละ 52.1 และไขมันร้อยละ 13.7 ส่วน Onsaard (2005) แยกโปรตีนจากส่วนหางกะทิโดยในหางกะทิด้วยวิธีอุลตราฟิลเทอร์ชัน (MWCO 10,000 ดาตั้น) และสกัดน้ำมันส่วนเหลือด้วยเศกเซน ได้โปรตีนที่ละลายในหางกะทิ (coconut skim milk protein concentrate: CSPC) ที่มีองค์ประกอบความชื้นร้อยละ 6.5 โปรตีนร้อยละ 48.77 และไขมันร้อยละ 0.84 เต้าร้อยละ 9.45 และคาร์โบไฮเดรตร้อยละ 39.14 นอกจากนี้ยังสามารถแยกโปรตีนจากกะทิได้อีก 2 ส่วนคือ โปรตีนที่ไม่ละลายในกะทิ (insoluble protein: IP) ซึ่งแยกมาจากกระบวนการเรหีบแยกกะทิ และโปรตีนที่ไม่ละลายในหางกะทิ (insoluble skim milk protein: ISP) ซึ่งได้จากส่วนตะกอนที่เกิดขึ้นภายหลังจากการตั้งหางกะทิทึ่งไว้ (Onsaard, 2008) องค์ประกอบของโปรตีนกะทิที่แยกได้จากกะทิแสดงดังตารางที่ 2

ตารางที่ 2 องค์ประกอบโดยประมาณ (ร้อยละ) ของโปรตีนกะทิที่แยกได้จากกะทิ^a

องค์ประกอบ	CCPI	CCPF	CSPI	CSPC	ISP	IP
ความชื้น ^b	3.58±0.02	3.37±0.16	2.69±0.02	6.50±0.30	3.60±3.61	3.56±0.09
โปรตีน ^c	92.24±0.23	77.90±0.97	61.25±0.60	48.77±0.10	67.15±1.19	86.83±0.67
ไขมัน	1.97±0.07	2.54±0.24	29.29±0.50	0.84±0.08	25.30±0.95	3.00±0.00
เยื่า	4.10±0.04	4.24±0.10	5.40±0.02	9.45±0.02	1.88±3.21	3.84±0.14
คาร์บอไอกอเรต ^d	1.76±0.15	15.18±0.67	4.01±1.00	39.14±0.60	1.73±0.55	2.76±1.08

^aค่าจากการวิเคราะห์ 3 ชั้น

CCPI โปรตีนกะทิจากส่วนครึ่ง แยกได้จากวิธีการตกรดตะกอน ณ จุดไอโซอิเล็กทริก

CCPF โปรตีนกะทิจากส่วนครึ่ง แยกได้จากการแยกชั้น-ละลาย

CSPI โปรตีนกะทิจากส่วนทางกะทิ แยกได้จากการตกรดตะกอน ณ จุดไอโซอิเล็กทริก

CSPC โปรตีนกะทิจากส่วนทางกะทิ แยกได้จากการตกรดตะกอน

ISP โปรตีนกะทิจากส่วนทางกะทิ แยกได้จากการตั้งส่วนทางกะทิทึ่งๆ

IP โปรตีนกะทิจากส่วนที่ไม่ละลายในกะทิ แยกได้จากการเหลวเยื่องแยก

^bร้อยละ โดยน้ำหนักปีก

^c N×5.3

^dได้จากการคำนวณ คาร์บอไอกอเรต = 100 – (ความชื้น+ไขมัน+โปรตีน+เยื่า)

ที่มา: ดัดแปลงจาก Onsaard และคณะ (2005, 2006) และ Onsaard (2008)

Onsaard (2008) ได้ทำการศึกษานิodic และสัดส่วนของโปรตีนที่เป็นองค์ประกอบในโปรตีนกะทิ (CCPI, CCPF, CSPI, CSPC, ISP และ IP) ตามคุณสมบัติการละลายของโปรตีนแต่ละชนิด ได้แก่ อัลบูมิน (albumin) โกลบูลิน (globulin) โปรลามิน (prolamin) กลูเตลิน-1 (glutelin-1) และกลูเตลิน-2 (glutelin-2) ตามวิธีของ Kwon, Park, และ Rhee (1996) โดยใช้น้ำกลั่น, 0.5 M NaCl, สารละลาย 2-propanal (IPA) ความเข้มข้นร้อยละ 70, สารละลายกรดอะซิติกความเข้มข้นร้อยละ 50 และ 0.1 M NaOH ตามลำดับ พบร่วมกันนิodic และสัดส่วนของโปรตีนที่เป็นองค์ประกอบหลักใน CCPI ประกอบด้วยกลูเตลิน-1 ร้อยละ 68.9 และอัลบูมินร้อยละ 10.7 CCPF ประกอบด้วยกลูเตลิน-1 ร้อยละ 74.8 และอัลบูมินร้อยละ 8.4 CSPI ประกอบด้วยอัลบูมินร้อยละ 94.7 และโกลบูลินร้อยละ 2.1 CSPC ประกอบด้วยอัลบูมินร้อยละ 54.3 และโกลบูลินร้อยละ 42.2 ISP ประกอบด้วยกลูเตลิน-1 ร้อยละ 75.4 และโกลบูลินร้อยละ 12.1 และ IP ประกอบด้วยกลูเตลิน-1

ร้อยละ 63.0 และ โกลบูลินร้อยละ 28.3 ซึ่งชนิดและสัดส่วนของโปรตีนที่เป็นองค์ประกอบดังกล่าวอยู่ในรูปต่อไปนี้

สมบัติในการเป็นอิมัลซิไฟเออร์ (emulsifier) ของโปรตีนจะทำให้รับอิทธิพลจากค่า pH, ionic strength และอุณหภูมิ (Gonzalez และ Tanchuco, 1977; Kwon และ Rhee, 1996; Onsma และคณะ, 2005, 2006) โดยทั่วไปอิทธิพลของค่า pH ต่อการละลายของโปรตีนมีลักษณะคล้ายกันในโปรตีนทุกชนิด คือ การละลายจะมีลักษณะเป็นโค้งรูปตัวยู โดยพบว่าการละลายนำของโปรตีนจะดำเนินต่อไปได้ยากที่สุดที่ pH 4-5 ซึ่งคือจุดไอโซอะเล็กทริกของโปรตีนจะทำให้ความแข็งแน่นขึ้นของเกลือสูงขึ้น อิมัลชันจะมีความคงตัวลดลง และเมื่อมีการให้ความร้อนกับอิมัลชันจะทำให้ผ่านไม่ผ่านการโซโนมิจไนเชชันที่อุณหภูมิ 70°C ขนาดอนุภาคเฉลี่ยของน้ำมันเริ่มนิ่งนาดใหญ่เพิ่มขึ้น และพบว่าโปรตีนจะเริ่มจะเสียสภาพและแตกตะกอนที่อุณหภูมิประมาณ 80°C (Gonzalez, 1990; Kwon, Park, และ Rhee, 1996; Onsma, 2008) นอกจากนี้ Onsma (2008) ทำการศึกษาองค์ประกอบของโปรตีนจะทำให้แยกจากส่วนครีมและส่วนหางจะทำให้ร่วมกับเจลอะเล็ก trophoresis โดยใช้โซเดียมโดเดคายัลฟอสฟอติคไรต์ไมด์เจล (sodium dodecylsulfate polyacrylamide gel electrophoresis: SDS-PAGE) รายงานว่าโปรตีนจะมีขนาดไม่เกิน 10-144 กิโลดาตตัน (kDa) ซึ่งโดยส่วนใหญ่ขนาดไม่เกิน 22-52 kDa และยังพบว่าองค์ประกอบบางส่วนของโปรตีนจะมีการจับยึดกันด้วยพันธะไดซัลไฟด์ (disulfide bonds)

2.4 อิมัลชัน

อิมัลชัน (emulsion) ประกอบด้วยของเหลวชนิดหนึ่งซึ่งกระจายตัว (disperse) อยู่ในของเหลวอีกชนิดหนึ่ง โดยของเหลวที่สองชนิดนี้เป็นของเหลวที่ไม่ละลายซึ่งกันและกัน (immiscible liquids) ระบบอิมัลชันโดยทั่วไปจะประกอบด้วยของเหลวที่กระจายตัวเป็นเม็ดทรงกลมเล็กๆ เรียกว่า ครอปเล็ท (droplets) ซึ่งเป็นวัสดุภาคระยะตัว (dispersed phase) แทรกอยู่ในของเหลวอีกชนิดหนึ่งที่เป็นวัสดุภาคร่อง (continuous phase หรือ continuous medium) ซึ่งระบบอิมัลชันในอาหารจะมีขนาดของครอปเล็ทประมาณ 0.1 – 100 μm (Dickinson และ Stainsby, 1982; Dickinson, 1992; Walstra, 1996 และ McClements, 2005)

อิมัลชันส่วนใหญ่จะเกี่ยวข้องกับน้ำและน้ำมัน ชนิดของอิมัลชันแบ่งตามชนิดของของเหลวที่เป็นวัสดุภาคระยะตัวและวัสดุภาคร่อง ได้แก่ 2 ชนิด เมื่อน้ำเป็นวัสดุภาคร่องและน้ำมันเป็นวัสดุภาคระยะตัว เรียกว่าอิมัลชันแบบน้ำมันในน้ำ (oil-in-water emulsions: O/W

emulsions) ตัวอย่างเช่น นายองเนส นม ชูป และกะทิ ในทางกลับกันเมื่อน้ำมันเป็นวัตถุภาคต่อเนื่องและน้ำเป็นวัตถุภาคกระจายตัว เรียกว่าอิมลชันแบบน้ำในน้ำมัน (water-in-oil emulsions: W/O emulsions) ตัวอย่างเช่น เนยหรือมาการีน

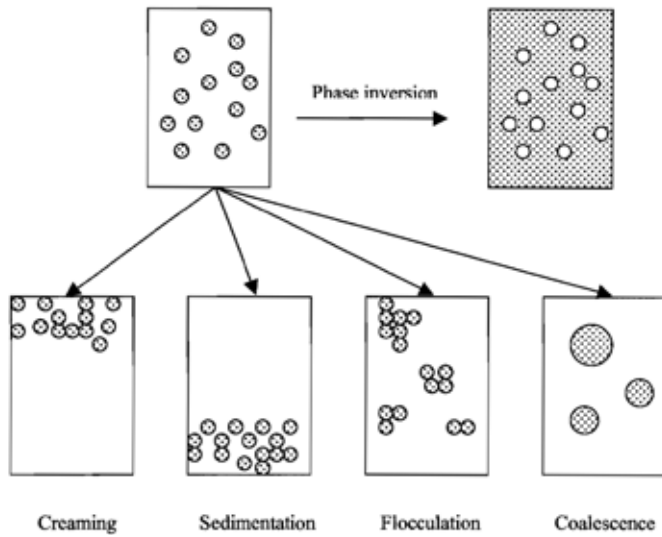
การเตรียมอิมลชันเป็นการทำให้ของเหลวต่างชนิดกันซึ่งไม่ละลายซึ่งกันและกัน เกิดการกระจายตัวผสมกันโดยวัตถุภาคกระจายตัวจะแตกออกเป็นเม็ดเล็กๆ ที่เรียกว่าครีอปเลิฟ์ ซึ่งแทรกอยู่ในวัตถุภาคต่อเนื่อง การเตรียมอิมลชันสามารถทำได้ด้วยเครื่องไฮโนเจนิไซซ์ (homogenizer) นอกจากการใช้ไฮโนเจนิไซซ์ช่วยทำให้อิมลชันคงตัวได้เป็นเวลานานจำเป็นต้องมีการเติมสารอิมลซิฟายเออร์ เพื่อช่วยลดแรงตึงผิวระหว่างของเหลว 2 ชนิด ทำให้ของเหลวนิดหนึ่งกระจายตัวอยู่ในของเหลวนิดหนึ่ง โดยไม่เกิดการแยกชั้น (Das และ Kinsella, 1990) ขั้นตอนการเตรียมอิมลชันอาจประกอบด้วยหลายขั้นตอนขึ้นอยู่กับชนิดหรือลักษณะของวัตถุคุณภาพตั้งต้น เริ่มจากการละลายส่วนผสมต่างๆ ในเฟสหรือวัตถุภาคที่ส่วนผสมนั้นา สามารถละลายได้ เช่น ส่วนผสมที่ละลายได้ในน้ำมัน ได้แก่ วิตามิน (A, D, E และ K) สี สารป้องกันการเกิดออกซิเดชัน (antioxidant) อิมลซิฟายเออร์ที่ละลายในน้ำมัน เป็นต้น ส่วนผสมที่ละลายได้ในน้ำ ได้แก่ โปรตีน พอลิแซคคาไรด์ เกลอี วิตามิน สี และอิมลซิฟายเออร์ที่ละลายในน้ำ เป็นต้น แล้วนำส่วนผสมทั้งสองส่วนมาผสมด้วยเครื่องบีบีนความเร็วสูง จะได้อิมลชันหยาบ (coarse emulsion) ที่มีขนาดอนุภาครีอปเลิฟ์ ใหญ่ แล้วจึงนำอิมลชันหยาบผ่านเข้าเครื่องไฮโนเจนิไซซ์ จะได้เป็นอิมลชันละเอียด (fine emulsion) ที่มีขนาดอนุภาครีอปเลิฟ์เล็กและมีความคงตัวมากขึ้น (McClements, 2005)

2.5 ความไม่คงตัวทางกายภาพของอิมลชัน

ความไม่คงตัวทางกายภาพของอิมลชันในกะทิอาจพบได้หลายลักษณะดังต่อไปนี้ (ภาพที่ 1) (Dickinson และ Stainsby, 1982; Dickinson, 1992; Walstra, 1996; McClements, 2005)

2.5.1 การเกาะกลุ่มกัน (flocculation)

เกิดขึ้นเมื่อครีอปเลิฟ์ตั้งแต่ 2 ครีอปเลิฟ์ขึ้นไป เข้ามาใกล้และเกาะจับกันโดยไม่เกิดการรวมตัวกันของครีอปเลิฟ์ ดังนั้นครีอปเลิฟ์ยังมีจำนวนและขนาดเท่าเดิม เพียงแต่เกาะกันเป็นกลุ่มเท่านั้น ความไม่คงตัวแบบนี้อาจเป็นขั้นแรกที่นำไปสู่ความไม่คงตัวแบบอื่น ๆ ได้ เช่น การรวมตัวกัน หรือการแยกชั้นครีม การเกาะกลุ่มกันของครีอปเลิฟ์จะมีผลต่อคุณสมบัติทางกระแสวิทยา (rheological properties) ของอิมลชัน ขึ้นกับลักษณะโครงสร้างที่เกิดขึ้นจากการเกาะกลุ่มกันของครีอปเลิฟ์ คือ



ภาพที่ 1 ความไม่คงตัวทางกายภาพของอิมัลชัน

ที่มา : McClements (2005)

- ในอิมัลชันที่มีความเข้มข้นของครีอปเลี้ยงน้อย การเกาะกลุ่มกันของครีอปเลี้ยงจะทำให้อิมัลชันมีความหนืดเพิ่มขึ้น แต่เมื่อทำการกรวย (ถูกกระทำด้วยแรงเรืองเลื่อนในการกรวยอย่างต่อเนื่อง) ความหนดจะลดลงเนื่องจากครีอปเลี้ยงแตกกลุ่มกระจายออกมารายกว่าเกิด shear-thinning

- ในอิมัลชันที่มีความเข้มข้นของครีอปเลี้ยงมาก การเกาะกลุ่มกันของครีอปเลี้ยงจะทำให้เกิดโครงสร้างร่างแท่งสามมิติ (three dimension network) ที่แข็งแรงเกิดขึ้นในอิมัลชัน ทำให้อิมัลชันมีสมบัติขึ้นหยุ่น (elastic properties) เช่น เกิดเป็นเจลได้

2.5.2 การรวมตัวกัน (coalescence)

เกิดขึ้นเมื่อครีอปเลี้ยงตั้งแต่ 2 ครีอปเลี้ยงขึ้นไปเข้ามาใกล้กันรวมตัวกันเกิดเป็นครีอปเลี้ยงที่มีขนาดใหญ่ขึ้น ดังนั้นครีอปเลี้ยงจะมีจำนวนน้อยลงแต่มีขนาดใหญ่ขึ้น เมื่อครีอปเลี้ยงที่เป็นเม็ดน้ำมันรวมตัวกัน พื้นที่ผิวสัมผัสร่วม (interfacial area) โดยรวมของอิมัลชันจะลดลง ดังนั้นพลังงานพื้นผิว (surface energy) จึงลดลงด้วย ซึ่งเป็นไปได้ย่างทางเทอร์โมไดนามิก (thermodynamically favorable) การรวมตัวกันของครีอปเลี้ยงจะเกิดขึ้นก็ต่อเมื่อครีอปเลี้ยงเข้ามาใกล้กันและเยื่อหุ้มที่ผิวสัมผัสร่วม (interfacial membranes) แตกออก ปฏิกิริยาพันธะระยะไกลระหว่างครีอปเลี้ยงจะมีความสำคัญต่อการเกิดการรวมตัวกันของครีอปเลี้ยงมาก อัตราการรวมตัวกันของครีอปเลี้ยงเพิ่มขึ้นเมื่อเยื่อหุ้มที่ผิวสัมผัสร่วมละลายหรือถูกทำลายมากขึ้น เยื่อหุ้มที่หนาและยึดหยุ่นจะทำให้ครีอปเลี้ยงเกิดการรวมตัวได้ยาก ดังนั้นอัตราการรวมตัวกันของครีอปเลี้ยงจะขึ้นอยู่กับธรรมชาติของสารอิมัลซิฟายเออร์ที่ผิวสัมผัสร่วมอย่างมาก

การรวมตัวกันของครีอปเลิฟไม่สามารถทำให้ย้อนกลับได้โดยการกวนธรรมชาต่างจากการเกาตัวกัน หรือการเกิดชั้นครีมที่อาจทำให้ย้อนกลับได้โดยการกวนให้ครีอปเลิฟในอิมัลชันแยกและกระจายตัวใหม่ได้อีก ในอิมัลชันแบบน้ำมันในน้ำ การรวมตัวกันของครีอปเลิฟจะทำให้เกิดการแยกชั้นครีมได้เร็วขึ้น เนื่องจากครีอปเลิฟมีขนาดใหญ่ขึ้น (รัศมียาวขึ้น) การรวมตัวกันของ ครีอปเลิฟอย่างต่อเนื่อง ในที่สุดจะทำให้เกิดชั้นน้ำมันลอยอยู่ด้านบนของอิมัลชัน เรียกว่า oiling off

2.5.3 การรวมตัวกันบางส่วน (partial coalescence)

เกิดขึ้นเมื่อครีอปเลิฟที่มีผลึกไขมันบางอย่างน้อย 2 ครีอปเลิฟเคลื่อนที่เข้ามาใกล้กันแล้วเกิดการสัมผัสกัน และจัดเรียงตัวเป็นรูปร่างที่ผิดปกติ การเกาตัวกันยังคงรูปร่างของครีอปเลิฟไว้ เนื่องจากโครงร่างของผลึกไขมันภายในครีอปเลิฟจะป้องกันการรวมตัวกันอย่างสมบูรณ์ ซึ่งอัตราส่วนของไขมันแข็ง (fat solid) จะขึ้นกับองค์ประกอบของส่วนผสมที่เป็น triacylglycerol และอุณหภูมิ ความไม่คงตัวแบบนี้มักเกิดกับอิมัลชันที่มีครีอปเลิฟเป็นไขมันอิ่มตัว เช่น อิมัลชันกะทิ นมองค์ประกอบของครดไขมันชนิดที่เป็นครดไขมันอิ่มตัวในปริมาณสูง (ตารางที่ 3) ซึ่งจะตกผลึกได้ง่ายที่อุณหภูมิต่ำ โดยกะทิและน้ำมันมะพร้าวจะตกผลึกที่อุณหภูมิต่ำกว่า 5 และ 15°C ตามลำดับ (Tangsuphoom และ Coupland, 2009a) และเมื่อระบบมีอุณหภูมิสูงขึ้นอาจทำให้ส่วนผลึกเกิดการหลอมรวมตัวกัน ทำให้เกิดการรวมตัวของครีอปเลิฟ (coalescence) ได้อย่างสมบูรณ์ในที่สุด

2.5.4 การแยกชั้นครีม (creaming)

เกิดขึ้นเมื่อครีอปเลิฟหรือกลุ่มของครีอปเลิฟที่เป็นน้ำมันมีความหนาแน่นน้อยกว่าวัฏภาคน้ำหนึ้น จึงลอยตัวขึ้นไปรวมตัวกันบริเวณผิวน้ำด้านบนของอิมัลชันที่อยู่ในภาชนะในที่สุดอาจเกิดเป็นชั้นน้ำมัน แยกตัวลอยอยู่เหนือส่วนที่เหลือของอิมัลชัน อัตราเร็วของการแยกชั้น-ครีม (creaming velocity) อาจคำนวณได้จากสมการของสโตกส์ (Stokes' equation) ดังต่อไปนี้

$$v = \frac{2r^2(\rho_0 - \rho_1)g}{9\eta_0}$$

- v = อัตราเร็วในการเคลื่อนที่ของครีอปเลิฟหรืออัตราเร็วในการแยกชั้นครีม
- ρ = ความหนาแน่น
- g = ความเร่งเนื่องจากแรงโน้มถ่วงของโลก
- r = รัศมีของอนุภาค หรือ ครีอปเลิฟ
- η = ความหนืดของวัฏภาคน้ำหนึ้น

อักมรห้อย 0 = วัสดุภาคต่อเนื่อง

อักมรห้อย 1 = วัสดุภาคกระจายตัว (ครีอปเลี้ยง)

จากสมการของสโตกส์ จะเห็นได้ว่า

- ถ้าครีอปเลี้ยงมีขนาดใหญ่ (r มาก) อัตราเร็วในการเคลื่อนที่ของครีอปเลี้ยง และอัตราเร็วของการแยกชั้นครีมยิ่งเร็ว (V มาก) หรือกล่าวได้ว่าครีอปเลี้ยงมีขนาดเล็ก อิมลัชัน ยิ่งมีความคงตัวมาก กระบวนการไฮโนมิโนเซชันให้อิมลัชันมีครีอปเลี้ยงขนาดเล็กจึงมีความสำคัญ
- ถ้าวัสดุภาคต่อเนื่องยิ่งมีความหนืดสูง (η มาก) จะทำให้อัตราเร็วของการแยกชั้น ครีมยิ่งช้า (V น้อย) การเติมสารเพิ่มความหนืดในวัสดุภาคต่อเนื่องจะทำให้อิมลัชันมีความคงตัวมาก ขึ้น

ตารางที่ 3 สัดส่วนองค์ประกอบของกรดไขมันในกะทิและน้ำมันมะพร้าว

fatty acid	ร้อยละ	
	coconut milk ¹⁾	coconut oil ²⁾
caprylic acid (C8)	8.05	7.8
capric acid (C10)	8.16	6.7
lauric acid (C12)	50.09	47.5
myristic acid (C14)	16.98	18.1
palmitic acid (C16)	7.89	8.8
stearic acid (C18:0)	2.96	2.6
oleic acid (C18:1)	5.03	6.2
linoleic acid (C18:2)	0.84	1.6
arachidic acid (C20)	non detect	0.1
total saturated fatty acid	94.13	92.1
total unsaturated fatty acid	5.87	6.2

ที่มา: ดัดแปลงจาก ¹⁾ทศพรมธรรม และ สุคนธ์ชัย (2546) ²⁾http://en.wikipedia.org/wiki/Coconut_oil

ลักษณะการแยกชั้นครีมของอิมัลชันจะขึ้นอยู่กับการกระจายตัวของขนาดครีอป เล็กเมื่อเริ่มต้น ถ้าหากมีทั้งครีอปเล็กที่มีขนาดเล็กและขนาดใหญ่ปนกัน ครีอปเล็กขนาดใหญ่จะเคลื่อนที่โดยขึ้นสู่ด้านบน ได้เร็วกว่า ดังนั้นหลังการแยกชั้นครีมจะมีชั้นของครีอปเล็กที่มีขนาดเล็กลงเรื่อยๆ จากด้านบนสู่ด้านล่างของภาชนะที่บรรจุอิมัลชันนั้น การเกาะกลุ่มกัน (flocculation) หรือการรวมตัวกัน (coalescence) ของครีอปเล็กจะทำให้เกิดอนุภาคที่มีขนาดใหญ่ขึ้นในอิมัลชัน ทำให้กระบวนการแยกชั้นครีมเกิดเร็วขึ้น

2.6 อิมัลซิฟายเออร์และกัม

2.6.1 อิมัลซิฟายเออร์ คือกลุ่มของสารประกอบที่ภายในโมเลกุลมีทั้งส่วนที่มีข้อหัวหรือ ขอบน้ำ (polar or hydrophilic) และส่วนที่ไม่มีข้อหัวหรือไม่ชอบน้ำ (nonpolar or hydrophobic) เมื่ออยู่ในระบบอิมัลชัน อิมัลซิฟายเออร์จะดูดซับ (adsorb) อยู่ที่บริเวณผิวสัมผัสร่วม (interface) ระหว่างน้ำกับน้ำมัน ซึ่งก็คือผิวของครีอปเล็ก โดยยื่นส่วนของโมเลกุลที่ชอบน้ำเข้าหาหน้า และยื่นส่วนที่ไม่ชอบน้ำเข้าหาหน้ามัน อิมัลซิฟายเออร์จะเป็นตัวกลางคั่นระหว่างน้ำกับน้ำมัน ซึ่งช่วยลดแรงตึงที่ผิวสัมผัสร่วม และยังเป็นเสมือนเยื่อหุ้มป้องกัน (protective membrane) รอบ ๆ ครีอปเล็ก ข้อขางไม่ให้ครีอปเล็กรวมตัวกัน ระบบอิมัลชันจึงมีความคงตัวมากขึ้น

อิมัลซิฟายเออร์อาจแบ่งออกเป็น 2 กลุ่มใหญ่ คือ กลุ่มที่เป็นพอลิเมอร์ (polymeric emulsifiers) ซึ่งมีขนาดโมเลกุลใหญ่ เช่น โปรตีน และกลุ่มที่เป็นสารเชอร์แฟกแทนต์หรือสารลดแรงตึงผิว (surfactants) ซึ่งมีขนาดโมเลกุลเล็ก เช่น เลซิธิน (lecithin) โมโนกลีเซอไรด์และไดกเลอไรด์ (monoglycerides and diglycerides) เช่น Tween และ Span

อิมัลซิฟายเออร์ที่ดีและมีประสิทธิภาพควรจะดูดซับที่บริเวณผิวสัมผัสร่วมหรือผิวครีอปเล็กที่เพิ่งเกิดขึ้นใหม่ระหว่างกระบวนการโซโนเจนائز์ได้มากและรวดเร็ว โดยทั่วไปสารอิมัลซิฟายเออร์ที่มีขนาดโมเลกุลเล็กกว่าและมีโครงสร้างที่ยืดหยุ่นกว่า จะดูดซับที่ผิวสัมผัสร่วมได้เร็วกว่าและมีประสิทธิภาพมากกว่า โปรตีนโดยทั่วไปจึงมีประสิทธิภาพในการเป็นอิมัลซิฟายเออร์ต่ำกว่าสารเชอร์แฟกแทนต์ นอกจากนี้โปรตีนยังมีข้อด้อยที่มักจะเกิดการเปลี่ยนสภาพธรรมชาติ (denaturation) เมื่อได้รับความร้อน ทำให้ประสิทธิภาพในการเป็นอิมัลซิฟายเออร์ลดลง (Walstra, 1996; McClements, 2005)

2.6.2 กัม (gum) เป็นสารประกอบประเภทโพลิแซคคาไรด์ (polysaccharide) ซึ่งมีขนาดโมเลกุลใหญ่และมีคุณสมบัติชอบน้ำ เมื่อละลายหรือกระจายตัวในน้ำจะทำให้เกิดความข้นหนืด หรือเกิดเจล จึงมีคุณสมบัติเป็นสารสเตบิไลเซอร์ช่วยให้อิมัลชันคงตัวได้ดีขึ้น

(Glicksman, 1976) Becher (1965) รายงานว่าการใช้กัมเพียงอย่างเดียวจะไม่มีประสิทธิภาพพอที่จะทำให้มัลชันเกิดความคงตัว ต้องใช้ร่วมกับสารอิมัลซิฟายเออร์อื่นจึงจะเกิดผล โดยกัมมีบทบาทเป็นตัวเสริมการทำงานของอิมัลซิฟายเออร์ในลักษณะไปเพิ่มความข้นหนืดให้แก่ส่วนต่อเนื่องของระบบอิมัลชันชนิดน้ำมันในน้ำ แต่จะมีกัมบางชนิด เช่น กัมอาราบิก (gum arabic) คาร์ราจีแนน (carageenan) คาร์บอคไซเมทิลเซลลูโลส (carboxymethyl cellulose) สามารถเกิดเป็นพิล์มที่แข็งแรงระหว่างผิวของครีอปเลี้ยทน้ำมันและน้ำได้ (Sharma, 1981)

2.7 การรักษาความคงตัวของน้ำกะทิแปรรูป

เนื่องจากกะทิเป็นระบบอิมัลชันที่ไม่คงตัว เกิดการแยกชั้นได้จากปัจจัยหลายประการดังได้กล่าวมาแล้วข้างต้น การรักษาคุณภาพของน้ำกะทิโดยเฉพาะที่กะทิที่ผ่านการแปรรูปให้คงไว้ตลอดอายุการเก็บรักษาทั้งจากการเปลี่ยนแปลงค้านภายในภาพ เคมีและจุลินทรีย์ จึงเป็นสิ่งที่ผู้ผลิตในอุตสาหกรรมมีความต้องการเป็นอย่างมาก จึงมีงานวิจัยที่เกี่ยวข้องกับการรักษาความคงตัวของน้ำกะทิอยู่จำนวนหนึ่ง เช่น การศึกษานิคและการปริมาณของสารอิมัลซิฟายเออร์ สารเพิ่มความหนืด สารภาวะความดันในการโซโนมีโซน ผลของการให้ความร้อนต่อความคงตัวของน้ำกะทิแปรรูปเป็นต้น

ศิริวรรณ (2528) รายงานว่าน้ำกะทิที่ผ่านการให้ความร้อนก่อนการเติม Tween 60 ที่ความเข้มข้นร้อยละ 0.5 และนำไปโซโนมีโซนที่ความดัน 2,000 ปอนด์ต่อตารางนิว (psi) และม่าเชื้อในหม้อนึ่งความดันที่ 10 ปอนด์ต่อตารางนิว เป็นเวลา 1 ชั่วโมง มีลักษณะเนื้อสัมผัสที่ดี มีสีคล้ายน้ำนม และเป็นเนื้อดีเยวกัน แต่มีอัตราเพิ่มความคงตัว คือ โซโนมีโซน เดือน อัลจิเนต ความเข้มข้นร้อยละ 0.25 0.5 และ 0.75 กว่าก้มและแซนแทนกัม ความเข้มข้นร้อยละ 0.1 0.2 และ 0.3 พบร่วมกับ ตะกอนอ่อน (curd) เป็นลิ่มสีน้ำตาล

ประสงค์ (2531) ได้ศึกษาผลของอิมัลซิฟายเออร์และกัมในการรักษาความคงตัวของกะทิบรรจุกระป๋อง (ไขมันร้อยละ 14) พบร่วมกับ Tween 40 ผสมกับ GMS และ Tween 60 ผสมกับ Span 80 ที่ค่า HLB มากกว่าหรือเท่ากับ 14.0 ที่ความเข้มข้นร้อยละ 0.6 และ 0.5 ตามลำดับ โดยนำไปผ่านการโซโนมีโซนที่ความดัน 2,500/500 ปอนด์ต่อตารางนิว หรือ 17/4 MPa และม่าเชื้อที่อุณหภูมิ 115°C หรือที่ความดัน 10 ปอนด์ต่อตารางนิว เป็นเวลา 45 นาที ทำให้น้ำกะทิที่ได้มีลักษณะเนื้อเนียน สี กลืนและรสชาติดี ไม่มีการแยกชั้นในระยะเวลา 3 วัน แต่มีอัตราเพิ่มความคงตัวของ CMC โซโนมีโซน อัลจิเนต และคาร์ราจีแนน ความเข้มข้นร้อยละ 0.1-1.0 ร่วมด้วยกลับทำให้น้ำกะทิมีการ

แยกชั้นและมีตะกอนอ่อนขนาดใหญ่เกิดขึ้น ยกเว้นการใช้ CMC ความเข้มข้นร้อยละ 0.1 ที่ยังให้ลักษณะดี

กรอกา (2539) ทำการศึกษาการผลิตน้ำกะทิคืนรูปแปลงไขมันบางส่วนด้วยน้ำมันพืช รายงานว่า น้ำกะทิแปลงไขมันที่แทนที่น้ำมันมะพร้าว ร้อยละ 50 ด้วยน้ำมันรำข้าวโดยใช้สารอิมัลซิฟายเออร์หรือสารเพิ่มความคงตัว 3 ชนิด คือ Tween 60 ที่ความเข้มข้นร้อยละ 0.2-0.5 CMC ที่ความเข้มข้นร้อยละ 0.1-0.4 และ โซเดียมเคเชินต์ที่ความเข้มข้นร้อยละ 0.6-1.5 นำมาผ่านการโซโนจีไนซ์ที่ความดัน 2,500/500 ปอนด์ต่อตารางนิวตัน แล้วบรรจุกระป๋องขนาด 300×407 และม่าเชื้อที่ความดัน 10 ปอนด์ต่อตารางนิวตัน เป็นเวลา 40 นาทีพบว่าในตัวอย่างกะทิที่ใช้ Tween 60 ที่ความเข้มข้นร้อยละ 0.3 ให้ลักษณะปรากฏดีที่สุด คือจะมีสีขาวและเนื้อเนียน CMC ให้ลักษณะกะทิที่มีตะกอนอ่อน ยืดหยุ่น ส่วนโซเดียมเคเชินต์ให้ลักษณะกะทิที่มีตะกอนอ่อนจับตัวค่อนข้างแน่น มีสีคล้ำเล็กน้อย

เอกสิทธิ์ (2540) ศึกษาการผลิตและอายุการเก็บน้ำกะทิแปลงไขมันบรรจุกระป๋อง (ไขมันร้อยละ 17) รายงานว่า การใช้อิมัลซิฟายเออร์คือ Tween 60 ที่ความเข้มข้นร้อยละ 0.10-0.25 และ โซเดียมเคเชินต์ที่ความเข้มข้นร้อยละ 1.50-2.25 ในน้ำกะทิแปลงไขมันที่แทนที่น้ำมันมะพร้าว ร้อยละ 75 ด้วยน้ำมันรำข้าว พบว่า การใช้ Tween 60 ที่ความเข้มข้นร้อยละ 0.2 และ โซเดียมเคเชินต์ที่ความเข้มข้นร้อยละ 2.0 จะให้น้ำกะทิที่มีเนื้อเรียบเนียนไม่แยกชั้น แต่โซเดียมเคเชินต์ให้กลิ่นน้ำมัน ลีกน้อย และนอกจากนี้ การใช้ KMS ปริมาณ 200 ppm เป็นสารป้องกันการเกิดสารประกอบสี นำตาลในน้ำกะทิบรรจุกระป๋องทำให้มีอายุการเก็บรักษานานที่สุด เมื่อเทียบกับตัวอย่างควบคุมและการใช้ EDTA 100 ppm

เทพกัญญา (2545) ได้ศึกษาผลของอิมัลซิไฟเออร์และแซนแทกนัมต่อความคงตัวของอิมัลชันที่มีน้ำมันมะพร้าว ร้อยละ 8, 14 และ 20 เป็นองค์ประกอบ พบร่วมกันให้ความร้อน อิมัลชันที่บรรจุในภาชนะแก้วปริมาณ 200 มิลลิลิตร ที่อุณหภูมิ 121°C เป็นเวลา 10 นาที มีเพียงระบบที่เติม Tween 60 ในทุกความเข้มข้นที่ศึกษา (ร้อยละ 0.25-1.0) ที่ให้ลักษณะเป็นเนื้อเดียวกัน และมีค่า creaming index ต่ำ ส่วนระบบที่มีการเติมแซนแทกนัมและปรับค่า HLB 7-14.9 ด้วย Tween 60 และ Span 60 พบร่วมกับอิมัลชันมีลักษณะเป็นเนื้อเดียวกัน แต่เมื่อให้ความร้อนมีเพียงอิมัลชันที่มีแซนแทกนัมร้อยละ 0.4 ที่ยังคงให้อิมัลชันมีลักษณะเป็นเนื้อเดียวกัน และมีค่า creaming index เป็นศูนย์

Sriithunma (2002) รายงานว่า อิมัลชันกะทิ (ไขมันร้อยละ 15-30) ที่ผ่านการโซโนจีไนซ์ ร่วมกับการใช้ Tween 60 กับ CMC อัตราส่วนร้อยละ 0.6 : 0.4 โดยน้ำหนักต่อปริมาตรกะทิ ที่ระดับความดันสูงเพิ่มขึ้น ($4/4 - 11/4$ MPa) จะให้กะทิที่มีความหนืดปรากฏและความคงตัวเพิ่มขึ้น และมี

ขนาดของอนุภาคไบมันลดลง และการใช้ความดันในการโซโนจีไนเซชันที่ 11/4 MPa เหมาะสมในการผลิตน้ำกะทิเนื่องจากมีค่าความคงตัวที่สูงและขนาดอนุภาคไบมันขนาดเล็ก

Perrier-Cornet, Marie และ Gervais (2005) ได้เปรียบเทียบประสิทธิภาพของอิมัลชันแบบน้ำมันในน้ำที่ให้ความคงตัวจากโปรตีน โดยผ่านการโซโนจีไนซ์ด้วยเครื่องโซโนจีไนซ์ต่างชนิดกัน พบว่าการใช้เครื่องโซโนจีไนซ์ชนิดความดันสูงจะให้ลักษณะอิมัลชันที่มีขนาดอนุภาคเฉลี่ยขนาดเล็ก และเมื่อผ่านการโซโนจีไนซ์ 3 และ 4 รอบ จะทำให้อนุภาคน้ำมันเล็กลงมากกว่าการโซโนจีไนซ์เพียงหนึ่งรอบ

Tangsuphoom และ Coupland (2005) ได้ศึกษาผลของความดันในการโซโนจีไนเซชันต่อความคงตัวของอิมัลชันกะทิ (ไบมันร้อยละ 17) ที่ระดับความดันต่าง ๆ คือ 20/2 40/4 และ 60/6 MPa พบว่า ที่ระดับความดัน 40/4 MPa อิมัลชันของกะทิมีค่าเฉลี่ยของขนาดอนุภาคต่ำที่สุด และจากการศึกษาการโซโนจีไนซ์กะทิจำนวน 1-5 รอบ พบว่าไม่มีความแตกต่างกันของค่าเฉลี่ยของขนาดครึ่องเล็กน้ำมันหลังจากการโซโนจีไนซ์รอบที่ 3

จันพิมา (2546) ได้ศึกษาผลของความดันในการโซโนจีไนซ์และสภาวะในการฆ่าเชื้อต่อความคงตัวของน้ำกะทิไบมันสูง (ไบมันร้อยละ 30) บรรจุกระป๋องขนาด 300×407 ปริมาตร 400 มิลลิลิตร โดยใช้การโซโนจีไนซ์แบบ 2 ขั้นที่ความดันรวม 15-27 MPa (11/4-23/4 MPa) และความร้อนในการฆ่าเชื้อที่อุณหภูมิ 109.3 115.6 และ 121.1°C ที่ระดับความดัน 5 10 และ 15 ปอนด์ต่อตารางนิว เป็นเวลา 160 110 และ 60 นาที ตามลำดับ ร่วมกับการใช้สารเพิ่มความคงตัวคือ Tween 60 หรือ CMC และการใช้ร่วมกันในอัตราส่วนต่างๆ โดยรายงานผลการทดลองจากการใช้วิธี response surface สรุปว่า การใช้ Tween 60 ร่วมกับ CMC ในอัตราส่วนร้อยละ 0.6 : 0.6 โดยนำหนักต่อปริมาตร ผ่านการโซโนจีไนซ์ที่ 14/4 MPa แล้วให้ความร้อนที่ 121.1°C เป็นเวลา 60 นาที เป็นสภาวะที่ทำให้น้ำกะทิไบมันสูงบรรจุกระป๋องมีคุณภาพดี และมีสีโกลเด้นสีเหลืองน้ำกะทิสด

การที่น้ำกะทิมี pH ประมาณ 6.2 ถือเป็นอาหารที่มีความเป็นกรดต่ำ (low-acid food) จึงจำเป็นต้องใช้การฆ่าเชื้อโดยใช้ความร้อนสูงเพื่อทำลายจุลินทรีย์ที่อาจก่อให้เกิดการเสื่อมเสีย การให้ความร้อน ควรให้เท่าที่จำเป็นเท่านั้น เพื่อรักษาความคงตัวของผลิตภัณฑ์ ในการฆ่าเชื้อโดยใช้หม้อนึ่งความดัน (retort) ใช้ F₀ ประมาณ 5 นาที (Timmings และ Kramer, 1977; APCC, 1994)

Arumughan และคณะ 1993 กล่าวว่าการสเตอโรไลซ์ที่อุณหภูมิ 121°C นาน 20 นาที เพียงพอสำหรับกะทิที่บรรจุกระป๋องขนาด 301×204 Teixeia-Neto และคณะ (1985) สเตอโรไลซ์น้ำกะทิบรรจุขวดแก้วปริมาตร 200 ml และ 500 ml ที่อุณหภูมิ 121°C นาน 60 นาที และ 70 นาที ตามลำดับ Gonzalez และคณะ (1977) ได้เสนออุณหภูมิ 115°C เวลา 32 นาที ซึ่งมีค่า F₀ เท่ากับ 7.5 ผลิตภัณฑ์ที่ได้มีความคงตัวในระหว่างการเก็บรักษาดีมาก สุคนธ์ชื่น (2531) แนะนำสภาวะในการฆ่าเชื้อกะทิ

บรรจุกระป่องขนาด 300×407 อาจเลือกใช้อุณหภูมิ $115.6, 118.3$ หรือ 121.1°C เป็นเวลา $22, 14$ หรือ 8 นาที ตามลำดับ น้ำ汽ที่ทิ่่ได้หลังจากเขย่าแล้ว สามารถคงสภาพเป็นเนื้อเดียวได้นานกว่า 2 สัปดาห์ APCC (1994) ได้เสนออุณหภูมิและระยะเวลาที่เหมาะสมสำหรับกะทิบรรจุกระป่องขนาดต่าง ๆ ดังตารางที่ 4

ตารางที่ 4 อุณหภูมิและระยะเวลาที่เหมาะสมสำหรับกะทิบรรจุกระป่องขนาดต่าง ๆ (APCC, 1994)

ขนาดกระป่อง	ระยะเวลาในการให้ความร้อนที่อุณหภูมิ				F_0 (นาที)	
	115°C		121°C			
	$\text{IT}^a = 21^{\circ}\text{C}$	$\text{IT} = 71^{\circ}\text{C}$	$\text{IT} = 21^{\circ}\text{C}$	$\text{IT} = 71^{\circ}\text{C}$		
211×400	36	30	22	18	4.85	
307×409	40	35	27	22	4.94	
401×411	46	39	30	25	5.08	
603×700	61	51	42	33	5.39	

^aIT คือ อุณหภูมิเริ่มต้น (initial temperature)

ที่มา : ดัดแปลงจาก Seow และ Kwee (1997)

บทที่ 3

วัตถุดิบ อุปกรณ์และวิธีการ

3.1 วัตถุดิบ

- กะทิที่ได้จากการบีบเนื้อมะพร้าวขุดชนิดไม่ปอกผิวสีน้ำตาล โดยไม่เติมน้ำ ด้วยเครื่องบีบนำ้กะทิชนิดไสโตรลิก จากตลาดปฐมมงคล จังหวัดนครปฐม

3.2 เครื่องมือและอุปกรณ์

- เครื่องบีบนำ้กะทิชนิดไสโตรลิก (Sakaya-A2, Sakaya, Thailand)
- เครื่องหมุนเหวี่ยงแบบควบคุมอุณหภูมิ (Sorvall, RC 6, USA)
- เครื่องซั่งน้ำหนัก 4 ตำแหน่ง (Sartorius, BS 224S, Germany)
- เครื่องซั่งน้ำหนัก 2 ตำแหน่ง (Pioneer, Ohaus, USA)
- เครื่องวัดค่าไฟอช (Sartorius, PB-11, Germany)
- ตู้อบลมร้อนแบบควบคุมอุณหภูมิได้ (Binder, ATP FED, USA)
- ตู้อบลมร้อนแบบสูญญากาศ (Eyela, VOS-300SD, Japan)
- เครื่องเจลอิเล็กโทรฟอรีซิสแบบแนวตั้ง (vertical gel electrophoresis) (Galileo Bioscience, 85-2020, USA)
- เครื่องดิฟเฟอเรนเชียลสแกนนิงแคลอริมิเตอร์ (Differential Scanning Calorimeter, DSC) (Perkin Elmer, Pyris-1, USA)
- เครื่องโซโนมิไนเซอร์ความดันสูงแบบความดัน 2 ขั้น (Two-stage homogenizer) (APV, Lab 2000, USA)
- หม้อนึ่งอัดความดันไอน้ำ (autoclave) (Tomy, SS 325, Japan)
- เครื่องแช่แข็งแบบเป่าลมเย็นจัด (air blast freezer)
- กล้องจุลทรรศน์ (Olympus, CHS, Japan) พร้อมกล้องถ่ายภาพ (Olympus, C-7070WZ, Japan)

- เครื่องวัดการกระจายแสงเลเซอร์ (laser light scattering instrument) (Coulter, LS 100Q, USA) สำหรับการวัดการกระจายของขนาดอนุภาค (particle size distribution)
- เครื่องวิเคราะห์ปริมาณแร่ธาตุ (Inductively Coupled Plasma Spectrometer, ICP) (Varian, Liberty 220, USA)
- เครื่องวัดความหนืด (Brookfield, DVL VII+, USA)
- แท่นให้ความร้อนพร้อมระบบการดึงแม่เหล็ก
- อ่างน้ำไฟฟ้าแบบควบคุมอุณหภูมิได้
- ชุดวิเคราะห์ปริมาณโปรตีน Kjeldahl ประกอบด้วยชุดเครื่องย่อย (Gerhardt, Vapodest, UK) และชุดเครื่องกลั่น (Gerhardt, Kjeldatherm, UK)
- ถุงไนโตรเจนไนท์ (Cellu Sep, H1 5-0250-45, USA)
- ถ้วยอะลูมิเนียมมีฝาปิด (moisture can)
- โถดูดความชื้น (desiccators)
- ตะแกรงร่อนขนาด 100 mesh
- ตะแกรงร่อนขนาด 10 mesh
- ไนโตรบีปีปต (micropipette)
- ขวดหาความถ่วงจำเพาะ (pycnometer) (Superior, Marienfeld, Germany)
ขนาด 10 มิลลิลิตร
- เครื่องแก้วชนิดต่างๆ ที่จำเป็นในการวิเคราะห์

3.3 สารเคมี

3.3.1 สารเคมีที่ใช้ในการวิเคราะห์ปริมาณโปรตีนตามวิธีของ AOAC (2000)

- โพแทสเซียมซัลเฟต
- kob เปอร์ซัลเฟต
- กรดซัลฟูริก
- โซเดียมไฮดรอกไซด์
- กรดบอริก
- เมทิลเรด
- โบร์โนมิครีซอลกอรีน

3.3.2 สารเคมีที่ใช้ในการวิเคราะห์ปริมาณไขมันตามวิธีของ AOAC (2000)

- แอมโมเนียมไโซดรอกไซด์

- เอทิลอีเทอร์

- ปิโตรเลียมอีเทอร์

- เอทานอลความเข้มข้นร้อยละ 95

3.3.3 สารเคมีที่ใช้ในการทำอิเล็กโทร โพลีอะครีลิก ไซเดียม โอดเดซิลซัลฟัต พอลิอะคริลามิด (sodium dodecylsulfate polyacrylamide gel electrophoresis: SDS-PAGE)

- อะคริลามิด (acrylamide)

- บิสอะคริลามิด (bisacrylamide) (N,N' -Methylenebisacrylamide)

- โซเดียมโอดเดซิลซัลฟัต (sodium dodecyl sulfate)

- ทริส (tris (hydroxy methyl) aminomethane)

- ไอกลูเซ็น (glycine)

- แอมโมเนียมเปอร์ซัลเฟต

- ไดทีโธอล (dithiothreitol, DTT)

- TEMED (N, N, N', N' -tetramethylmethylenediamine)

- สีเย้อมโปรตีน (Coomassie Brilliant Blue R-250)

- เมทานอล

- กรดแอ็คติก

- กลีเซอรอล

- โนร์โนฟีโนลบัลกู

- โปรตีนมาตราฐาน ประกอบด้วย

phosphorylase b	(97.400 kD)	bovine serum albumin	(66.2 kD)
-----------------	-------------	----------------------	-----------

ovalbumin	(45.0 kD)	carbonic anhydrase	(31.0 kD)
-----------	-----------	--------------------	-----------

trypsin inhibitor	(21.5 kD)	lysozyme	(14.4 kD)
-------------------	-----------	----------	-----------

3.3.4 สารเพิ่มความคงตัวหรือสารสเตบิไลเซอร์ (stabilizer)

- สารเพิ่มความหนืด (thickening agent) ได้แก่ คาร์บอฟิเมทิลเซลลูโลส

(carboxymethyl cellulose, CMC) ชนิดความหนืดสูง (Sigma, C5013, USA)

- สารอัมลัซิฟายเออร์ (emulsifier) ได้แก่ Tween 60 (Polysorbate 60 หรือ

Polyoxyethylene sorbitan monostearate) (Aldrich, W291609, Germany)

3.3.5 สารยับยั้งการเจริญของจุลินทรีย์ ได้แก่ โซเดียมอะไซด์ (sodium azide) (Carlo

Erba, 478482, France)

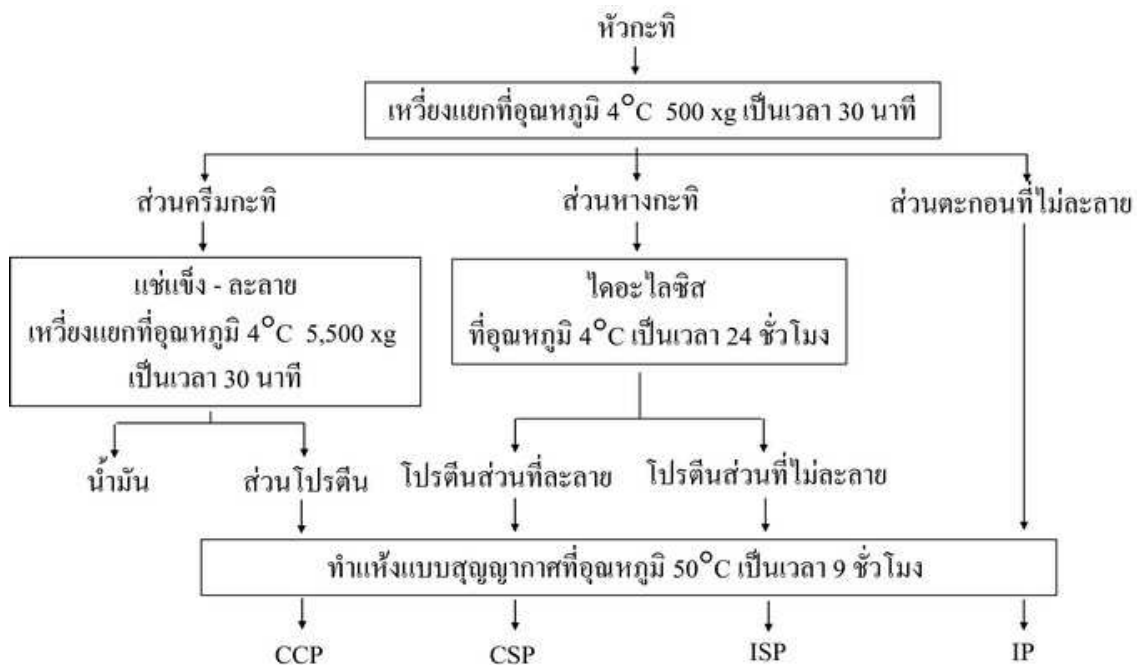
3.4 วิธีดำเนินงานวิจัย

3.4.1 การศึกษาองค์ประกอบและสมบัติของโปรตีนกะทิ

3.4.1.1 การแยกโปรตีนกะทิ

ทำการหีบห่ำแล้วแยกหัวกะทิด้วยเครื่องหมุนหีบห่ำแบบควบคุมอุณหภูมิได้ที่ อุณหภูมิ 4°C ความเร็ว 500 xg เป็นเวลา 30 นาที เพื่อแยกส่วนกะทิและนำมาสกัดโปรตีนกะทิในแต่ละส่วนต่อไป และทำการเก็บตัวอย่างกะทิสด และส่วนต่างๆ ของกะทิที่ได้หลังจากหีบห่ำแยก มาทำการวิเคราะห์องค์ประกอบโดยประมาณ ได้แก่ ความชื้น โปรตีน ไขมัน และเต้า ตามวิธีของ AOAC (2000) ส่วนการหาปริมาณไขมันในน้ำกะทิ ส่วนครีม และส่วนหางกะทิ จะวิเคราะห์ตามวิธี modified Mojonnier (AOAC Official Method 989.05, AOAC, 2000) รายละเอียดของวิธีการวิเคราะห์แสดงไว้ในภาคผนวก ก

นำส่วนต่างๆ ของกะทิที่ได้หลังจากหีบห่ำมาทำให้เข้มข้นหรือบริสุทธิ์ ขึ้นดังนี้ (แสดงดังภาพที่ 2) ทำการแยกส่วนครีม (coconut cream) โดยนำมาแช่แข็งที่อุณหภูมิ -18°C เป็นเวลา 20 ชั่วโมง จากนั้นนำมาละลายในอ่างน้ำร้อนจนมีอุณหภูมิประมาณ 45°C แล้วจึงนำไปหีบห่ำแล้วแยกด้วยเครื่องหมุนหีบห่ำแบบควบคุมอุณหภูมิ โดยใช้ความเร็ว 5,500 xg ที่อุณหภูมิ 4°C เป็นเวลา 30 นาที ส่วนครีมจะแยกออกเป็น 2 ส่วน คือ ส่วนของโปรตีนที่ดูดซับอยู่รอบผิวดรีบลีฟ น้ำมัน (coconut cream protein, CCP) และส่วน ไขมัน (coconut oil) ทำการแยกส่วนหางกะทิ (coconut skim milk) โดยนำน้ำบรรจุลงในถุง ไดอะไลซิส (molecular weight cut off, MWCO 2,000 ดาลตัน) แล้วแช่ในน้ำกลันที่อุณหภูมิ 4°C เป็นเวลา 24 ชั่วโมง โดยเปลี่ยนน้ำทุก 12 ชั่วโมง มีการกวนตลอดเวลาด้วยแท่งแม่เหล็กวน ส่วนหางกะทิจะแยกเป็นสองส่วนคือ ส่วนน้ำซึ่งมีโปรตีนที่ละลายในหางกะทิ (coconut skim milk protein, CSP) และส่วน โปรตีนที่ไม่ละลายโดยกรองผ่านกระดาษกรอง (whatman No.1) จากนั้นนำโปรตีนกะทิที่แยกได้จากส่วนครีม ส่วนหางกะทิ และส่วนตะกอน โปรตีนที่ไม่ละลายจากการหีบห่ำแล้วแยกกะทิ (insoluble protein, IP) ไปทำแห้งด้วยการอบสูญญากาศที่อุณหภูมิ 50°C เป็นเวลา 9 ชั่วโมง แล้วจึงนำมาวิเคราะห์ปริมาณโปรตีน (AOAC, 2000) เพื่อตรวจสอบความบริสุทธิ์



ภาพที่ 2 ขั้นตอนการแยกโปรตีนจากกะทิ

3.4.1.2 การศึกษาองค์ประกอบของโปรตีนกะทิ

นำโปรตีนกะทิมาวิเคราะห์องค์ประกอบและขนาดโมเลกุล ด้วยวิธีเจลอิเล็กโทร-โพรีซิสโดยใช้เจลไโซเดียมโอดเดซิลซัลฟे�ตโพลิอะคริลามิด (sodium dodecylsulfate polyacrylamide gel electrophoresis: SDS-PAGE) ตามวิธีของ Laemmli (1970), Sringam (1997) และสุกัญญา (2549) โดยทำการเตรียมเจลโพลิอะคริลามิดความเข้มข้นร้อยละ 12 (12% total acrylamide) ขนาด 20×20 เซนติเมตร หนา 1.50 มิลลิเมตร ด้วยเครื่องทำเจลอิเล็กโทรโพรีซิสแบบแนวตั้ง แยกองค์ประกอบโดยใช้แรงเคลื่อนไฟฟ้าคงที่ที่ 200 โวลท์ เตรียมสารละลายตัวอย่างโปรตีนแต่ละชนิดในสารละลายทวิส-ไกลซีนบัฟเฟอร์ (Tris-glycine buffer) ผสมโซเดียมโอดเดซิลซัลฟे�ต (SDS) ร้อยละ 2 ให้มีความเข้มข้นของโปรตีนประมาณ 15 mg/ml โดยใช้ปริมาณสารตัวอย่างครั้งละ 15 μl ในระบบที่มีการรีดิวชั่งใช้ dithiothreitol (DTT) เพื่อรีดิวชั่งโปรตีน และเปรียบเทียบ proteins fractions กับโปรตีนมาตรฐานที่ทราบนำหนักโมเลกุล รายละเอียดของวิธีการวิเคราะห์แสดงไว้ในภาคผนวก ก

3.4.1.3 การศึกษาการเปลี่ยนแปลงเชิงความร้อนของโปรตีนกะทิ

นำโปรตีนกะทิมาศึกษาการเปลี่ยนแปลงเชิงความร้อนของโปรตีน โดยใช้ differential scanning calorimeter (DSC) (Perkin Elmer, Pyris-1, USA) โดยศึกษาการเปลี่ยนแปลง

คุณสมบัติทางความร้อนในช่วงอุณหภูมิ 25-120°C ที่อัตราการให้ความร้อน 10°C ต่อนาที โดยชั่งตัวอย่างไปรตีนกะทิใส่ในถ้วยอลูминีียม (volatile aluminum pan) และเจือจางตัวอย่างด้วยน้ำกลั่นปริมาตร 10 μl เพื่อให้มีความเข้มข้นสุดท้ายของไปรตีนเท่ากับร้อยละ 20 โดยน้ำหนักเท่ากันในทุกตัวอย่าง ปิดผนึกถ้วยตัวอย่างและนำมาบ่มที่อุณหภูมิ 4°C เป็นเวลา 48 ชั่วโมง ก่อนการวิเคราะห์

3.4.2 การศึกษาสภาพในการโซโนจีไนซ์ต่อสมบัติและความคงตัวทางกายภาพของกะทิ

3.4.2.1 นำหัวกะทิมาวัด pH ก่อนสุ่มตัวอย่างไปวิเคราะห์ปริมาณไขมันที่เป็นองค์ประกอบเพื่อใช้เป็นฐานในการคำนวณปริมาณน้ำที่ใช้ในการเจือจางให้ได้น้ำกะทิที่มีปริมาณไขมันร้อยละ 20 โดยน้ำหนักเท่ากันในทุกตัวอย่างตลอดการทดลอง

3.4.2.2 นำกะทิที่ปรับปริมาณไขมันแล้วมาพาสเจอร์ไซด์ที่อุณหภูมิ 70°C เป็นเวลา 1 นาที เพื่อยับยั้งการเจริญของจุลินทรีย์และการทำงานของเอนไซม์ไลเปส แล้วจึงนำมาผ่านกระบวนการโซโนจีไนซ์ที่ความดัน 3 ระดับ ด้วยเครื่องโซโนจีไนเซอร์ความดันสูงแบบความดัน 2 ขั้น (two-stage homogenizer) (APV, Lab 2000, USA) ที่ระดับความดัน (ความดันขั้นที่หนึ่ง/ความดันขั้นที่สอง) 11/4 17/4 และ 23/4 MPa ร่วมกับการใช้สารสเตบิไลเซอร์ ได้แก่ คาร์บอซิเมทิลเซลลูโลส (carboxy methylcellulose: CMC) (เพื่อเพิ่มความหนืดให้กับกะทิที่ผ่านการปรับปริมาณไขมันให้ใกล้เคียงกับหัวกะทิ โดยกำหนดให้มีความเข้มข้นของ CMC คงที่ คือร้อยละ 0.6 โดยน้ำหนัก) หรือ Tween 60 ที่ความเข้มข้นร้อยละ 0.5 โดยน้ำหนัก โดยจะทำการเติมสารสเตบิไลเซอร์ในระหว่างขั้นตอนการพาสเจอร์ไซด์ที่ ขณะที่ให้ความร้อนกะทิพร้อมกับมีการคนตลอดเวลาด้วยแท่นแม่เหล็ก (magnetic stirrer) จนมีอุณหภูมิประมาณ 50°C จึงค่อยๆ เติมสารสเตบิไลเซอร์ทีละน้อยจนหมด หลังจากผ่านกระบวนการพาสเจอร์ไซด์ กะทิจะถูกทำให้เย็นลงจนมีอุณหภูมิประมาณ 35°C จากนั้นจึงนำกะทิผ่านเข้าเครื่องโซโนจีไนเซอร์ในแต่ละระดับความดันจำนวน 1, 2 และ 3 รอบ (แสดงดังภาพที่ 3) โดยทำการทดลองเปรียบเทียบกับตัวอย่างควบคุมที่ไม่ได้เติมสารสเตบิไลเซอร์

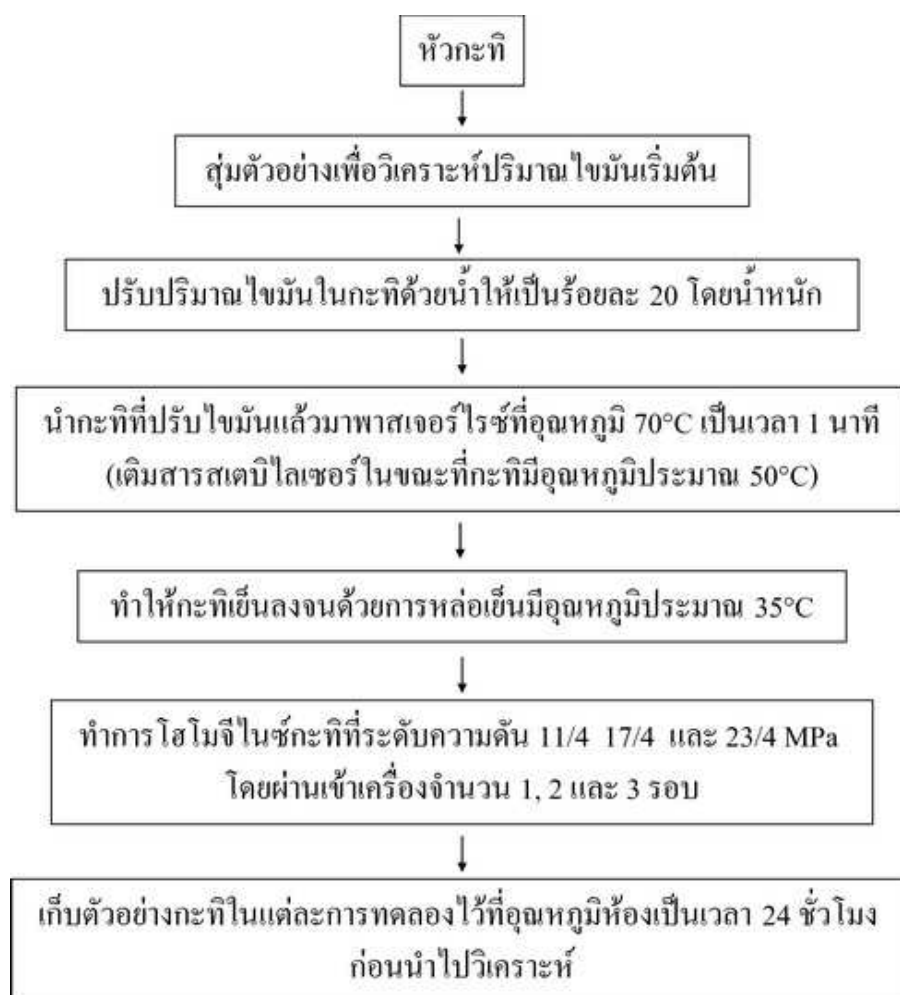
3.4.2.3 เก็บตัวอย่างกะทิในข้อ (3.4.2.2) ที่อุณหภูมิห้องเป็นเวลา 24 ชั่วโมง โดยจะมีการเติมโซเดียมเอไซด์ (sodium azide) ความเข้มข้นร้อยละ 0.02 โดยน้ำหนักของน้ำกะทิ เพื่อยับยั้งการเจริญของจุลินทรีย์ จากนั้นนำมาวิเคราะห์

- ลักษณะจุลภาคของครีอปเล็ท ด้วยกล้องจุลทรรศน์พร้อมกล้องถ่ายภาพเพื่อตรวจสอบการเกิดการเกาะหรือรวมตัวกันของครีอปเล็ทน้ำมันในกะทิ
- ขนาดของครีอปเล็ทเคลื่ยและภาระกระจายตัวของขนาดครีอปเล็ทในกะทิ ด้วย laser light scattering instrument (Coulter, LS 100Q, USA)

- ความคงตัวต่อการแยกชั้นครีม ด้วยการวัด creaming index (ดัดแปลงจาก Onsmaard และคณะ, 2005) เพื่อตรวจสอบระดับการแยกชั้นครีมที่ม่องเห็นได้ ทำได้โดยชั่งตัวอย่าง อิมลชันจำนวน 25 กรัม ใส่ในหลอดทดลองก้นแบน และปิดฝา ตั้งทิ้งไว้ที่อุณหภูมิห้องเป็นเวลา 24 ชั่วโมง อิมลชันจะแยกเป็นชั้นครีมชั้นนอก (cream) ที่ด้านบน และส่วนใส (serum) ที่ด้านล่าง ความคงตัวในการแยกชั้นครีมหาได้จากค่า creaming index (CI) ดังสมการ

$$CI (\%) = 100 \times (H_s / H_e)$$

เมื่อ H_s เป็นความสูงของส่วนใส และ H_e เป็นความสูงทั้งหมดของอิมลชัน



ภาพที่ 3 ขั้นตอนการศึกษาสภาพภาวะในการไฮโนเจนเชคท์ต่อสมบัติและความคงตัวของกะทิ

โดยค่า creaming index หรือ CI เป็นค่าที่บ่งบอกถึงความไม่คงตัวของ อิมลชัน จากลักษณะอนุภาคน้ำมันลอยตัวรวมกันอยู่ด้านบนซึ่งเรียกว่าชั้นครีม หากค่า CI มาก

แสดงว่าอิมลัชันมีความคงตัวน้อย คือมีอนุภาคครึ่งปเลี้ยงน้ำมันลอยตัวสะสมกันแน่นด้านบนทำให้มีส่วนใสแยกตัวอยู่ด้านล่างในปริมาณมาก ในทางกลับกันหากค่า CI น้อยแสดงว่าอิมลัชันมีความคงตัวมาก

- ความคงตัวต่อการแยกชั้นน้ำมัน ด้วยการวัด oiling off index (OI) เพื่อตรวจสอบระดับการแยกชั้นน้ำมันที่ม่องเห็นได้ ทำได้โดยชั่งตัวอย่างอิมลัชันจำนวน 25 กรัม ใส่ในหลอดทดลองก้นแบน แล้วปิดฝา ตั้งทิ้งไว้ที่อุณหภูมิห้องเป็นเวลา 24 ชั่วโมง แล้วจึงทำการวัดส่วนของน้ำมันใสที่แยกตัวอยู่ด้านบนของหลอดทดลอง ความคงตัวในการแยกชั้นน้ำมันหาได้ดังสมการ

$$OI (\%) = 100 \times (H_o/H_E)$$

เมื่อ H_o เป็นความสูงของส่วนน้ำมันใส และ H_E เป็นความสูงทั้งหมดของอิมลัชัน

- สำหรับตัวอย่างที่มีการตกตะกอนด้านล่างของหลอดทดลอง จะทำการวัดปริมาณตะกอน โดยการวัด precipitation index (PI) ดังสมการ

$$PI (\%) = 100 \times (H_p/H_E)$$

เมื่อ H_p เป็นความสูงของส่วนตะกอน และ H_E เป็นความสูงทั้งหมดของอิมลัชัน

- ความหนืดปรากฏ ด้วยเครื่องวัดความหนืด ที่อุณหภูมิ 25°C ด้วยหัววัดเบอร์ 1 และหัววัดเบอร์ 2 ที่ความเร็วรอบ 100 rpm เพื่อเปรียบเทียบกับค่าความหนืดของหัวกะทิและกะทิที่ผ่านการปรับไขมันกับตัวอย่างกะทิที่มีการเติมสารสเตเบิลайเซอร์

3.4.2.4 ทำการวิเคราะห์ข้อมูลเพื่อเลือกสภาวะในการโซโนจีโนเซนท์ระดับความดันและจำนวนรอบที่เหมาะสม

3.4.2.5 ทำการศึกษาผลของการใช้สารอิมลัชifyเออร์ (Tween 60 ความเข้มข้นร้อยละ 0.25- 1.0) ร่วมกับ CMC (ความเข้มข้นร้อยละ 0.6 โดยน้ำหนัก) ที่ระดับความดันและจำนวนรอบที่เหมาะสมจากข้อ 3.4.2.4 ต่อสมบัติและความคงตัวทางกายภาพของกะทิ โดยมีขั้นตอนการศึกษาเช่นเดียวกับข้อ 3.4.2.1-3.4.2.3

3.4.3 การศึกษาผลของการปริมาณสารอิมลัชifyเออร์ร่วมกับการโซโนจีโนเซนท์กะทิในระบบระบบการสเตอโรไลซ์และการแช่แข็ง-ละลาย

3.4.3.1 เตรียมตัวอย่างนำกะทิเช่นเดียวกับข้อ 3.4.2.1 และ 3.4.2.2 แต่ในระหว่างการพาสเจอไรซ์กะทิจะทำการเติมสารอิมลัชifyเออร์ ได้แก่ Tween 60 ที่ความเข้มข้นร้อยละ 0, 0.25, 0.5, 0.75 และ 1.0 โดยน้ำหนัก ก่อนเติมสาร CMC (ความเข้มข้นร้อยละ 0.6 โดยน้ำหนัก) ตามลำดับ โดยทำการทดลองเปรียบเทียบกับตัวอย่างกะทิควบคุมที่ไม่ได้เติมสารสเตเบิลайเซอร์

3.4.3.2 นำกระทิปผ่านการ โซโนจีไนซ์ ตามสภาวะที่เหมาะสมจากข้อ 3.4.2

3.4.3.3 แบ่งกระติแต่ละตัวอย่างเป็น 3 ส่วน (ส่วนละ 300 กรัม โดยประมาณ)

- ส่วนที่หนึ่งนำไปบรรจุขวดแก้วทุนความร้อนและผ่าเชือในหม้อนึ่งอัด

ความดันที่อุณหภูมิ 12°C เป็นเวลา 30 นาที

- ส่วนที่สองนำไปแช่แข็งที่อุณหภูมิ – 30°C เป็นเวลา 3 ชั่วโมง ก่อนนำมา

เก็บไว้ที่อุณหภูมิ – 18°C เป็นเวลา 7 วันแล้วนำมาละลายจนร้อนด้วยไมโครเวฟ (เลียนแบบการ

ละลายของผู้บริโภค) ที่กำลังไฟ 900 วัตต์ เป็นเวลา 5 นาที

- ส่วนที่สามเป็นตัวอย่างควบคุม คือไม่ผ่านการผ่าเชือและการแช่แข็ง โดย
เก็บรักษาที่อุณหภูมิห้อง ซึ่งจะมีการเติมโซเดียมเอไซด์ (sodium azide) ความเข้มข้นร้อยละ 0.02
โดยน้ำหนัก เพื่อยับยั้งการเจริญของจุลินทรีย์

3.4.3.4 ทำการวิเคราะห์ดังต่อไปนี้

- ความคงตัวต่อการแยกชั้นครีม ด้วยการวัด CI และความคงตัวต่อการแยก
ชั้นน้ำมัน ด้วยการวัด OI และปริมาณตะกอน ด้วยการวัด PI (ตามวิธีในข้อ 3.4.2.3) ที่ระยะเวลาการ
เก็บรักษา 1, 7 และ 30 วัน สำหรับตัวอย่างที่ผ่านการสเตอริไลซ์ และที่ระยะเวลาการเก็บรักษา¹
หลังจากการละลาย 1 วันสำหรับตัวอย่างที่ผ่านการแช่แข็ง-ละลาย

- พีอีช (pH) ด้วย pH meter โดยนำส่วนของเหลวมาเทวิ่งแยกเฟสน้ำและ
น้ำมันออกจากกันด้วยเครื่องหมุนเหวี่ยงแบบความคุณอุณหภูมิ โดยใช้ความเร็ว 5,500 xg ที่อุณหภูมิ
25°C เป็นเวลา 30 นาที แล้วจึงทำการวัด pH ของเฟสน้ำ

- ความหนาแน่นของเฟสน้ำและน้ำมัน โดยใช้ขวดหาความถ่วงจำเพาะ
(pcnometer) ที่อุณหภูมิ 30°C

- ปริมาณถ้าและเกลือแร่ของเฟสน้ำ โดยการเผาหาปริมาณถ้า และ²
วิเคราะห์ปริมาณเกลือแร่ด้วยเครื่อง inductively coupled plasma spectrometer (ICP) (ICP-OES,
VISTA-PRO, USA) ตามรายละเอียดในภาคผนวก ก

3.4.4 การศึกษาผลของปริมาณสารอิมัลซิฟายเออร์ร่วมกับการ โซโนจีไนซ์ ในระบบ
อาหารที่มีกระติเป็นส่วนผสมแบบพีอีชต่ำต่อสมบัติและความคงตัวทางกายภาพของกระติ

3.4.4.1 เตรียมตัวอย่างน้ำกะทิเช่นเดียวกับข้อ 3.4.3.1 และ 3.4.3.2

3.4.4.2 นำกระติแต่ละตัวอย่าง ไปเตรียมเป็นต้มยำไก่น้ำข้นและต้มยำไก่ ตาม
รายละเอียดในภาคผนวก ข

3.4.4.3 แบ่งต้มยำไก่น้ำข้นและต้มยำไก่ แต่ละตัวอย่างเป็น 3 ส่วน (ส่วนละ 300
กรัม โดยประมาณ)

- ส่วนที่หนึ่งนำไปบรรจุขวดแก้วทนความร้อนและผ่าเชือในหม้อนึ่งอัดความดันที่อุณหภูมิ 121°C เป็นเวลา 30 นาที
- ส่วนที่สองนำไปแข็งที่อุณหภูมิ -30°C เป็นเวลา 3 ชั่วโมง ก่อนนำมาเก็บไว้ที่อุณหภูมิ -18°C เป็นเวลา 7 วันแล้วนำมาละลายจนร้อนด้วยไมโครเวฟ (เลียนแบบการละลายของผู้บริโภค) ที่กำลังไฟ 900 วัตต์ เป็นเวลา 5 นาที
 - ส่วนที่สามเป็นตัวอย่างควบคุม คือไม่ผ่านการผ่าเชือและการแข็ง เชิง 3.4.4.4 นำต้มยำไก่น้ำข้นและต้มข่าไก่ มากรองเอาเฉพาะส่วนที่เป็นของเหลวไปทำการวิเคราะห์ ตามวิธีเข่นเดียวกันกับในข้อที่ 3.4.3.4
- 3.4.5 การศึกษาผลของปริมาณสารอินทริพายออร์ร่วมกับการโซโนเจนเซ่ในระบบอาหารที่มีกะทิเป็นส่วนผสมแบบพิเศษสูงต่อสมบัติและความคงตัวทางกายภาพของกะทิ
 - มีขั้นตอนและวิธีการในการศึกษาเข่นเดียวกันกับกรณีของต้มยำไก่น้ำข้นและต้มข่าไก่ในข้อ 3.4.4 แต่เตรียมเป็นแกงเผ็ดไก่และแกงเขียวหวานไก่
- 3.4.6 การศึกษาผลของปริมาณสารอินทริพายออร์ร่วมกับการโซโนเจนเซ่ในระบบอาหารที่มีกะทิเป็นส่วนผสมและความเข้มข้นน้ำตาลสูงต่อสมบัติและความคงตัวทางกายภาพของกะทิ
 - มีขั้นตอนและวิธีการในการศึกษาเข่นเดียวกันกับกรณีของต้มยำไก่น้ำข้นและต้มข่าไก่ในข้อ 3.4.4 แต่เตรียมเป็นกุ้งเผาบัวชี

3.5 การวางแผนการทดลองและวิเคราะห์ผลทางสถิติ

ในการทดลองนี้ใช้แผนการทดลองแบบ RCBD (Random Complete Block Design) ทำการทดลอง 2 ชั้น (replication) โดย block คือชั้นของการทดลอง และนำข้อมูลที่ได้มาวิเคราะห์ความแปรปรวน (ANOVA) และวิเคราะห์ความแตกต่างของค่าเฉลี่ยด้วย Duncan's new multiple range test (DMRT) ที่ระดับความเชื่อมั่นร้อยละ 95 ($\alpha=0.05$)

3.6 สถานที่ทำการทดลอง

ห้องปฏิบัติการเคมีอาหาร ภาควิชาเทคโนโลยีอาหาร คณะวิศวกรรมศาสตร์และเทคโนโลยีอุตสาหกรรม มหาวิทยาลัยศิลปากร วิทยาเขตพระราชวังสนามจันทร์ จังหวัดกรุงเทพมหานคร

โรงปฐมบัติการ ภาควิชาเทคโนโลยีอาหาร คณะวิศวกรรมศาสตร์และเทคโนโลยี-
อุตสาหกรรม มหาวิทยาลัยศิลปากร วิทยาเขตพระราชวังสนามจันทร์ จังหวัดนครปฐม
ห้องปฐมบัติการ ภาควิชาวิทยาการและวิศวกรรมวัสดุ คณะวิศวกรรมศาสตร์และ
เทคโนโลยีอุตสาหกรรม มหาวิทยาลัยศิลปากร วิทยาเขตพระราชวังสนามจันทร์ จังหวัดนครปฐม
ศูนย์เครื่องมือวิจัยวิทยาศาสตร์และเทคโนโลยี คณะวิทยาศาสตร์ มหาวิทยาลัยศิลปากร
วิทยาเขตพระราชวังสนามจันทร์ จังหวัดนครปฐม

บทที่ 4

ผลการทดลองและการวิจารณ์

4.1 องค์ประกอบทางเคมีของกะทิและโปรตีนกะทิ

จากผลการวิเคราะห์องค์ประกอบโดยประมาณ (ตารางที่ 5) จะเห็นได้ว่าองค์ประกอบความชื้น โปรตีน ไขมัน เถ้าและการ์บอไไฮเดรตในกะทิที่คั้นแบบไม่เติมน้ำมีค่าใกล้เคียงกับที่มีการรายงานมาก่อน คือ องค์ประกอบในน้ำกะทิที่คั้นแบบไม่เติมน้ำมีปริมาณความชื้นร้อยละ 50.00-54.10 โปรตีนร้อยละ 2.80-4.40 ไขมันร้อยละ 32.20-40.00 เถ้าร้อยละ 1.00-1.50 และการ์บอไไฮเดรตร้อยละ 5.50-8.30 (Nathaneal, 1954; Popper, Notter และ Nurry , 1966; Jaganathan, 1970; Anon, 1984) ทั้งนี้คุณภาพและปริมาณองค์ประกอบของน้ำกะทิขึ้นอยู่กับปัจจัยหลายประการ ได้แก่ ความแห้ง-อ่อนของมะพร้าว สภาวะแวดล้อมในการเจริญเติบโต และสภาวะที่ใช้ในการแปรรูป เช่น เครื่องมือและวิธีการสกัด เป็นต้น ส่วนค่า pH ของน้ำกะทิ อยู่ในช่วง 5.95-6.12 สอดคล้องกับค่าที่มีการรายงานมาก่อน คือ น้ำกะทิมีค่า pH อยู่ระหว่าง 5.8-6.39 โดยวัดที่ช่วงอุณหภูมิ 10-80°C (Buccat, Gonzalez และ Manalac, 1973)

ตารางที่ 5 องค์ประกอบโดยประมาณ ของกะทิ ส่วนครีม ส่วนหางกะทิ และส่วนตะกอน ที่ไม่ละลายในกะทิ

ตัวอย่าง	ร้อยละ โดยน้ำหนักเปียก ¹⁾				
	ความชื้น	โปรตีน ²⁾	ไขมัน	เถ้า	การ์บอไไฮเดรต ³⁾
กะทิ	55.49±3.74	3.14±0.18	37.94±3.08	1.08±0.20	2.36±0.68
ส่วนครีม	21.75±4.62	1.19±0.04	73.63±0.76	0.22±0.04	3.22±3.78
ส่วนหางกะทิ	91.92±0.52	2.39±0.04	0.25±0.01	0.78±0.10	4.67±0.37
ส่วนตะกอน	51.41±1.60	36.24±2.26	3.30±0.13	7.32±0.25	1.74±1.03

¹⁾ ได้จากการวิเคราะห์ ค่าเฉลี่ย±ส่วนเบี่ยงเบนมาตรฐาน จากการทดลอง 2 ชุด

²⁾ ใช้ค่า nitrogen conversion factor เป็นกับ 6.25

³⁾ ได้จากการคำนวณ การ์บอไไฮเดรต = 100 - (ความชื้น+ไขมัน+โปรตีน+เถ้า)

เมื่อทำการเหวี่ยงแยกน้ำกะทิแล้ว น้ำกะทิจะแยกออกเป็น 3 ส่วน คือ ส่วนครีม (coconut cream) ส่วนหางกะทิ (coconut skim milk) และส่วนตะกอนที่ไม่ละลาย (insoluble fraction) คิดเป็นสัดส่วนร้อยละ 27.24 ± 3.01 56.58 ± 2.41 และ 16.19 ± 0.59 ตามลำดับ เมื่อนำมาวิเคราะห์ปริมาณโปรตีนพบว่า โปรตีนจะอยู่ในส่วนหางกะทิสูงกว่าในหัวกะทิหรือส่วนครีม โดยมีโปรตีนร้อยละ 2.39 และ 1.19 ตามลำดับ จะเห็นได้ว่ามีปริมาณโปรตีนในส่วนครีมอยู่เพียงเล็กน้อย ซึ่งก็น่าจะมีผลให้โปรตีนที่คุดชับรองครีอปเล็ทน้ำมันมีน้อยด้วย จึงเป็นเหตุผลที่ทำให้กะทิไม่สามารถคงตัวอยู่ได้เนื่องจากมีปริมาณไขมันสูงเมื่อเทียบกับปริมาณโปรตีน ซึ่งไม่เพียงพอในการป้องกันการรวมตัวของครีอปเล็ทน้ำมันไว้ได้ (Monera และ del Rosario, 1982) ส่วนหางกะทิมีปริมาณไขมันต่ำมาก และดังว่าหางกะทิประกอบด้วยวัฏภาน้ำ (aqueous phase) เป็นส่วนใหญ่และมีส่วนของวัฏภาน้ำมัน (oil phase) อยู่น้อยมาก นอกจากนี้ยังพบว่ามีปริมาณโปรตีนในส่วนตะกอนที่ไม่ละลายค่อนข้างสูง (ร้อยละ 36.24) ต่อคลอส์องก์ราเจนของ Onsaard (2008) พบว่ามีปริมาณโปรตีนในส่วนหางกะทิ หัวกะทิ และส่วนตะกอนที่ไม่ละลายร้อยละ 1.28, 0.83 และ 43.41 ตามลำดับ

ตารางที่ 6 ปริมาณโปรตีนโดยประมาณ (ร้อยละ โดยน้ำหนักเปียก) ของโปรตีนส่วนต่าง ๆ ที่แยกได้จากกะทิ

Protein fractions	ปริมาณโปรตีน ¹⁾
โปรตีนที่ไม่ละลายในกะทิ (IP)	77.67 ± 2.34
โปรตีนที่คุดชับรองผิวดรีอปเล็ท (CCP)	30.07 ± 4.09
โปรตีนที่ละลายในหางกะทิ (CSP)	43.71 ± 1.27
โปรตีนที่ไม่ละลายในหางกะทิ (ISP)	96.11 ± 3.61

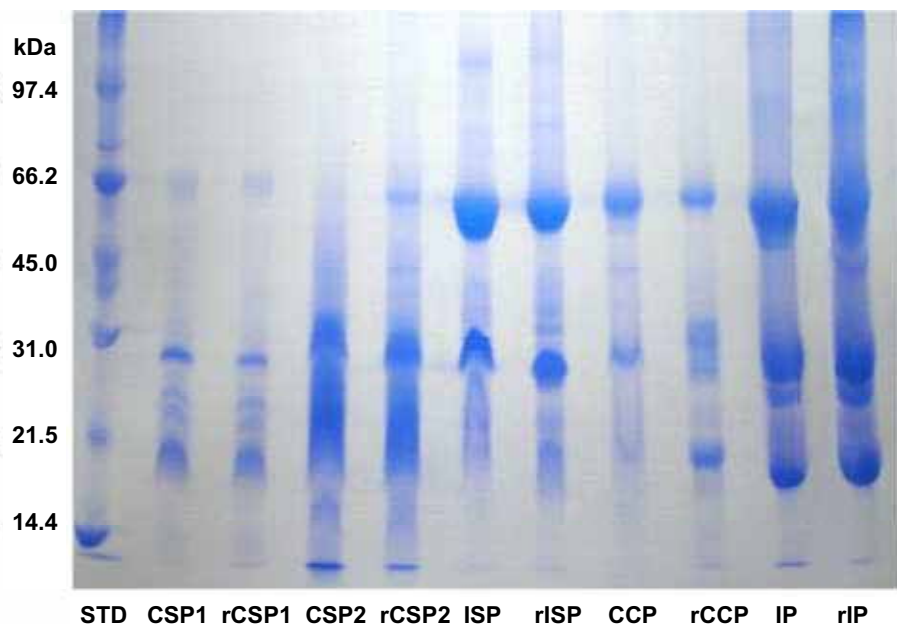
¹⁾ ได้จากการวิเคราะห์ค่าเฉลี่ย±ส่วนเบี่ยงเบนมาตรฐานจากการทดลอง 2 ชั้้า

จากการผลการวิเคราะห์ปริมาณโปรตีนในส่วนที่แยกได้จากกะทิ 4 ส่วน (ตารางที่ 6) คือ โปรตีนที่ไม่ละลายในกะทิ (IP) ซึ่งแยกมาจาก การเหวี่ยงน้ำกะทิ โปรตีนที่คุดชับรองผิวดรีอปเล็ท (CCP) ซึ่งแยกได้จากการแยกชั้้น-ละลายหัวกะทิ โปรตีนที่ละลายในหางกะทิ (CSP) ซึ่งแยกได้จากการคุณภาพหางกะทิ และ โปรตีนที่ไม่ละลายในหางกะทิ (ISP) ซึ่งแยกได้โดยการกรองหางกะทิที่ผ่านการคุณภาพหางกะทิ และ โปรตีนที่ไม่ละลายในหางกะทิ (ISP) ซึ่งแยกได้โดยการกรองหางกะทิที่ผ่านการคุณภาพหางกะทิ จะเห็นได้ว่า โปรตีนที่แยกได้ยังมีความบริสุทธิ์ต่ำ เนื่องจากวิธีการที่ใช้ในการแยกส่วนโปรตีนเป็นวิธีทางกายภาพ เพื่อต้องการที่จะรักษาสภาพธรรมชาติของโปรตีนไว้ให้มากที่สุด ในตัวอย่าง CCP ยังมีปริมาณไขมันปนค่อนข้างสูง เนื่องจากไม่สามารถใช้ความร้อนสูง

ในการทำให้มัลชันในส่วนครีมแทกออก สุคนธ์ชื่น (2542) รายงานว่าต้องใช้ความร้อนสูงกว่า 80°C จึงจะสามารถแยกน้ำมันและโปรตีนออกได้สมบูรณ์ และนอกจากนี้ในการทดลองไม่ได้ใช้ตัวทำละลายสักด้วยมัน เช่น เอเกเซนเพื่อกำจัดไขมันส่วนที่เหลือออกด้วย ส่วน CSP อาจมีการนำไปไชเครตและไขมันปนอยู่สูง เนื่องจากสารเหล่านี้ในหางกะทิมีขนาดโมเลกุลใหญ่ไม่สามารถผ่านถุงไอลิซิสที่มี MWCO 2,000 ค่าดั้น ออกໄປได้

4.2 องค์ประกอบและขนาดโมเลกุลของโปรตีนกะทิ

ลักษณะ SDS-PAGE ของโปรตีนกะทิ (ภาพที่ 4) แสดงให้เห็นว่าโปรตีนกะทิมีขนาดโมเลกุล (MW) โดยส่วนใหญ่อยู่ในช่วง 14.4-66.2 กิโลดาลตัน (kDa) ในสภาวะไมรีดิวชั่นโปรตีนที่ละลายในหางกะทิทั้งก่อนและหลังการทำแท้ (CSP1 และ CSP2 ตามลำดับ) แสดงให้เห็นandan โปรตีนหลักซึ่งมีขนาดโมเลกุลอยู่ในช่วง 14.4-31.0 kDa ทึ้งในตัวอย่างก่อนและหลังการทำแท้แต่ CSP2 จะแสดงแถบนำหนักโมเลกุลมากกว่า 31.0 kDa เส้นน้อย ทึ้งนี้อาจเกิดจากการทำแท้



ภาพที่ 4 ลักษณะ SDS-PAGE ของโปรตีนกะทิ; CSP1 และ CSP2 : โปรตีนที่ละลายในหางกะทิก่อนและหลังการทำแท้, ISP: โปรตีนที่ไม่ละลายในหางกะทิ, CCP: โปรตีนที่คุดซับรองผิวครื้อเปลือก, IP: โปรตีนที่ไม่ละลายในกะทิ และ STD: โปรตีนมาตรฐานที่ทราบนำหนักโมเลกุล ส่วนซึ่งมีอักษร “r” นำหน้าคือโปรตีนกะทิที่ถูกเรดิวชั่น

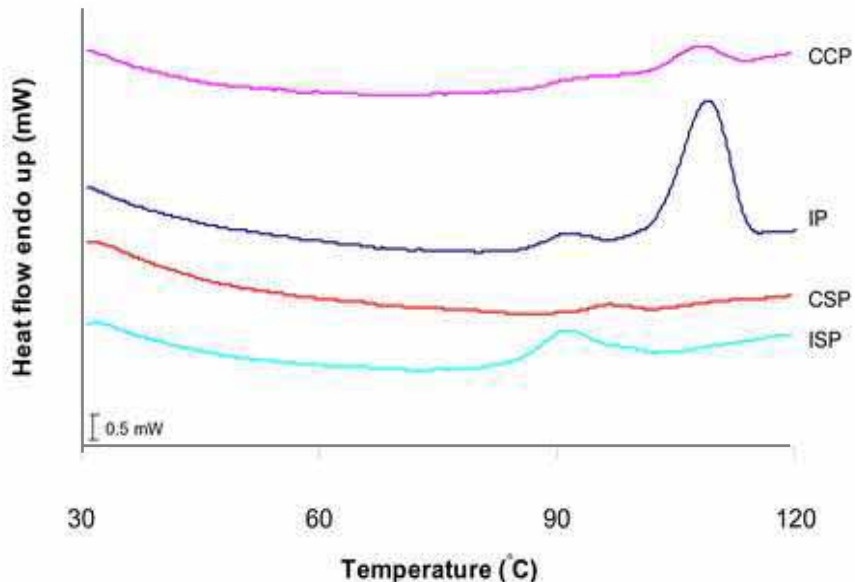
แบบสุญญาการอาจทำให้โปรตีนบางส่วนเกิดการรวมกลุ่มกัน จากการทดลองพบว่า ISP, CCP และ IP ที่ผ่านการทำแห้งมีน้ำหนักโมเลกุลส่วนใหญ่อยู่ในช่วง 14.4-66.2 kDa ซึ่งกว้างกว่า CSP (14.4-32.0 kDa) ทั้งนี้เมื่อพิจารณาประกอบกับรายงานของ Onsaard (2008) ที่แสดงให้เห็นว่า ISP, CCP และ IP มีโปรตีนกลูเตลิน (glutelin) ซึ่งมีคุณสมบัติไม่ละลายน้ำแต่จะละลายได้ในสารละลายที่มีความเป็นกรดหรือด่างเจือจาง (Osborne, 1924) เป็นองค์ประกอบในปริมาณที่สูง (ร้อยละ 75.4, 74.8 และ 63.0 ตามลำดับ) รวมทั้งมีขนาดโมเลกุลค่อนข้างใหญ่ อยู่ในช่วง 14.4-100 kDa (Kwon, Park, และ Rhee, 1996 และ Onsaard, 2008) ทำให้โปรตีนเหล่านี้มีคุณสมบัติไม่ละลายน้ำหรือละลายได้น้อย จึงสามารถเกิดการรวมกลุ่มกันและตกตะกอนได้ง่าย

ส่วนในสภาวะรีดิวช์ สารละลายตัวอย่างโปรตีนจะถูกเติมสารรีดิวช์ (reducing agent) คือ ไดไฮดรอไทออล (DTT) ซึ่งจะทำให้โมเลกุลโปรตีนที่มีพันธะไดซัลไฟต์เป็นองค์ประกอบถูกรีดิวช์ได้เป็นหมู่ชัลฟ์ไ媳ดริล (sulphydryl group) จากผลการทดลองจะเห็นได้ว่าแทนโปรตีนยังคงมีลักษณะเดียวกันกับแบบโปรตีนในสภาวะไมรีดิวช์ แต่ในตัวอย่าง rISP, rCCP และ rIP จะปรากฏแบบของโปรตีนรองที่มีขนาดโมเลกุลเล็กเพิ่มขึ้นและแทนโปรตีนหลักที่มีขนาดโมเลกุลใหญ่จะลดนั่นแสดงถึงการมีพันธะไดซัลไฟต์บางส่วนอยู่ในโมเลกุลโปรตีนกะทิ ซึ่งสอดคล้องกับรายงานของ Onsaard (2008)

4.3 การเปลี่ยนแปลงเชิงความร้อนของโปรตีนกะทิ

ผลการศึกษาการเปลี่ยนแปลงเชิงความร้อนของโปรตีนกะทิในช่วงอุณหภูมิ 25-120°C แสดงดังภาพที่ 5 และตารางที่ 7 จะเห็นได้ว่า IP และ CCP มีพิคการเสียสภาพธรรมชาติ 2 พีค โดย IP มีอุณหภูมิการเสียสภาพธรรมชาติ (denature temperature, T_d) ที่ยอดพีคเท่ากับ 91.03°C และ 109.04°C มีค่าเอนทาลปี (ΔH) ในการเสียสภาพธรรมชาติเป็น 0.83 และ 18.21 จูลต่อกรัมโปรตีน ตามลำดับ ส่วน CCP มี T_d ที่ยอดพีคเท่ากับ 90.42°C และ 107.48°C มีค่าเอนทาลปี 0.47 และ 2.72 จูลต่อกรัมโปรตีนตามลำดับ CSP มี T_d ที่ยอดพีคเท่ากับ 96.36°C และมีค่าเอนทาลปี 0.42 จูลต่อกรัมโปรตีน ส่วน ISP มีพีคในช่วงกว้าง ซึ่งมี T_d ที่ยอดพีคเท่ากับ 91.19°C โดยมีค่าเอนทาลปี 12.72 จูลต่อกรัมโปรตีน แสดงให้เห็นว่าโปรตีนกะทิจะเกิดการเสียสภาพธรรมชาติที่อุณหภูมิประมาณ 90°C แต่อย่างไรก็ตามที่อุณหภูมิประมาณ 84°C โปรตีนกะทิจะเริ่มเกิดการเสียสภาพธรรมชาติโดยอุณหภูมิที่เริ่มเกิดการเสียสภาพธรรมชาติ (onset) ของ IP, CCP, CSP และ ISP คือ 87.71, 86.88, 93.08 และ 84.40°C ตามลำดับ นั่นคือโปรตีนจะสูญเสียคุณสมบัติต่างๆ อย่างถาวร เช่น การละลายคุณสมบัติความเป็นอมัลซิไฟเออร์ ทำให้กะทิเกิดการแยกชั้นหรือแตกมันนั่นเอง ซึ่งค่า T_d มีความ

ใกล้เคียงกับรายงานของ Kwon, Park, และ Rhee, 1996 โดยพบว่าโปรตีนอัลบูมินและโกลบูลินที่สกัดจากเนื้อมะพร้าวปราศจากไขมัน (defatted coconut flour) ซึ่งเป็นโปรตีนส่วนใหญ่ในกะทิ (มีปริมาณอัลบูมินร้อยละ 21.0 และโกลบูลินร้อยละ 40.1) เกิดการเสียสภาพที่อุณหภูมิประมาณ 94°C



ภาพที่ 5 เทอร์โมแกรมของโปรตีนกะทิ; CCP: โปรตีนที่คุณซับรอบผิวครึ่งปลีก, IP: โปรตีนที่ไม่ละลายในกะทิ, CSP: โปรตีนที่ละลายในหางกะทิ และ ISP: โปรตีนที่ไม่ละลายในหางกะทิ

ตารางที่ 7 อุณหภูมิการเสียสภาพธรรมชาติ (T_d) ที่ยอดพีคและค่าเออนทาลปี (ΔH) ของ CCP, IP, ISP และ CSP

Protein fractions	Peak No.	$T_d^{1)} (\text{ }^{\circ}\text{C})$	$\Delta H^{1)} (\text{J/g})$
CCP	1	$90.42 \pm 0.62^{\text{d}}$	$0.47 \pm 0.08^{\text{c}}$
	2	$107.48 \pm 0.34^{\text{b}}$	$2.72 \pm 0.41^{\text{c}}$
IP	1	$91.03 \pm 0.00^{\text{d}}$	$0.83 \pm 0.43^{\text{c}}$
	2	$109.04 \pm 0.00^{\text{a}}$	$18.21 \pm 1.13^{\text{a}}$
CSP	1	$96.36 \pm 0.16^{\text{c}}$	$0.42 \pm 0.05^{\text{c}}$
ISP	1	$91.19 \pm 0.33^{\text{d}}$	$12.72 \pm 1.79^{\text{b}}$

¹⁾ ได้จากการวิเคราะห์ค่าเฉลี่ย \pm ส่วนเบี่ยงบานมาตรฐานจากการทดลอง 2 ชุด

a, b, ... ตัวอักษรกำกับที่เหมือนกันตามคอลัมน์แสดงถึงไม่มีความแตกต่างอย่างมีนัยสำคัญทางสถิติ ($P > 0.05$)

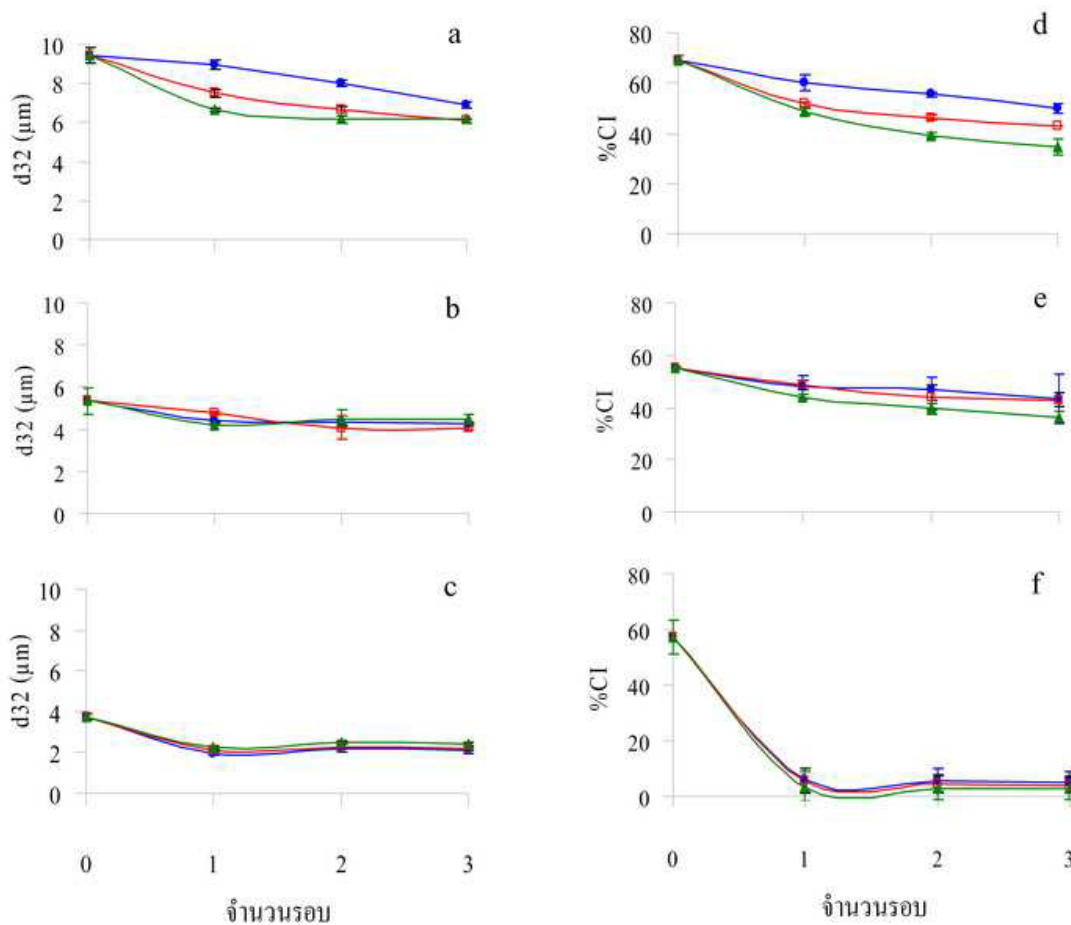
และที่อุณหภูมิช่วง 92-112°C ตามลำดับ ส่วน Onsaard (2008) รายงานค่า T_d ของโปรตีนกะทิในส่วน IP, CCP, CSP และ ISP ซึ่งมีค่าต่ำกว่าผลที่ได้จากการทดลองเด็กน้อยคืออยู่ในช่วง 81.40-106.45°C ทั้งนี้อาจเนื่องมาจากการแยกลส่วนโปรตีนที่แตกต่างกัน เช่น ในการทดลองนี้ไม่ได้ใช้ตัวทำละลายสักด้วยมัน เช่น เอกาเซน เพื่อกำจัดไขมันที่เหลือในส่วนของโปรตีนออก และใช้การทำแห้ง โปรตีนแบบสูญญากาศ ซึ่งอาจส่งผลต่อโครงสร้างและการจับกันของโมเลกุลโปรตีน

4.4 ผลของสภาวะในการไอโโนเจนซ์ต่อสมบัติและความคงตัวทางกายภาพของกะทิ

จากผลการทดลองเพื่อศึกษาสภาวะในการไอโโนเจนซ์กะทิ ในกรณีที่ไม่เติมสารสเตบิไลเซอร์ จะเห็นได้ว่าระดับความดันและจำนวนรอบในการไอโโนเจนซ์ส่งผลต่อขนาดอนุภาคครึ่งปเลี้ยงเฉลี่ย (d_{32}) และความคงตัวต่อการแยกชั้นครีมของกะทิอย่างมีนัยสำคัญ ($P<0.05$) (ภาพที่ 6a และ 6d และตารางผนวกที่ 9 และ 10) โดยกะทิที่ผ่านการไอโโนเจนซ์ที่ระดับความดันสูงขึ้นจะทำให้ขนาดครึ่งปเลี้ยงมีขนาดเล็กลง และมีความคงตัวต่อการแยกชั้นครีมมากขึ้น และเมื่อพิจารณาจำนวนรอบที่เพิ่มขึ้นในระดับความดันเดียวกันก็ส่งผลในลักษณะเดียวกัน เนื่องจากความดันที่เพิ่มขึ้นเป็นการให้พลังงานและแรงเนื้อน้ำทำให้ครึ่งปเลี้ยงแตกออก มีขนาดเล็กลง ระบบอิมัลชันที่มีครึ่งปเลี้ยงขนาดเล็กจะเกิดการแยกชั้นครีมได้ช้าช่องชินบายได้ตามสมการของสโตกส์ (Stokes' equation) (McClement, 2005) ส่วนในกรณีที่มีการเติม CMC (ภาพที่ 6b และ 6e และตารางผนวกที่ 16 และ 17) หรือ Tween 60 (ภาพที่ 6c และ 6f และตารางผนวกที่ 16 และ 17) ร่วมกับการไอโโนเจนซ์ พบร่วมกับการลดขนาดของอนุภาคครึ่งปเลี้ยงที่ระดับความดันและจำนวนรอบในการไอโโนเจนซ์ที่เพิ่มขึ้น ไม่มีความแตกต่างกันอย่างมีนัยสำคัญ ($P>0.05$) แต่เมื่อพิจารณาความคงตัวต่อการแยกชั้นครีมจะเห็นได้ว่ากะทิที่ผ่านการไอโโนเจนซ์ที่ระดับความดัน 23/4 MPa มีความคงตัวต่อการแยกชั้นครีมมากที่สุด โดยไม่มีความแตกต่างอย่างมีนัยสำคัญเมื่อเพิ่มจำนวนรอบในการไอโโนเจนซ์ 1-3 รอบ ($P>0.05$) และมีความคงตัวไม่แตกต่างกันกับกะทิที่ผ่านการไอโโนเจนซ์ที่ระดับความดัน 11/4 MPa จำนวน 3 รอบ และกะทิที่ผ่านการไอโโนเจนซ์กะทิที่ระดับความดัน 17/4 MPa จำนวน 2 และ 3 รอบ

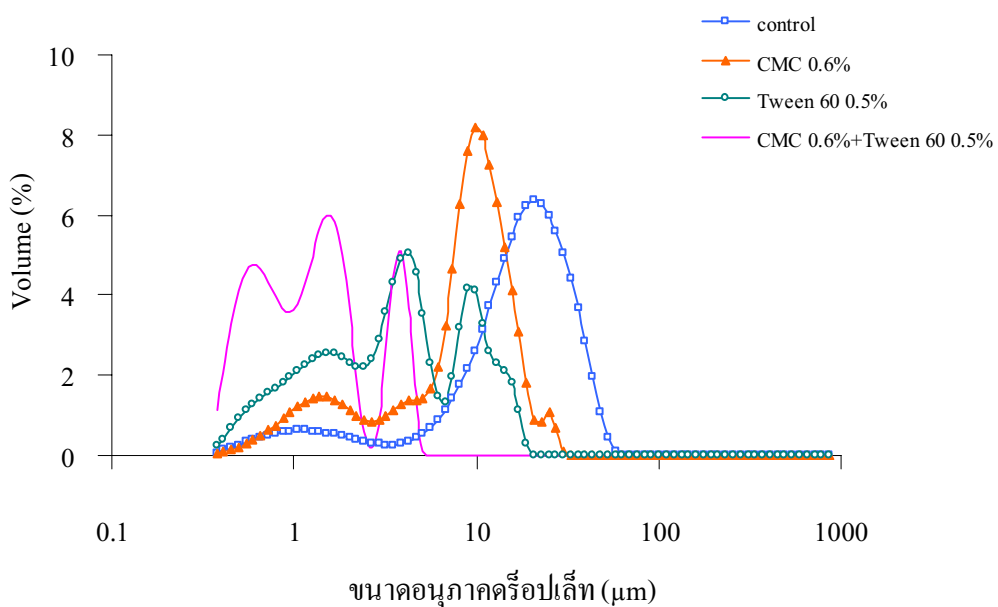
อย่างไรก็ตามเมื่อเปรียบเทียบสภาวะในการไอโโนเจนซ์ระหว่างตัวอย่างควบคุมและตัวอย่างที่เติมสารสเตบิไลเซอร์ จะเห็นได้ว่ากะทิที่ผ่านการไอโโนเจนซ์ร่วมกับ CMC หรือ Tween 60 จะมีขนาดอนุภาคครึ่งปเลี้ยงเฉลี่ยเล็กกว่าและสัดส่วนของอนุภาคครึ่งปเลี้ยงขนาดเล็กที่มากกว่าโดยการใช้ Tween 60 จะทำให้ได้ขนาดครึ่งปเลี้ยงที่เล็กกว่าการใช้ CMC (ภาพที่ 6 a-c และ 7) เนื่องจาก Tween 60 ซึ่งเป็นสารอิมัลซิฟายเออร์ที่มีโมเลกุลขนาดเล็กสามารถหุ้มรอบผิวครึ่งปเลี้ยงที่เกิดขึ้นใหม่ในระหว่างการไอโโนเจนซ์ได้อย่างรวดเร็ว จึงช่วยลดแรงตึงผิวระหว่างวัสดุกาน้ำและ

น้ำมัน เกิดเป็นฟิล์มป้องกันการเกาะกลุ่มหรือรวมตัวกันของครีอปเลิท ได้ในระหว่างการเก็บรักษา ส่วน CMC มีบทบาทเป็นสารเพิ่มความข้นหนืดให้แก่ส่วนต่อเนื่องของระบบอิมัลชันชนิดน้ำมันในน้ำ (Becher, 1965) และสามารถเกิดเป็นฟิล์มที่แข็งแรงระหว่างผิวของหยดน้ำมันและน้ำได้ (Sharma, 1981) จึงช่วยชะลอการเคลื่อนที่ของครีอปเลิทและป้องกันไม่ให้ครีอปเลิทเข้ามาชนหรือรวมตัวกันเป็นอนุภาคขนาดใหญ่ได้ในระยะเวลาหนึ่ง (Tangsuphoom และ Coupland, 2008) แต่อย่างไรก็ตามประสิทธิภาพของ CMC ใน การเข้าหุ้นรองบดครีอปเลิทยังต่ำกว่า Tween 60 ซึ่งเป็นสารเซอร์เฟกแทนต์ (surfactant) อยู่มาก ส่วนกะทิที่ผ่านการโซโนมิจีไนซ์ (ภาพที่ 8 b-d, f-h และ j-l) มีขนาดครีอปเลิทเล็กลงเมื่อเทียบกับกะทิที่ไม่ผ่านการโซโนมิจีไนซ์ (ภาพที่ 8a, 8e และ 8i) และ

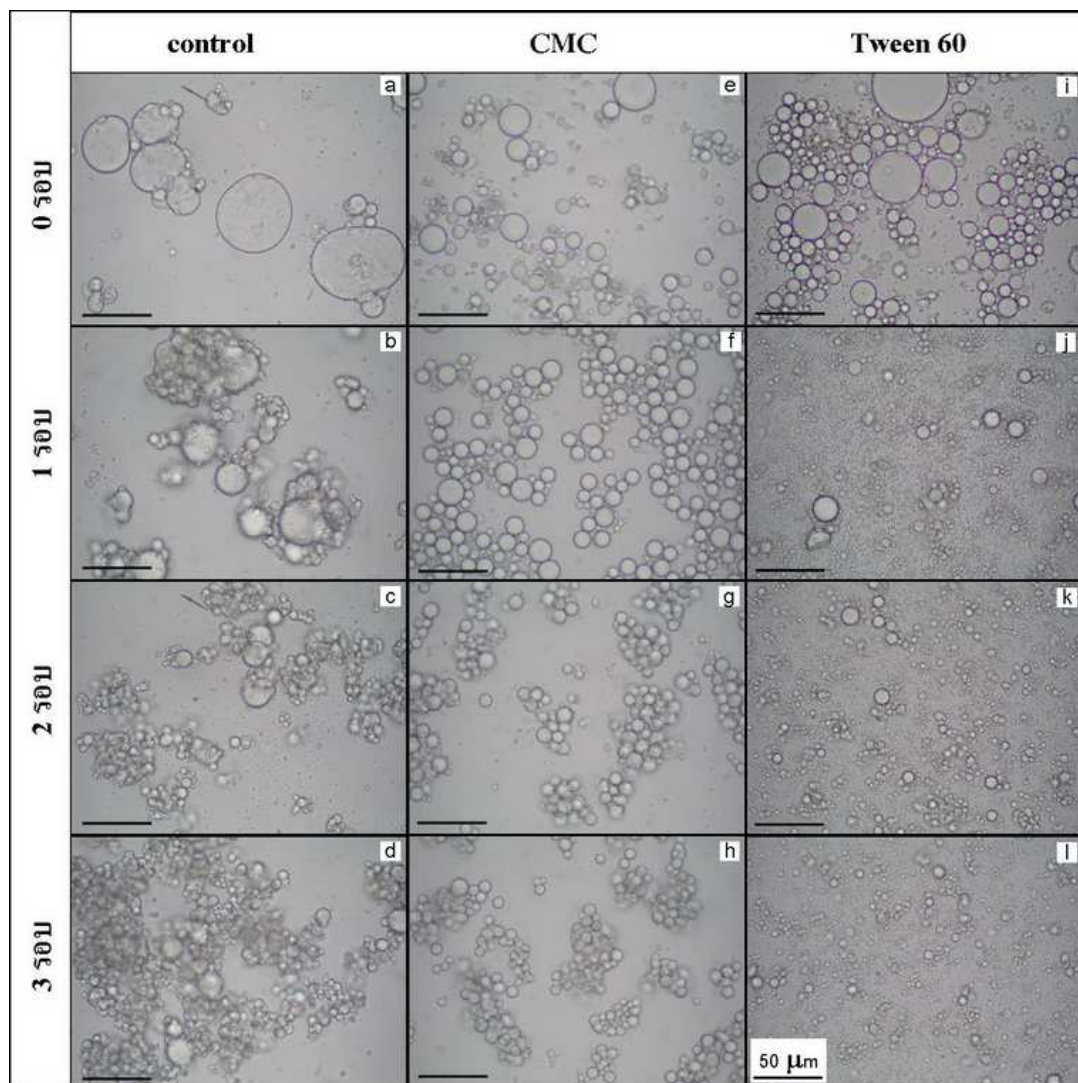


ภาพที่ 6 ผลของสภาวะในการโซโนมิจีนซ์ต่อขนาดครีอปเลิทเฉลี่ย (d_{32}) และความคงตัวต่อการแยกชั้นครีม (%CI) ของกะทิในตัวอย่างที่ไม่เติมสารสเตบิไลเซอร์ (a, d) ตัวอย่างที่เติม CMC (b, e) และเติม Tween 60 (c, f) ที่ผ่านการโซโนมิจีนซ์ที่ความดัน 11/4 (●) 17/4 (□) และ 23/4 MPa (▲)

เมื่อเพิ่มจำนวนรอบในการไฮโนเจนซ์ จะส่งผลให้ครีอปเล็ทนำมันมีขนาดเล็กลงและมีขนาดอนุภาคสม่ำเสมอขึ้น แต่จะเกิดการเกาะกลุ่มกัน (flocculation) ของครีอปเล็ทน้ำมันอย่างรวดเร็วเนื่องจากการไฮโนเจนซ์ทำให้เกิดครีอปเล็ทขนาดเล็กจำนวนมากขึ้น ซึ่งเป็นการเพิ่มพื้นที่ผิวสัมผัสของนำมันโดยที่ในขณะที่มีปริมาณโปรตีนอยู่ไม่มากเพียงพอในการหุ้มครีอปเล็ทที่เกิดขึ้นใหม่ (del Rosario และ Punzalan, 1997) จึงทำให้หนึ่งโมเลกุลของโปรตีนที่เคยจับอยู่กับครีอปเล็ทหนึ่งต้องจับกับอีกครีอปเล็ทพร้อมๆ กัน นำไปสู่การเกิดการรวมกลุ่มเชื่อมกันเป็นสาย (bridging flocculation) (McClement, 2005) ซึ่งจะส่งผลต่อความหนืดและความคงตัวของอิมลัชันได้โดยทั่วไปแล้วการเกิดเกาะกลุ่มกันของครีอปเล็ท (flocculation) จะทำให้เกิดการแยกชั้นครีมได้เร็วขึ้น (Tangsuphoom และ Coupland, 2008) แต่อย่างไรก็ตามอาจทำให้เกิดการแยกชั้นครีมชั่วลงได้เนื่องจากความแตกต่างของความหนาแน่นระหว่างกลุ่มครีอปเล็ทน้ำมันกับวัสดุภาคต่อเนื่องอาจจะน้อยกว่าความแตกต่างระหว่างความหนาแน่นครีอปเล็ทเดียวกับวัสดุภาคต่อเนื่องได้ เพราะการเกาะกลุ่มของครีอปเล็ทจำนวนมากสามารถเกิดการเชื่อมต่อ กันเป็นสายและจับครีอปเล็ทไว้ภายในโครงสร้างร่างแห่นั้น (Dickinson, Golding และ Povey, 1997)



ภาพที่ 7 ผลของการเพิ่มจำนวนรอบในการไฮโนเจนซ์ที่ความดัน 23/4 MPa จำนวน 1 รอบ ต่อการกระจายตัวของอนุภาคครีอปเล็ทในกะทิที่เติมสารสเตบิไลเซอร์ (CMC, Tween 60) และไม่เติมสารสเตบิไลเซอร์ (control)



ภาพที่ 8 ภาพถ่ายจากกล้องจุลทรรศน์ที่กำลังขยาย 400 เท่า แสดงผลการโซโนจีโนซ์กับที่ความดัน 11/4 MPa ของกะทิในตัวอย่างที่ไม่เติมสารสเตบิไลเซอร์ (control) (a-d) ตัวอย่างที่เติม CMC (e-h) และ Tween 60 (i-l) โดยผ่านการโซโนจีโนซ์ 0 รอบ (a, e, i) 1 รอบ (b, f, j) 2 รอบ (c, g, k) และ 3 รอบ (d, h, l)

จากภาพที่ 8 (b-d) แสดงให้เห็นการรวมตัวกันของครึ่องเปลือกน้ำมัน (coalescence) ขนาดเล็กเกิดเป็นครึ่องเปลือกน้ำมันที่มีขนาดใหญ่ขึ้นของกะทิที่ผ่านการโซโนจีโนซ์โดยไม่เติมสารสเตบิไลเซอร์ซึ่งจะเกิดการรวมตัวกันของครึ่องเปลือกได้เร็วกว่ากะทิที่ผ่านการโซโนจีโนซ์ร่วมกับ CMC หรือ Tween 60 ซึ่งส่งผลต่อการเกิดการแยกชั้นครีมอย่างรวดเร็ว และสามารถเกิดการแยกชั้นน้ำมันได้ในที่สุด ส่วนภาพที่ 8 (e-h) แสดงให้เห็นถึงการเกาะกลุ่มกันของครึ่องเปลือกในตัวอย่าง

จะทำให้ผ่านการโซโนจีโนซ์ร่วมกับ CMC ซึ่งจะเกาะกลุ่มกันน้อยและมีครือปเลี้ยงขนาดใหญ่เกิดขึ้นน้อยกว่าตัวอย่างควบคุม โดยยังรักษาขนาดของครือปเลี้ยงไว้ได้ ทั้งนี้เนื่องมาจาก CMC มีบทบาทเป็นสารเพิ่มความข้นหนืดให้แก่ส่วนต่อเนื่องของระบบอิมัลชันชนิดน้ำมันในน้ำ (Becher, 1965) และยังสามารถเกิดเป็นพิล์มที่แข็งแรงระหว่างผิวของหยดน้ำมันและน้ำได้ (Sharma, 1981) จึงช่วยชะลอการเคลื่อนที่ของครือปเลี้ยงและช่วยป้องกันครือปเลี้ยงไม่ให้เข้ามาชนหรือรวมตัวกันเป็นอนุภาคขนาดใหญ่ได้ในระยะเวลาหนึ่ง ส่วนตัวอย่างจะทำให้มีการเติม Tween 60 ซึ่งทำหน้าที่เป็นอิมัลซิฟายเออร์ซึ่งช่วยลดแรงตึงผิวระหว่างวัสดุภายนอกและน้ำมันสามารถหุ้มรอบผิวครือปเลี้ยงที่เกิดขึ้นใหม่จากการโซโนจีโนซ์ จึงช่วยป้องกันการเกาะกลุ่มหรือรวมตัวกันของครือปเลี้ยงได้ ทำให้อิมัลชันมีความคงตัวมากขึ้น (Tangsuphoom และ Coupland, 2008) ดังที่ได้กล่าวมาแล้วข้างต้น และจากการทดลองพบว่าความหนืดของจะทำให้ปรับปริมาณไขมัน (ร้อยละ 34-40) และจะทำให้ผ่านการปรับปริมาณไขมัน (ร้อยละ 20) เท่ากับ 23.20 ± 4.07 และ 5.50 ± 1.38 เซนติพอยต์ (cP) ตามลำดับ ส่วนจะทำให้ผ่านการโซโนจีโนซ์ร่วมกับ CMC (ร้อยละ 0.60) หรือ Tween 60 (ร้อยละ 0.50) มีค่าความหนืดอยู่ในช่วง $20.30\text{-}36.45$ cP และ $18.44\text{-}19.84$ cP ตามลำดับ

จากการทดลองเพื่อหาสภาวะในการโซโนจีโนซ์ต่อสมบัติและความคงตัวของจะทำให้ช้าลง สามารถเลือกรัดดับความดันและจำนวนรอบในการโซโนจีโนซ์จะทำให้เกิด ที่ระดับความดัน $23/4$ MPa โดยผ่านเข้าเครื่องโซโนจีโนเซอร์จำนวน 1 รอบก็เพียงพอที่จะผลิตจะทำให้มีความคงตัวสูงแต่อย่างไรก็ตามจะเห็นได้ว่าการโซโนจีโนซ์จะทำให้รวมกับการใช้ CMC หรือ Tween 60 เพียงอย่างเดียวจะไม่เพียงพอที่จะรักษาความคงตัวทางกายภาพของจะทำให้ จากการศึกษาข้อมูลเบื้องต้นพบว่าแม่จะทำจะเป็นอิมัลชันตามธรรมชาติที่มีโปรตีนและฟอสโฟลิปิดทำหน้าที่เป็นอิมัลซิฟายเออร์ช่วยหุ้มครือปเลี้ยงน้ำมันทำให้เกิดความคงตัวได้ในระยะเวลาหนึ่ง แต่เนื่องจากจะทำให้มีปริมาณโปรตีนอยู่น้อยเมื่อเทียบกับปริมาณไขมัน ประกอบกับสมบัติในการเป็นอิมัลซิฟายเออร์ของโปรตีนจะทำให้มีประสิทธิภาพไม่เพียงพอและเกิดการเสียสภาพได้ง่ายจากปัจจัยหลายประการดังที่กล่าวมาแล้วข้างต้น ดังนั้นจึงทำการทดลองเพื่อศึกษาผลของการปริมาณอิมัลซิฟายเออร์ที่ระดับต่างๆ ร่วมกับการใช้ CMC (ร้อยละ 0.60) ใน การโซโนจีโนซ์ต่อสมบัติและความคงตัวทางกายภาพของจะทำให้ โดยเลือกใช้ Tween 60 เนื่องจากเป็นอิมัลซิฟายเออร์ที่อนุญาตให้ใช้ได้ในอาหารและมีสมบัติในการเป็นอิมัลซิฟายเออร์ที่ดีช่วยให้จะทำให้มีความคงตัวสูงตามที่มีในรายงานก่อนหน้า (ศรีวรรณ, 2528; กรพกา, 2539; เอกธิพัฒน์, 2540; เทพกัญญา, 2545; จันทินา, 2546 และ Srithunma, 2002)

จากการทดลองทำการโซโนจีโนซ์จะทำให้ร่วมกับ CMC (ร้อยละ 0.60) และ Tween 60 ที่ความเข้มข้น ร้อยละ $0.25\text{-}1.00$ โดยนำหนัก เปรียบเทียบกับตัวอย่างควบคุม (ไม่เติม Tween 60) แสดงผลดังตารางที่ 8 จะเห็นได้ว่าน้ำดรือปเลี้ยงน้ำมันเคลื่อนย้ายของจะทำให้มีขนาดเล็กลงอย่างมี

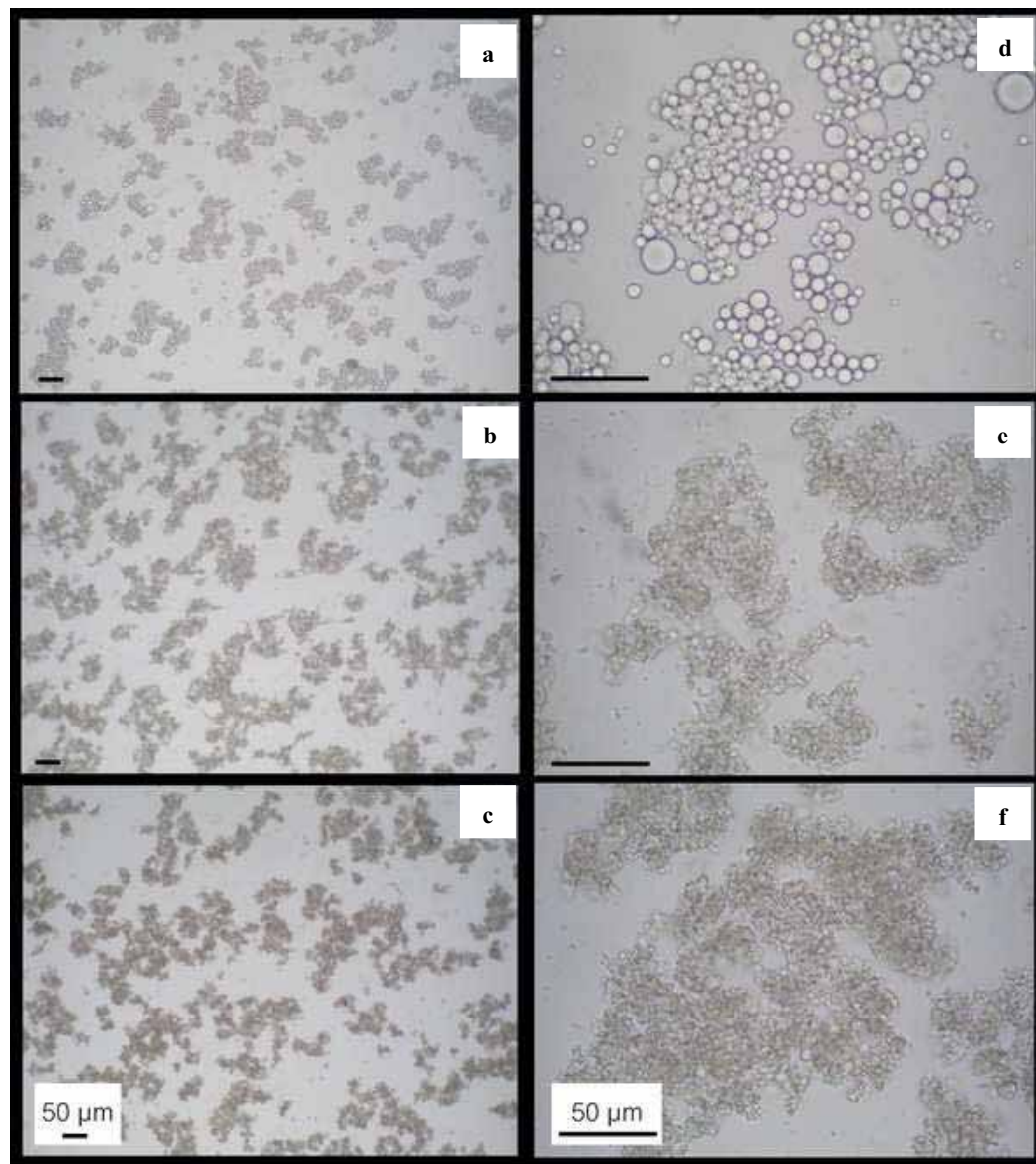
นัยสำคัญ ($p<0.05$) เมื่อเพิ่มความเข้มข้นของ Tween 60 จนถึงร้อยละ 0.5 แต่ไม่มีความแตกต่างอย่างมีนัยสำคัญของขนาดครึ่อปเลี้ยงเมื่อเพิ่มระดับความเข้มข้นของ Tween 60 ในช่วงร้อยละ 0.50-1.00 โดยน้ำหนัก ($p>0.05$) (ภาพที่ 9) ซึ่งสอดคล้องกับค่าความคงตัวต่อการแยกชั้นครีมของกะทิและความหนืดที่เพิ่มขึ้น โดยกะทิจะมีความคงตัวทางกายภาพมากที่สุดเมื่อใช้ความเข้มข้นของ Tween 60 ร้อยละ 1.00 โดยไม่แตกต่างอย่างมีนัยสำคัญทางสถิติกับความคงตัวของกะทิที่ใช้ความเข้มข้นของ Tween 60 ร้อยละ 0.75 ($p>0.05$) แสดงให้เห็นว่า Tween 60 เป็นอิมัลซิฟายเออร์มีประสิทธิภาพที่ดีในการรักษาขนาดของครึ่อปเลี้ยงและความคงตัวของอิมัลชัน โดยสามารถเข้าไปปั๊มนรอนครึ่อปเลี้ยงขนาดเล็กๆ ที่เกิดขึ้นใหม่ได้อย่างรวดเร็วหลังผ่านกระบวนการ โซโนจีไนเซชันและป้องกันการกลับเข้ามารวนตัวและเกาะกลุ่มกันของครึ่อปเลี้ยงได้ อย่างไรก็ตามจะเห็นว่าในจำนวนการแยกชั้นครีมได้เล็กน้อย เมื่อตั้งทิ้งไว้เป็นระยะเวลา 24 ชั่วโมง ($CI<10\%$) แต่กะทิที่ผ่านการโซโนจีไนเซชันร่วมกับการใช้สารสเตบิไลเซอร์ คือ CMC และ Tween 60 ยังคงให้ลักษณะปราณีของอิมัลชันกะทิที่ดี มีเนื้อเนียน เมื่อทำการเขย่าหรือกวนอิมัลชันกะทิเพียงเล็กน้อย จะทำให้กะทิมีลักษณะคงตัวไม่แยกชั้นเมื่อตั้งทิ้งไว้อย่างน้อย 10 ชั่วโมง และมีความหนืดใกล้เคียงกับหัวกะทิสดอยู่ในระดับที่ยอมรับได้

ตารางที่ 8 ผลของระดับความเข้มข้นของ Tween 60 ต่อขนาดครึ่อปเลี้ยงเฉลี่ย (d_{32}) ความคงตัวต่อการแยกชั้นครีม (CI) และความหนืดของกะทิที่มี CMC ร้อยละ 0.60

ความเข้มข้นของ Tween 60 (%)	$d_{32}^{1)}$ (μm)	CI ¹⁾ (%)	ความหนืด ¹⁾ (cP)
0	$4.83\pm0.33^{\text{a}}$	$43.46\pm0.84^{\text{a}}$	$39.18\pm2.58^{\text{d}}$
0.25	$1.50\pm0.16^{\text{b}}$	$8.51\pm0.69^{\text{b}}$	$52.58\pm4.84^{\text{c}}$
0.50	$1.13\pm0.11^{\text{c}}$	$5.30\pm2.21^{\text{c}}$	$56.63\pm4.21^{\text{b}}$
0.75	$1.07\pm0.16^{\text{c}}$	$3.23\pm2.75^{\text{cd}}$	$68.98\pm3.01^{\text{a}}$
1.00	$1.00\pm0.11^{\text{c}}$	$1.43\pm2.02^{\text{d}}$	$69.60\pm3.68^{\text{a}}$

¹⁾ ได้จากการวิเคราะห์ค่าเฉลี่ย±ส่วนเบี่ยงเบนมาตรฐาน จากการทดลอง 2 ชั้้า

a, b, ... ตัวอักษรที่เหมือนกันตามคอลัมน์แสดงถึงไม่มีความแตกต่างอย่างมีนัยสำคัญ ($P>0.05$)



ภาพที่ 9 ภาพถ่ายจากกล้องจุลทรรศน์ที่กำลังขยาย 100 เท่า (a-c) และ 400 เท่า (d-f) แสดงผลการใช้โนมิจีไนซ์กงที่ร่วมกับ CMC (ร้อยละ 0.6) และ Tween 60 ที่ความเข้มข้นร้อยละ 0 (a,d) ร้อยละ 0.5 (b, e) และร้อยละ 1.0 (c, f) ต่อลักษณะครึ่งปีลีทที่เวลา 24 ชั่วโมง

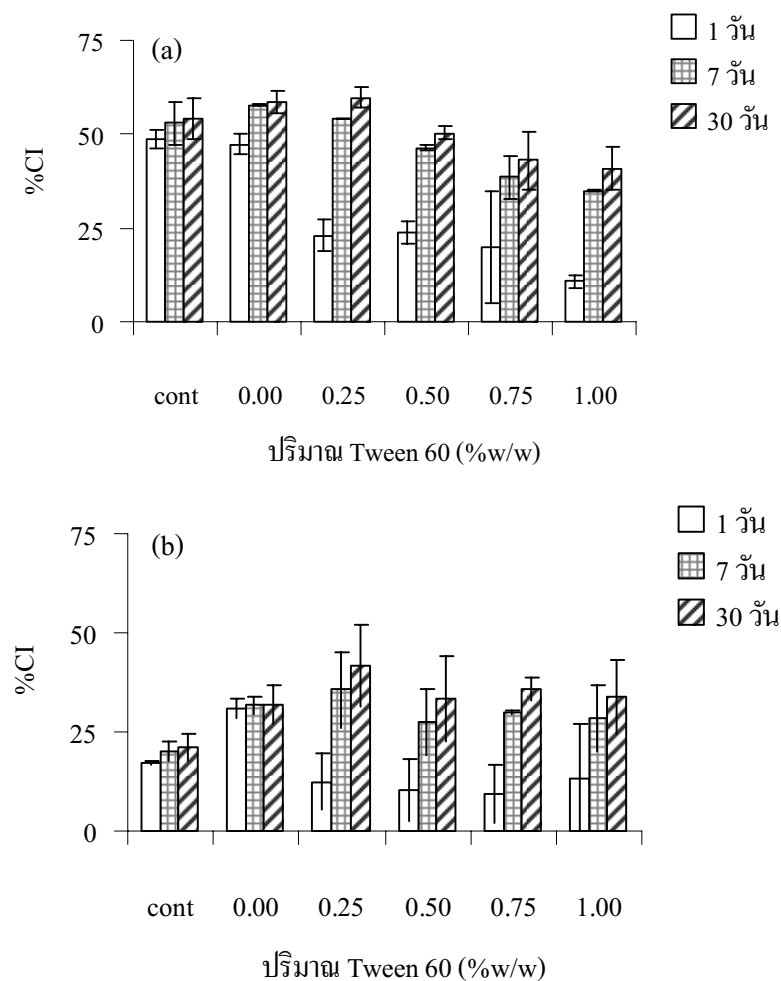
4.5 ผลของปริมาณสารอิมัลซิฟายเออร์ร่วมกับการโซโนมีนช์กะทิในระบบการสเตอโรไลเซ่และ การแช่แข็ง-ละลาย

จากการศึกษาผลของปริมาณสารอิมัลซิฟายเออร์ คือ Tween 60 ที่ระดับความเข้มข้น ร้อยละ 0-1.00 และ CMC ร้อยละ 0.60 ร่วมกับการโซโนมีนช์กะทิในระบบสเตอโรไลเซ่ด้วยความร้อน คือที่ระยะเวลาการเก็บรักษา 1 วัน พบร่วมกับปริมาณ Tween 60 ที่เพิ่มขึ้นส่งผลอย่างมีนัยสำคัญทางสถิติ ($p<0.05$) กับค่า CI ที่ต่ำลง นั่นคือกะทิมีความคงตัวต่อการแยกชั้นสูงขึ้น แต่ยังไรมีความ เมื่อพิจารณาที่ระยะเวลาการเก็บรักษาที่ 7 และ 30 วัน กลับพบว่าค่า CI ของกะทิเพิ่มสูงขึ้นจนมีค่าใกล้เคียงกันในทุกตัวอย่างโดยไม่แตกต่างอย่างมีนัยสำคัญทางสถิติ ($p>0.05$) และจะมีค่า CI ต่ำกว่า กะทิที่ไม่ผ่านการสเตอโรไลเซ่เล็กน้อย (ภาพที่ 10 และตารางผนวกที่ 18) นอกจากนี้จะเห็นได้ว่า กะทิสเตอโรไลเซ่ในตัวอย่างความคุณ (ผ่านการโซโนมีนช์โดยไม่เติมสารสเตบิไลเซอร์ใดๆ) และ กะทิสเตอโรไลเซ่ที่ผ่านการโซโนมีนช์ร่วมกับ CMC เพียงอย่างเดียว จะมีตะกอนอ่อน (curd) เกิดขึ้น (ภาพที่ 11) และมีค่า CI ต่ำ ทั้งนี้เนื่องมาจากโปรตีนในกะทิจะเกิดการเสียสภาพทางธรรมชาติได้ เมื่อให้ความร้อนสูงกว่าอุณหภูมิประมาณ 80°C (Gonzalez, 1990; Kwon, Park, และ Rhee, 1996; Onsaard, 2008) จึงทำให้โปรตีนในกะทิเกิดการรวมตัวเป็นก้อน (coagulate) โดย Kwon, Park, และ Rhee (1996) รายงานว่าโปรตีนอัลบูมินและโกลบูลินซึ่งเป็นโปรตีนส่วนใหญ่ในกะทิ (มีปริมาณร้อยละ 21.0 และ 40.1 ตามลำดับ) เกิดการเสียสภาพที่อุณหภูมิประมาณ 94°C และที่ อุณหภูมิช่วง $92\text{-}112^{\circ}\text{C}$ ตามลำดับ ส่วนระบบที่มี CMC อย่างเดียวไม่เพียงพอที่จะป้องกันการเกิด ตะกอนอ่อนได้เนื่องจาก CMC มีบทบาทในการเพิ่มความเข้มข้นหนึ่ดให้แก่ส่วนต่อเนื่องของระบบ อิมัลชันชนิดน้ำมันในน้ำ (Becher, 1965) จึงยังสามารถเกิดการรวมตัวกันของโปรตีนที่เสียสภาพ ได้ซึ่งตะกอนโปรตีนที่เกิดขึ้นนี้ยังสามารถจับอนุภาคครื้อปเลี้ยงน้ำมันไว้ในร่างแท้ได้จึงไม่พบการ แตกมันในผลิตภัณฑ์และมีค่า CI ต่ำเนื่องจากความแตกต่างของความหนาแน่นระหว่างกลุ่มครื้อปเลี้ยงน้ำมันกับวัตถุภาคร่องน้ำที่อาจมีอยู่ต่างๆ ความหนาแน่นของครื้อปเลี้ยงน้ำมันมากสามารถเกิดการเชื่อมต่อกันเป็น สายจับครื้อปเลี้ยงและนำไว้ภายในโครงสร้างร่างแท้ (Dickinson, Golding และ Povey, 1997; McClements, 2005; Tangsuphoom และ Coupland, 2009a)

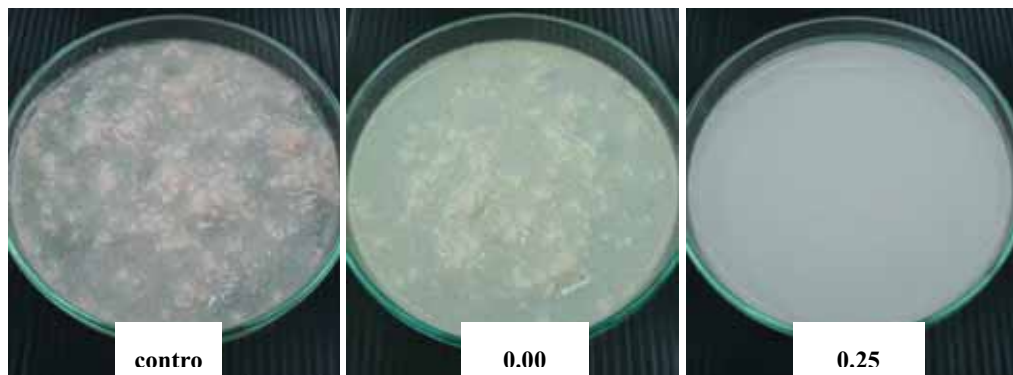
ส่วนกะทิที่ผ่านการโซโนมีนช์ร่วมกับ Tween 60 (ร้อยละ 0.25-1.00) และ CMC ไม่พบ การเกิดตะกอนอ่อนเนื่องจากโดยทั่วไปนอกจาก Tween 60 จะทำหน้าที่ดูดซับที่ผิวสัมผัสร่วม ระหว่างน้ำมันและน้ำในระบบอิมัลชันทำให้เกิดความคงตัวแล้วยังสามารถเกิดพันธะกับ องค์ประกอบอื่นๆ ในระบบได้ รวมถึงสามารถยึดเกาะกับโปรตีนที่เสียสภาพให้แขวนลอยอยู่ใน

ผลิตภัณฑ์ได้ (Branen และคณะ, 2002) และจันทิมา (2546) กล่าวว่าการเติม Tween 60 ร่วมกับ CMC มีผลให้เกิดตะกอนอ่อนในผลิตภัณฑ์ลดลงอย่างมีนัยสำคัญ ($P<0.05$)

ส่วนจะทิ่ผ่านกระบวนการแข็งและลายด้วยไมโครเวฟกลับพบว่าไม่เกิดการแยกชั้นน้ำมันและตะกอนอ่อนในตัวอย่างจะทิ่ผ่านการไฮโนเจนซ์ร่วมกับ Tween 60 (ร้อยละ 0.25-1.00) และ CMC (ร้อยละ 0.6) แต่เกิดตะกอนอ่อนในตัวอย่างที่ผลิตจากจะทิ่ผ่านการไฮโนเจนซ์โดยไม่เติมสารสเตบิไลเซอร์และเกิดตะกอนอ่อนเล็กน้อยในตัวอย่างที่ผลิตจากจะทิ่ผ่านการไฮโนเจนซ์ร่วมกับ CMC เพียงอย่างเดียว โดยพบว่าค่า CI ของจะทิ่มี CMC และ Tween 60 มีค่าใกล้เคียงกับ CI ของจะทิ่ไม่มีการเติมสเตบิไลเซอร์ ไม่แตกต่างกันอย่างมีนัยสำคัญ ($p>0.05$) และ

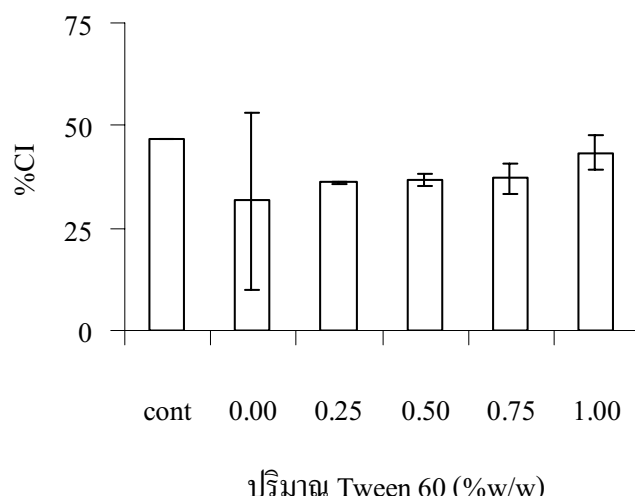


ภาพที่ 10 ผลของปริมาณ Tween 60 ต่อความคงตัวต่อการแยกชั้นครีมในจะทิ่มี CMC ร้อยละ 0.60 ซึ่งไม่ผ่านการสเตบิไลเซอร์ (a) และผ่านการสเตบิไลเซอร์ด้วยความร้อน (b) (cont คือจะทิ่ไม่มีการเติมสารสเตบิไลเซอร์)

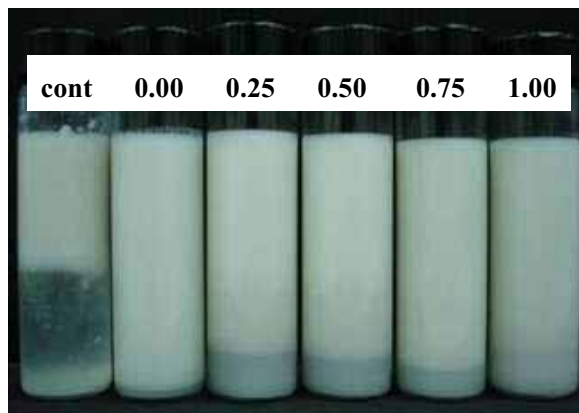


ภาพที่ 11 ผลของปริมาณ Tween 60 ต่อลักษณะกะทิที่มี CMC ร้อยละ 0.60 หลังผ่านการสเตอเริลайซ์ด้วยความร้อน (cont คือ กะทิที่ไม่มีการเติมสารสเตบิไลเซอร์)

ไม่พบการติดต่อกันของกะทิในทุกตัวอย่าง (ภาพที่ 12 และ 13) ทั้งนี้เนื่องจากในตัวอย่างกะทิควบคุมเกิดติดต่อกันอ่อนที่เกิดจากโปรตีนที่เสียสภาพแล้วเข้ามาเกาะกลุ่มกันโดยสามารถจับตึงครีอปเลิฟน้ำมันไว้ภายในได้ ส่วนในกะทิที่มีการเติม CMC เพียงอย่างเดียว หรือเติมร่วมกับ Tween 60 ช่วยลดการเกิดการแยกชั้นและการแตกมัน ได้เนื่องจาก CMC เป็นสารที่มีโมเลกุลเป็นสายยาวและมีขนาดใหญ่จึงช่วยชะลอการเคลื่อนที่และขัดขวางการเข้ามาเกาะกลุ่มกันของครีอปเลิฟน้ำมัน ในระหว่างการแช่แข็ง และเมื่อนำกะทินำละลายด้วยความร้อน CMC และ Tween 60 ยังสามารถแยกลอยโปรตีนที่เสียสภาพไว้ได้ดังที่กล่าวมาแล้วข้างต้น



ภาพที่ 12 ผลของปริมาณ Tween 60 ต่อความคงตัวต่อการแยกชั้นครีม (CI) ในกะทิที่มี CMC ร้อยละ 0.60 หลังผ่านการแช่แข็ง-ละลายแล้วตั้งทิ้งไว้เป็นเวลา 1 วัน (cont คือ กะทิที่ไม่มีการเติมสารสเตบิไลเซอร์)

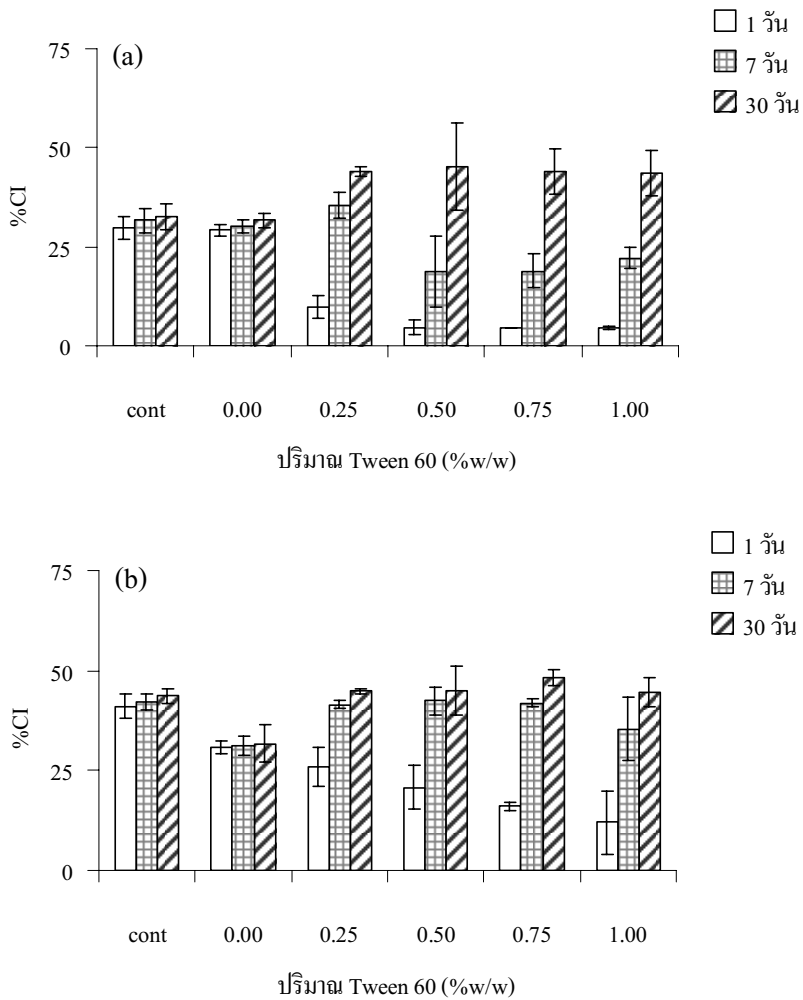


ภาพที่ 13 ผลของปริมาณ Tween 60 ต่อลักษณะการแยกชั้นในกะทิที่มี CMC ร้อยละ 0.60 หลังผ่านการแช่แข็ง-ละลายแล้วตั้งทิ้งไว้เป็นเวลา 1 วัน (cont คือ กะทิที่ไม่มีการเติมสารสเตบิไลเซอร์)

4.6 ผลของปริมาณสารอิมัลซิฟายเออร์ร่วมกับการโซโนเมจในระบบอาหารที่มีกะทิเป็นส่วนผสมแบบพิเศษต่อสมบัติและความคงตัวทางกายภาพของกะทิ

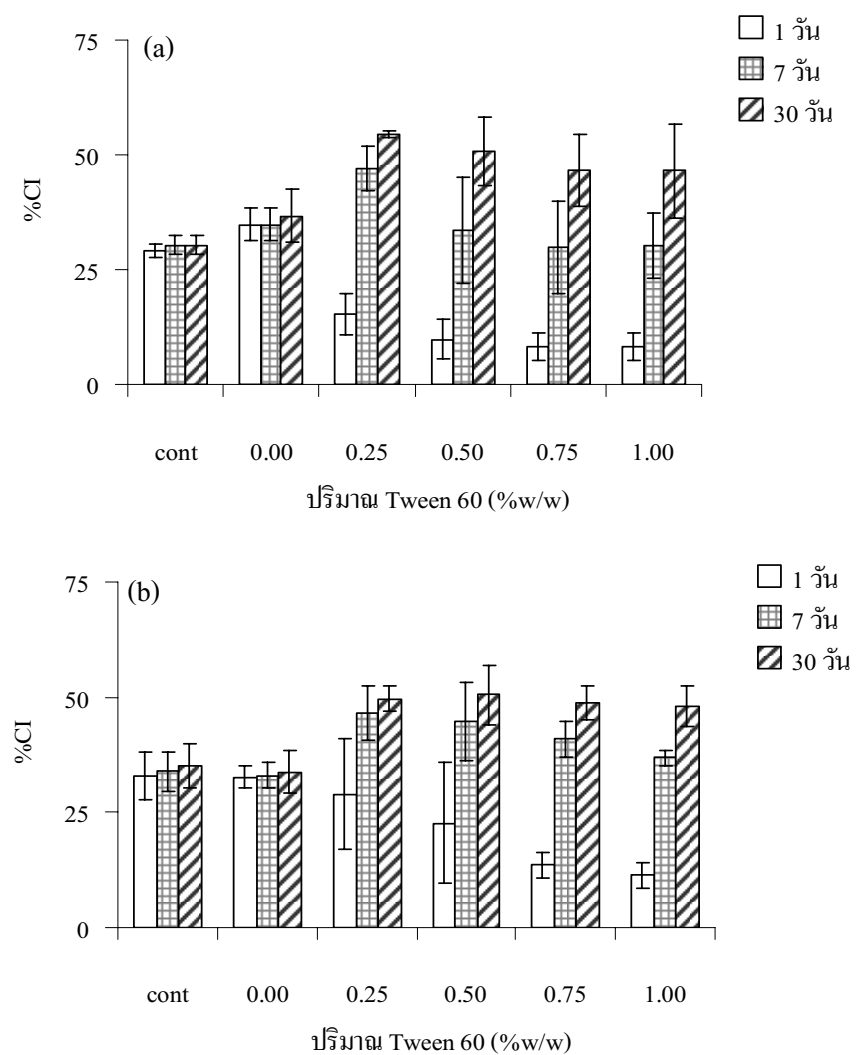
จากการศึกษาในระบบอาหารแบบพิเศษต่า ได้แก่ ต้มยำไก่น้ำข้นและต้มข่าไก่ (สูตรอาหารแสดงดังภาคผนวก ข) ที่ผลิตโดยใช้กะทิที่ผ่านการโซโนเมจร่วมกับ Tween 60 ที่ระดับความเข้มข้นร้อยละ 0-1.00 และ CMC ร้อยละ 0.60 ในตัวอย่างที่ผ่านกระบวนการสเตอโริลайซ์ด้วยความร้อน คือที่ระยะเวลาการเก็บรักษา 1 วัน พบว่า ปริมาณ Tween 60 ที่เพิ่มขึ้นส่งผลอย่างมีนัยสำคัญทางสถิติ ($p<0.05$) กับค่า CI ที่ต่ำลง นั่นคืออาหารมีความคงตัวต่อการแยกชั้นสูงขึ้น แต่เมื่อพิจารณาที่ระยะเวลาการเก็บรักษาที่ 7 และ 30 วัน กลับพบว่าค่า CI ของอาหารเพิ่มสูงขึ้นจนมีค่าใกล้เคียงกันในทุกตัวอย่าง โดยไม่แตกต่างอย่างมีนัยสำคัญทางสถิติ ($p>0.05$) และจะมีค่า CI สูงกว่าตัวอย่างอาหารที่ไม่ผ่านการสเตอโริลайซ์เล็กน้อย (ภาพที่ 14 และ 15 และตารางผนวกที่ 19 และ 20) นอกจากนี้จะเห็นว่าอาหารสเตอโริลайซ์ที่ผลิตจากกะทิควบคุม (ผ่านการโซโนเมจโดยไม่เติมสารสเตบิไลเซอร์) และที่ผลิตจากกะทิที่ผ่านการโซโนเมจร่วมกับ CMC เพียงอย่างเดียว จะมีตะกอน-อ่อน (curd) เกิดขึ้นและมีค่า CI ต่ำ ซึ่งผลการทดลองมีลักษณะเช่นเดียวกันทั้งในต้มยำไก่น้ำข้นและต้มข่าไก่ (ภาพที่ 16a และ b) ทั้งนี้ดังที่กล่าวมาแล้วข้างต้นคือโปรตีนในกะทิจะเกิดการเสียสภาพทางเคมีเมื่อให้ความร้อนสูงกว่าอุณหภูมิ 80°C (Gonzalez, 1990; Kwon, Park, และ Rhee, 1996; Onsaard, 2008) จึงทำให้โปรตีนในกะทิเกิดการรวมตัวเป็นก้อน ซึ่งอาจจะกระจายตัวแพร่ลอยหรือตกตะกอนลงมา ส่วนระบบที่มี CMC อย่างเดียวไม่เพียงพอที่จะป้องกันการเกิด

ตะกอนอ่อนได้เนื่องจาก CMC มีบทบาทในการเพิ่มความข้นหนืดให้แก่ส่วนต่อเนื่องของระบบ อิมลชัน (Becher, 1965) จึงยังสามารถเกิดการรวมตัวกันของโปรตีนที่เสียสภาพได้ ซึ่งตะกอนโปรตีนที่เกิดขึ้นนี้ยังสามารถจับอนุภาคครึ่อปเลี้ยงนำมันไว้ในร่างแท้ได้จึงไม่พบรการแตกมันในผลิตภัณฑ์และยังมีค่า CI ต้านนีองจากความแตกต่างของความหนาแน่นระหว่างกลุ่มครึ่อปเลี้ยงนำมัน กับวัสดุภาคต่อเนื่องอาจจะน้อยกว่าความแตกต่างระหว่างความหนาแน่นครึ่อปเลี้ยงเดียวกับวัสดุภาคต่อเนื่องได้ (Dickinson, Golding และ Povey, 1997; McClements, 2005; Tangsuphoon และ Coupland, 2009a) ดังที่กล่าวมาแล้วข้างต้น

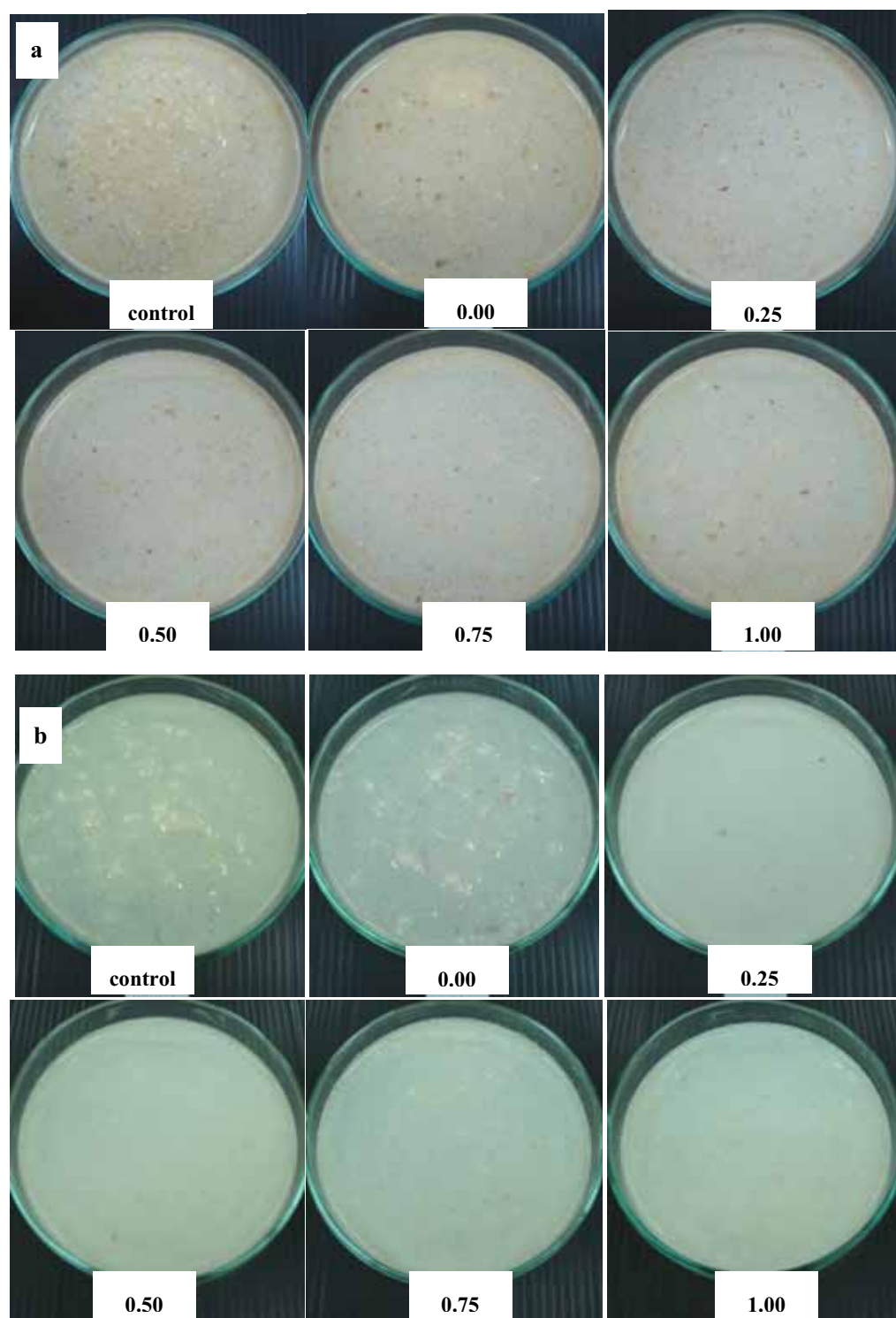


ภาพที่ 14 ผลของปริมาณ Tween 60 ต่อความคงตัวต่อการแยกชั้นครีมในส่วนของเหลวของต้มยำไก่น้ำข้นที่มี CMC ร้อยละ 0.60 ซึ่งไม่ผ่านการสเตอโรไลซ์ (a) และผ่านการสเตอโรไลซ์ด้วยความร้อน (b) (cont คืออาหารที่ไม่มีการเติมสารสเตบิไลเซอร์)

ส่วนอาหารที่ผลิตจากกะทิที่ผ่านการโซโนมีไนซ์ร่วมกับ Tween 60 (ร้อยละ 0.25-1.00) และ CMC ไม่พบการเกิดตะกอนอ่อนนึ่งจากโดยทั่วไปนอกจาก Tween 60 จะทำหน้าที่คุณภาพที่ผิวสัมผัสร่วมระหว่างน้ำมันและน้ำในระบบอิมลชันทำให้เกิดความคงตัวแล้วยังสามารถเกิดพันธะกับองค์ประกอบอื่นๆ ในระบบได้ รวมถึงสามารถยึดเกาะกับโปรตีนที่เสียสภาพให้เขวนลดอยอยู่ในผลิตภัณฑ์ได้ (Branen และคณะ, 2002) และจันทิมา (2546) กล่าวว่าการเติม Tween 60 ร่วมกับ CMC มีผลให้เกิดตะกอนอ่อนในผลิตภัณฑ์ลดลงอย่างมีนัยสำคัญ ($P<0.05$)

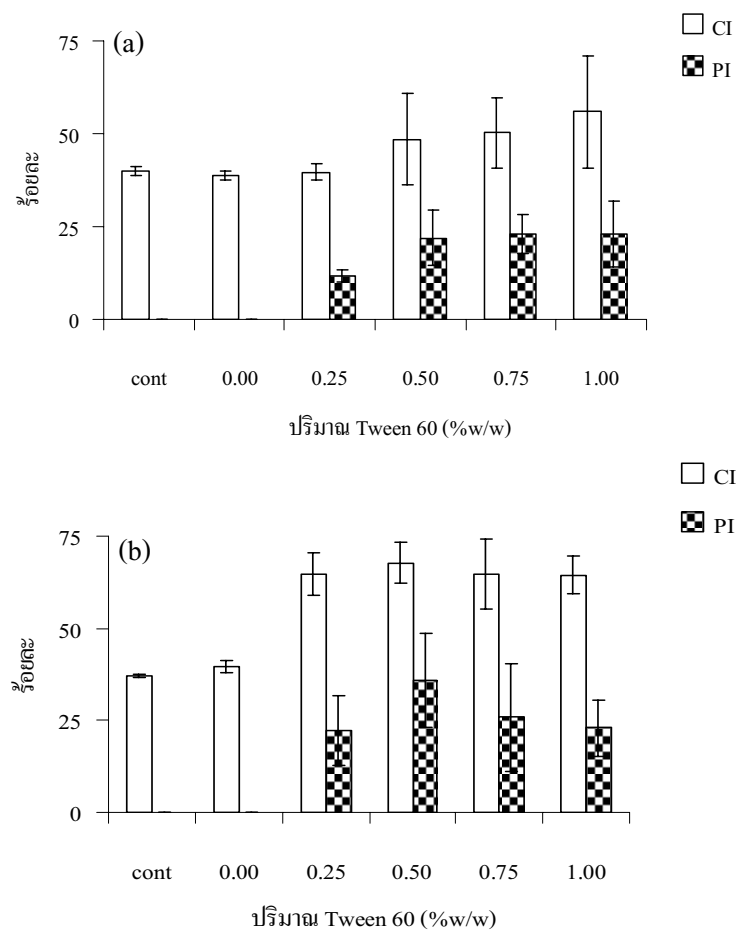


ภาพที่ 15 ผลของปริมาณ Tween 60 ต่อความคงตัวต่อการแยกชั้นครีมในส่วนของเหลวของต้มข่าไก่ที่มี CMC ร้อยละ 0.60 ซึ่งไม่ผ่านการสเตอริไลซ์ (a) และผ่านการสเตอริไลซ์ด้วยความร้อน (b) (cont คือ อาหารที่ไม่มีการเติมสารสเตบิไลเซอร์)



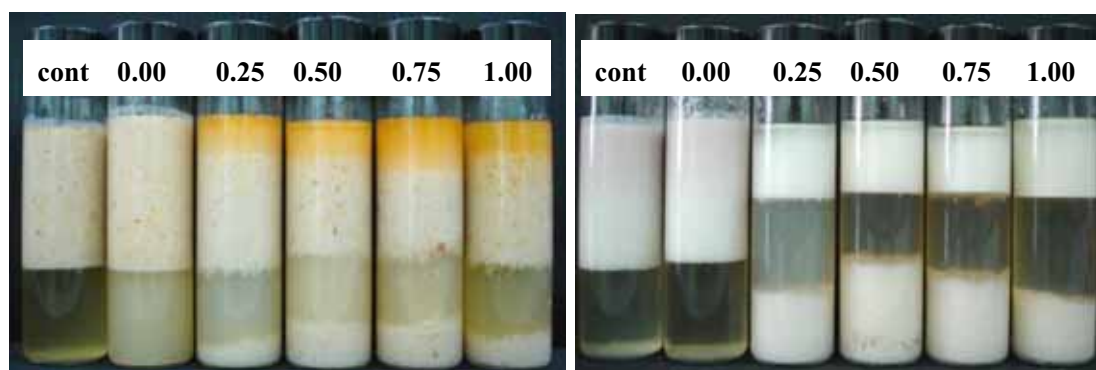
ภาพที่ 16 ผลของปริมาณ Tween 60 ต่อลักษณะส่วนของเหลวของต้มยำไก่น้ำขี้น (a) และต้มข่าไก่ (b) ที่มี CMC ร้อยละ 0.60 หลังผ่านการสเตอเริลайซ์ด้วยความร้อน (b) (cont คือ อาหารที่ไม่มีการเติมสารสเตเบิลайเซอร์)

ในตัวอย่างต้มยำและต้มข่าไก่ที่ผ่านกระบวนการแช่แข็ง (-30°C) แล้วนำมาละลายด้วยไนโตรเจฟเพื่อเลียนแบบพฤติกรรมการบริโภค พบว่าปริมาณ Tween 60 ที่เพิ่มขึ้นส่งผลอย่างมีนัยสำคัญทางสถิติ ($p<0.05$) กับค่า CI ของส่วนของเหลวที่สูงขึ้น ทั้งนี้ในตัวอย่างอาหารที่ผลิตจากกะทิที่ผ่านการโซโนเมจไนซ์ร่วมกับ Tween 60 (ร้อยละ 0.25-1.00) และ CMC จะมีส่วนของตะกอนที่ตกลงมาอย่างค้านล้างของภาชนะในส่วนของวัสดุภาชนะจึงทำให้ค่า CI สูงขึ้น (ภาพที่ 17) นอกจากนี้ยังพบว่าปริมาณการแยกชั้นน้ำมัน (OI) มีแนวโน้มที่เพิ่มขึ้นตามปริมาณของ Tween 60 ที่เพิ่มขึ้นด้วย (ภาพที่ 18 และตารางผนวกที่ 24) โดยในตัวอย่างต้มยำไก่น้ำข้นที่มี Tween 60 ร้อยละ 0.25, 0.50, 0.75 และ 1.00 มีค่า OI เป็น 0.89 ± 0.26 , 0.90 ± 0.25 , 1.26 ± 0.25 และ 1.45 ± 0.52 ตามลำดับ ส่วนในต้มข่าไก่ มีค่า OI เป็น 0.92 ± 0.26 , 1.61 ± 0.28 , 1.81 ± 0.06 และ 1.80 ± 0.50 ตามลำดับ



ภาพที่ 17 ผลของปริมาณ Tween 60 ต่อความคงตัวต่อการแยกชั้นครีม (CI) และการตกตะกอน (PI) ในส่วนของเหลวของต้มยำไก่น้ำข้น (a) และต้มข่าไก่ (b) ที่มี CMC ร้อยละ 0.60 หลังผ่านการแช่แข็ง-ละลายแล้วตั้งทิ้งไว้เป็นเวลา 1 วัน (cont คือ อาหารที่ไม่มีการเติมสารสเตปไอลเซอร์)

ทั้งนี้เนื่องจากกะทิที่ผ่านการโซโนมีไนซ์ร่วมกับ Tween 60 ซึ่งเป็นอิมัลซิฟายเออร์ที่มีโมเลกุลขนาดเล็ก หรือที่เรียกว่าสาร surfactant สามารถเข้าไปแทนที่โปรตีนกะทิที่หุ้มอยู่รอบๆ ผิวครีอปเล็ท (เช่น CCP) ได้รวดเร็วและเกือบทั้งหมดในระหว่างกระบวนการโซโนมีไนซ์ (Tangsuphoom และ Coupland, 2009b) สามารถช่วยรักษาความคงตัวของอิมัลชันกะทิไว้ได้ในระหว่างการผลิตอาหาร ซึ่งผ่านการให้ความร้อนที่อุณหภูมิต่ำกว่า 100°C แต่ในขณะทำการแช่แข็งเมื่ออุณหภูมิกัดต่ำลง ครีอปเล็ทน้ำมันในกะทิเกิดส่วนผลึก (crystal) และสามารถเคลื่อนที่เข้ามาใกล้และรวมตัวกันได้บางส่วน (partial coalescence) เมื่อจาก Tween 60 เป็น surfactant ที่ไม่มีประจุ (non-ionic) และเกิดเป็นฟิล์มหุ้มรอบครีอปเล็ทน้ำมันเป็นชั้นที่บางกว่าสารอิมัลซิฟายเออร์ที่เป็นโปรตีน ดังนั้นมีอาน้ำอาหารที่ผ่านการแช่แข็งมีผลลัพธ์ด้วยการให้ความร้อนจึงทำโปรตีนที่กระจายตัวอยู่ เช่น CSP ISP IP และ CCP ที่ถูกแทนที่บางส่วนหรือทั้งหมด เกิดการเสียสภาพและรวมตัวกันตกตะกอน ซึ่งอาจเป็นไปได้ว่าโปรตีนส่วนที่ตกตะกอนลงมาบังด้านล่างของภาชนะ คือ CSP ISP และ IP ส่วนตะกอนที่กระจายตัวแขวนลอยอยู่ด้านบนติดกับชั้นน้ำมันคือ CCP ดังนั้นส่วนของครีอปเล็ทน้ำมันที่เกิดการรวมตัวบางส่วนก็สามารถหลอมรวมกันเป็นครีอปเล็ทที่มีขนาดใหญ่มากขึ้นจนเกิดการแยกเป็นชั้นน้ำมันในที่สุด ลักษณะเช่นนี้เกิดขึ้นเช่นเดียวกับการศึกษาของ Tangsuphoom และ Coupland (2009a) โดยทำการศึกษาผลของสภาวะในการให้ความร้อนต่อสมบัติของอิมัลชันกะทิโดยใช้โซเดียมเคซิเนต เวียโปรตีน ไอโซเลท (WPI) โซเดียม โอดีเซลิซัลเฟต (SDS) และ Tween 20 เป็นอิมัลซิฟายเออร์ โดยพบว่าอิมัลชันกะทิที่เตรียมจากสารอิมัลซิฟายเออร์ชนิดที่เป็นโปรตีนมีความคงตัวต่อกระบวนการแช่แข็ง-ละลายมากกว่าอิมัลซิฟายเออร์ที่เป็นสาร surfactant



ภาพที่ 18 ผลของปริมาณ Tween 60 ต่อลักษณะการแยกชั้นของส่วนของเหลวของต้มยำไก่'n้ำข้น (ซ้าย) และต้มยำไก่ (ขวา) ที่มี CMC ร้อยละ 0.60 และผ่านการแช่แข็ง-ละลายแล้วตั้งทิ้งไว้เป็นเวลา 1 วัน (cont คือ อาหารที่ไม่มีการเติมสารสเตビไโลเซอร์)

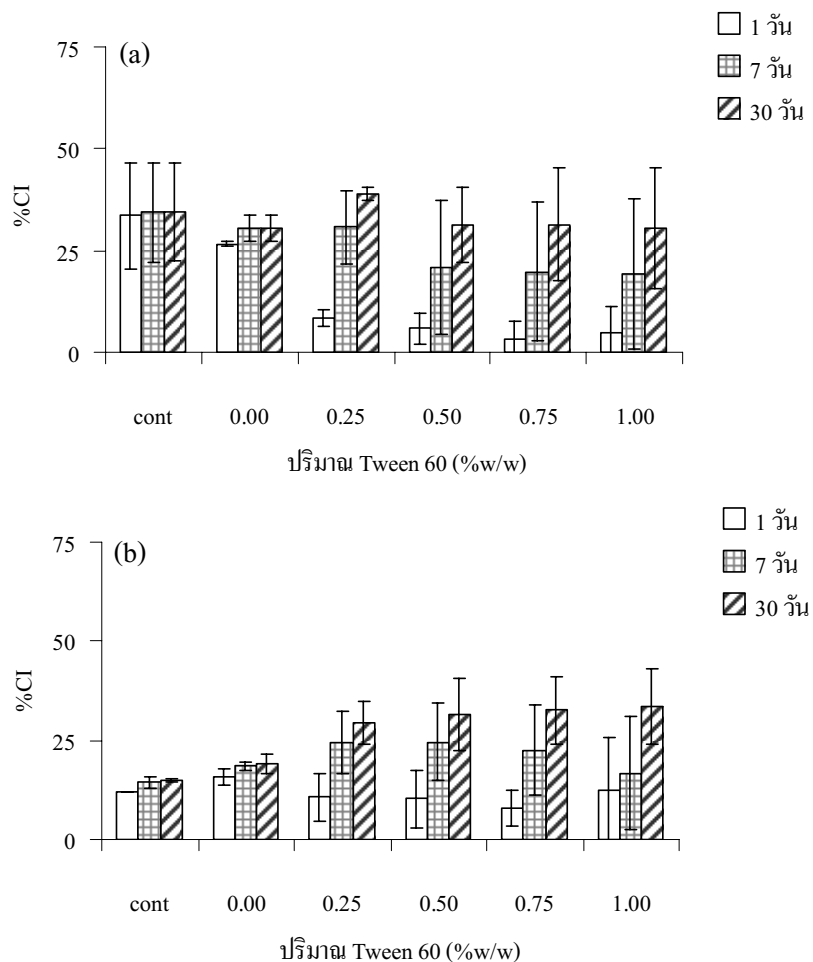
ส่วนลักษณะของผลิตภัณฑ์ต้มยำไก่น้ำข้นและต้มยำไก่ภายหลังจากการให้ความร้อนด้วยไมโครเวฟ (แสดงภาพในภาคผนวก ข) ที่ผลิตจากกะทิที่ผ่านการโซโนเจนไซด์โดยไม่เติมสารสเตบิไลเซอร์และผลิตจากกะทิที่ผ่านการโซโนเจนไซด์ร่วมกับ CMC จะมีการเกิดตะกอนอ่อนที่เกิดจากโปรตีนที่เสียสภาพแล้วเข้ามาเกาะกลุ่มกัน โดยสามารถจับเอครีอปเล็ทน้ำมันไว้ภายในจึงไม่สังเกตเห็นการแยกชั้นน้ำมันเช่นเดียวกับผลิตภัณฑ์ที่ผ่านการสเตอโรไลซ์ดังที่กล่าวมาแล้วข้างต้น

4.7 ผลของปริมาณสารอิมัลชิฟายเออร์ร่วมกับการโซโนเจนไซด์ในระบบอาหารที่มีกะทิเป็นส่วนผสมแบบพีอีอชสูงต่อสมบัติและความคงตัวทางกายภาพของกะทิ

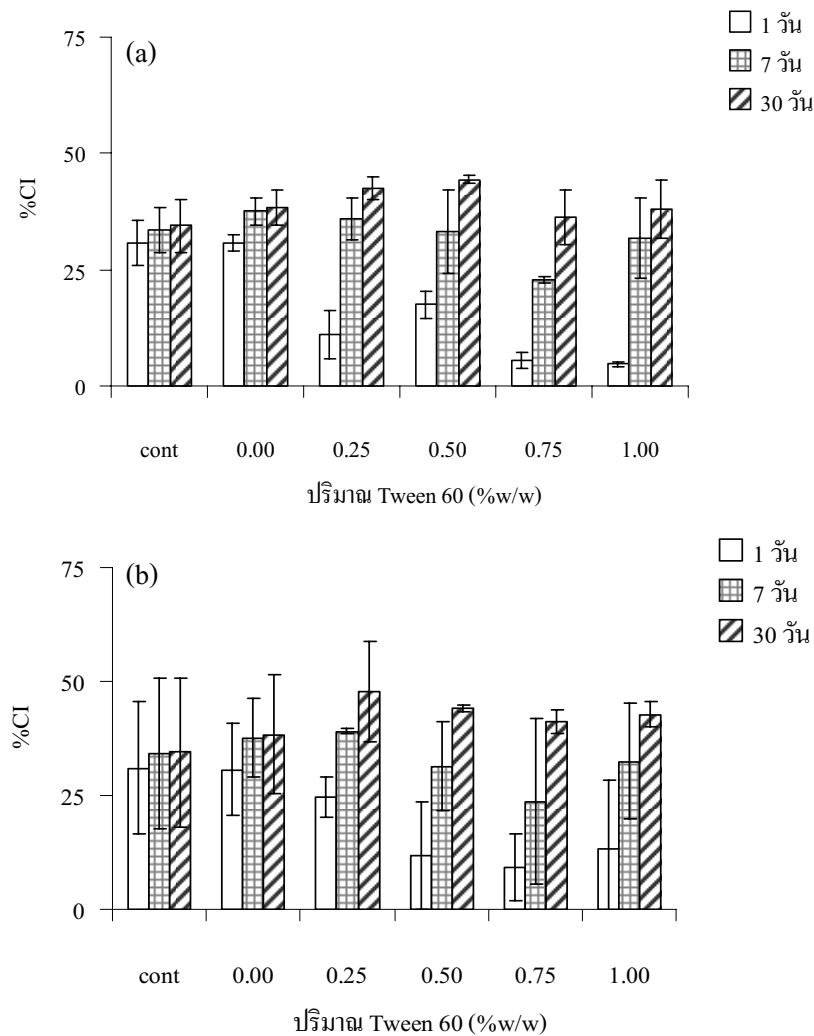
จากการศึกษาในระบบอาหารแบบพีอีอชสูง ได้แก่ แกงเผ็ดไก่และแกงเขียวหวานไก่ (สูตรอาหารแสดงดังภาคผนวก ข) ที่ผลิตโดยใช้กะทิที่ผ่านการโซโนเจนไซด์ร่วมกับ Tween 60 ที่ระดับความเข้มข้นร้อยละ 0-1.00 และ CMC ร้อยละ 0.60 ในตัวอย่างที่ผ่านกระบวนการสเตอโรไลซ์ด้วยความร้อน คือที่ระยะเวลาการเก็บรักษา 1 วัน พบร่วม ปริมาณ Tween 60 ที่เพิ่มน้ำส่วนลดอย่างมีนัยสำคัญทางสถิติ ($p<0.05$) กับค่า CI ที่ต่ำลง นั่นคืออาหารมีความคงตัวต่อการแยกชั้นสูงขึ้น แต่อย่างไรก็ตามเมื่อพิจารณาที่ระยะเวลาการเก็บรักษาที่ 7 และ 30 วัน กลับพบว่าค่า CI ของอาหารเพิ่มน้ำส่วนลดอย่างมีนัยสำคัญทางสถิติ ($p>0.05$) และจะมีค่า CI ต่ำกว่าตัวอย่างอาหารที่ไม่ผ่านการสเตอโรไลซ์เล็กน้อย (ภาพที่ 19 และภาพที่ 20 และตารางผนวกที่ 21 และ 22) นอกจากนี้จะเห็นได้ว่าอาหารสเตอโรไลซ์ที่ผลิตจากตัวอย่างกะทิควบคุม (ผ่านการโซโนเจนไซด์โดยไม่เติมสารสเตบิไลเซอร์) และผลิตจากกะทิที่ผ่านการโซโนเจนไซด์ร่วมกับ CMC เพียงอย่างเดียว จะมีตะกอนอ่อนเกิดขึ้น ซึ่งผลการทดลองมีลักษณะเช่นเดียวกันทั้งในตัวอย่างแกงเผ็ดไก่และแกงเขียวหวานไก่ (ภาพที่ 21a และ b) ที่เป็นเช่นนี้สามารถอธิบายเหตุผลได้ เช่นเดียวกับหัวข้อ 4.6 ส่วนอาหารที่ผลิตจากกะทิที่ผ่านการโซโนเจนไซด์ร่วมกับ Tween 60 (ร้อยละ 0.25-1.00) และ CMC ไม่พนการเกิดตะกอนอ่อน ดังที่กล่าวมาแล้วคือ Tween 60 นอกจากจะทำหน้าที่ดูดซับที่ผิวสัมผัสร่วมระหว่างน้ำมันและน้ำในระบบอิมัลชันทำให้เกิดความคงตัวแล้วยังสามารถเกิดพันธะกับองค์ประกอบอื่นๆ ในระบบได้ รวมถึงสามารถยึดเกาะกับโปรตีนที่เสียสภาพให้เขวนลอยอยู่ในผลิตภัณฑ์ได้ (Branen และคณะ, 2002)

นอกจากนี้เมื่อเปรียบเทียบค่า CI ของระบบอาหารสเตอโรไลซ์แบบพีอีอชต่ำ (ต้มยำไก่ ข้นและต้มยำไก่) กับอาหารสเตอโรไลซ์แบบพีอีอชสูง (แกงเผ็ดไก่และแกงเขียวหวานไก่) จะเห็นได้ว่าค่า CI ของระบบอาหารพีอีอชสูงมีค่าต่ำกว่า CI ของอาหารพีอีอชต่ำ ทั้งนี้เนื่องมาจากอาหารพีอีอชสูงมีส่วนผสมในสูตรซึ่งเป็นอนุภาคที่สามารถกระจายตัวและเขวนลอยอยู่จำนวนมากในระบบ

(เช่น พริกแกงและน้ำตาล) ทำให้ระบบมีค่าความหนืดสูงกว่าอาหารพีเอชต่ำ ซึ่งจากการทดลองพบว่าค่าความหนืดของต้มยำและต้มข่าอยู่ในช่วง 20.3-80.9 cP ส่วนความหนืดของแกงเผ็ดและแกงเขียวหวานอยู่ในช่วง 83.0-128.7 cP ดังนั้นจึงช่วยลดการเคลื่อนที่ของครีอปเลิฟน้ำมันและทำให้มีส่วนใส (serum) น้อยลง ส่งผลทำให้มี CI ต่ำลงด้วย นอกจากนี้อาจยังมีผลจาก pH ของอาหาร โดยพบว่าค่า pH ของต้มยำไก่น้ำข้นและต้มข่าไก่อยู่ในช่วง 4.52-4.81 ส่วนค่า pH ของแกงเผ็ดไก่และแกงเขียวหวานไก่อยู่ในช่วง 5.92-5.97 (ค่าความหนืดและ pH ของระบบอาหารสเตอโรไอลเซ็ตในตารางผนวกที่ 25) ซึ่งจะเห็นได้ว่าค่า pH ของอาหารแบบพีเอชต่ำมีค่าใกล้เคียงกับค่า pI ของโปรตีนกะทิ (pH 4-5) (Onsaard และคณะ, 2005, 2006) จึงส่งผลให้โปรตีนในกะทิเกิดการตกตะกอนทำให้ความคงตัวของอินมัลชันต่ำลงด้วย

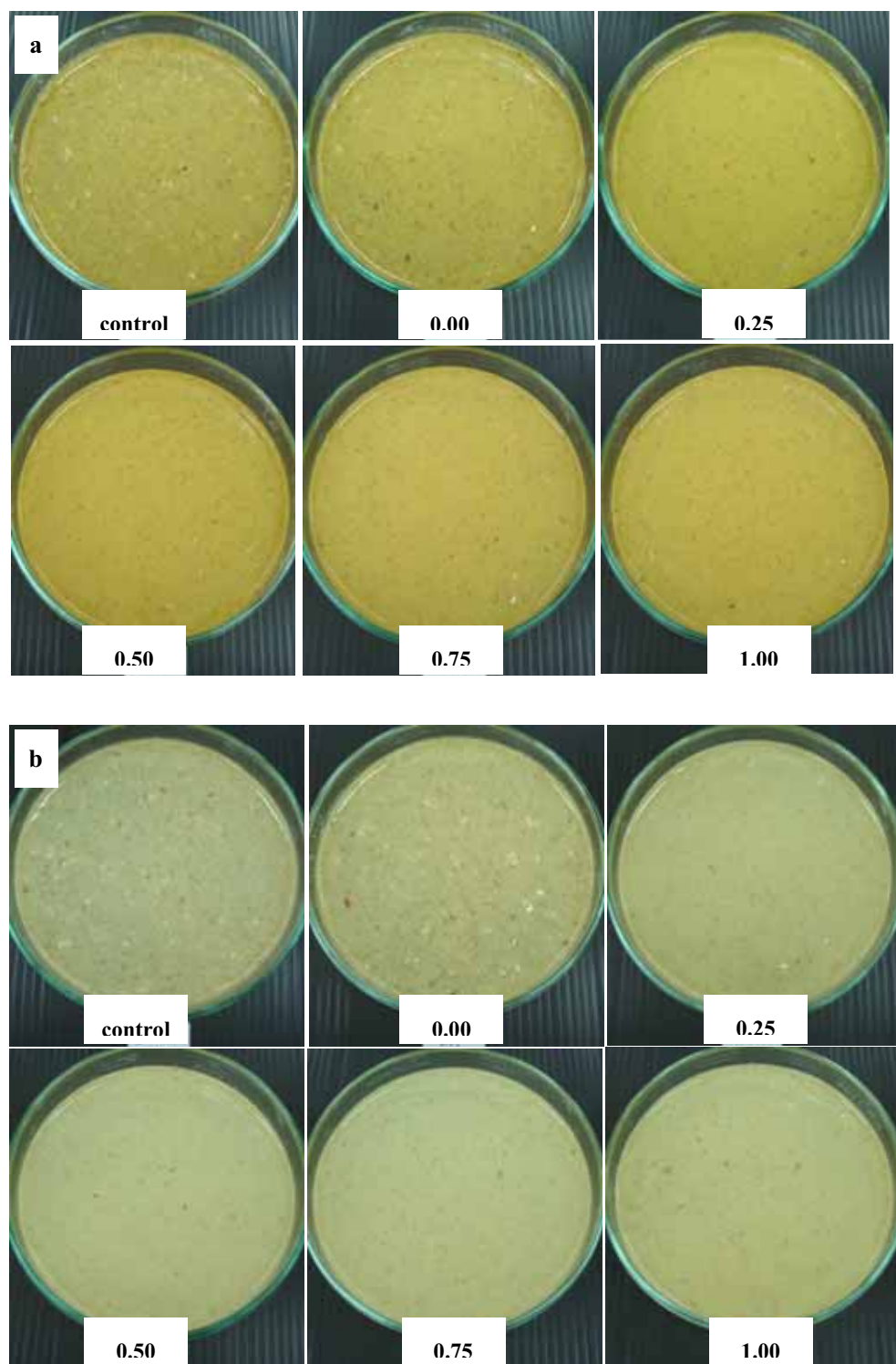


ภาพที่ 19 ผลของปริมาณ Tween 60 ต่อความคงตัวต่อการแยกชั้นครีมในส่วนของเหลวของแกงเผ็ดไก่ที่มี CMC ร้อยละ 0.60 ซึ่งไม่ผ่านการสเตอโรไอลเซ็ต (a) และผ่านการสเตอโรไอลเซ็ตด้วยความร้อน (b) (cont คือ อาหารที่ไม่มีการเติมสารสเตบิไลเซอร์)

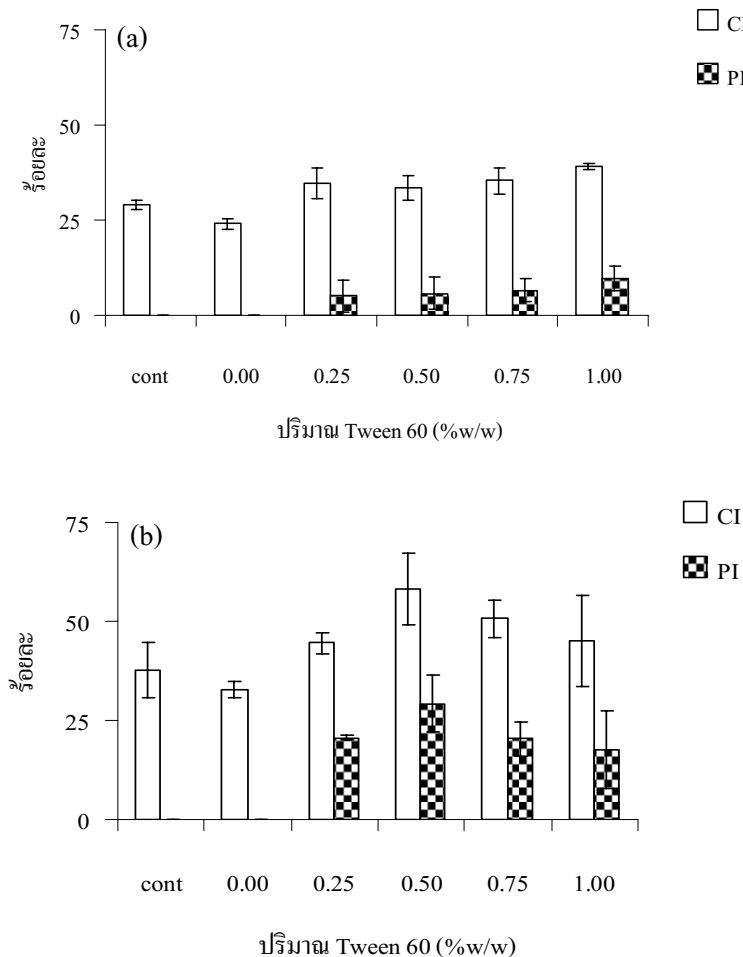


ภาพที่ 20 ผลของปริมาณ Tween 60 ต่อความคงตัวต่อการแยกชั้นครีมในส่วนของเหลวของ
แกงเขียวหวาน ไก่ที่มี CMC ร้อยละ 0.60 ซึ่งไม่ผ่านการสเตอโรไลซ์ (a) และผ่านการ
สเตอโรไลซ์ด้วยความร้อน (b) (cont คือ อาหารที่ไม่มีการเติมสารสเตบิไลเซอร์)

ส่วนตัวอย่างแกงเผ็ด ไก่และแกงเขียวหวาน ไก่ที่ผ่านกระบวนการแปรรูปแข็งและลายด้วย
ไมโครเวฟมีผลการทดลองคล้ายคลึงกับผลการทดลองในตัวอย่างต้มยำและต้มข่า ซึ่งพบว่าปริมาณ
Tween 60 ที่เพิ่มขึ้นส่งผลอย่างมีนัยสำคัญทางสถิติ ($p<0.05$) กับค่า CI ของส่วนของเหลวที่สูงขึ้น
ทั้งนี้ในตัวอย่างอาหารที่ผลิตจากกระทะที่ผ่านการโไฮโมจีไนซ์ร่วมกับ Tween 60 (ร้อยละ 0.25-1.00)
และ CMC จะมีส่วนของตะกอนที่ตกลงมาข้างด้านล่างของภาชนะจึงทำให้ค่า CI สูงขึ้น (ภาพที่ 22)
นอกจากนี้ยังพบว่ามีการแยกชั้นน้ำมันซึ่งมีแนวโน้มที่เพิ่มขึ้นตามปริมาณของ Tween 60 ที่เพิ่มขึ้น
 เช่นเดียวกัน (ภาพที่ 23 และตารางผนวกที่ 24) โดยในตัวอย่างแกงเผ็ดที่มี Tween 60 ร้อยละ 0.25,

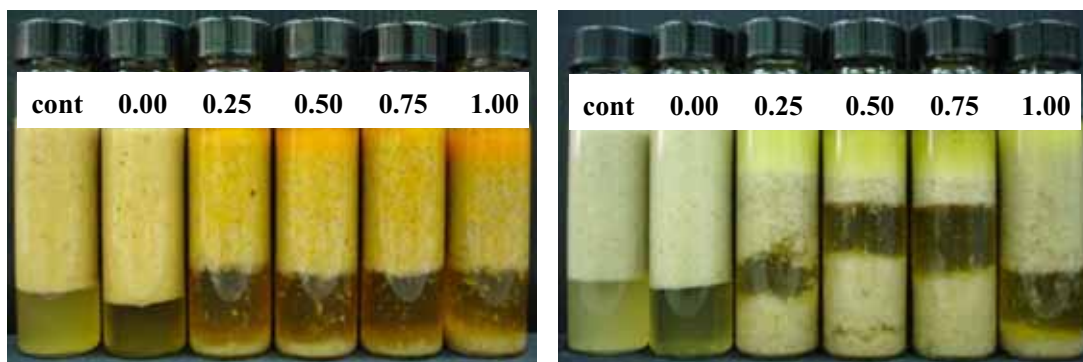


ภาพที่ 21 ผลของปริมาณ Tween 60 ต่อลักษณะส่วนของเหลวในผลิตภัณฑ์แกงเผ็ดไก่ (a) และ แกงเขียวหวานไก่ (b) ที่มี CMC ร้อยละ 0.60 หลังผ่านการสเตอโรไลซ์ด้วยความร้อน (b)
(cont คือ อาหารที่ไม่มีการเติมสารสเตบิไลเซอร์)



ภาพที่ 22 ผลของปริมาณ Tween 60 ต่อความคงตัวต่อการแยกชั้นครีม (CI) และการตกตะกอน (PI) ในส่วนของเหลวของแกงเผ็ดไก่ (a) และแกงเขียวหวานไก่ (b) ที่มี CMC ร้อยละ 0.60 หลังผ่านการแช่แข็ง-ละลายแล้วตั้งทิ้งไว้เป็นเวลา 1 วัน (cont คือ อาหารที่ไม่มีการเติมสารสเตบิไลเซอร์)

0.50, 0.75 และ 1.00 มีค่า OI เป็น 1.45 ± 0.51 , 2.35 ± 0.27 , 1.84 ± 0.05 และ 3.13 ± 0.25 ตามลำดับ ส่วนในตัวอย่างแกงเขียวหวาน มีค่า OI เป็น 1.50 ± 0.01 , 1.87 ± 0.01 , 2.99 ± 0.01 และ 1.69 ± 0.24 ตามลำดับ และเช่นเดียวกันกับลักษณะของผลิตภัณฑ์ต้มยำไก่น้ำข้นและต้มข่าไก่ภายหลังจากการให้ความร้อนด้วยไมโครเวฟ (แสดงภาพในภาคผนวก ข) จะเห็นได้ว่าแกงเผ็ดและแกงเขียวหวานที่ผลิตจากกะทิที่ผ่านการโชโนมิชีนิซ์โดยไม่เติมสารสเตบิไลเซอร์และผลิตจากกะทิที่ผ่านการโชโนมิชีนิซ์ร่วมกับ CMC จะมีการเกิดตะกอนอ่อนที่เกิดจากโปรตีนที่เสียสภาพแล้วเข้ามาเกาะกลุ่มกัน โดยสามารถจับตึงครึ่องปลีกน้ำมันไว้ภายในจังหวะไม่สังเกตเห็นการแยกชั้นน้ำมันเกิดขึ้น

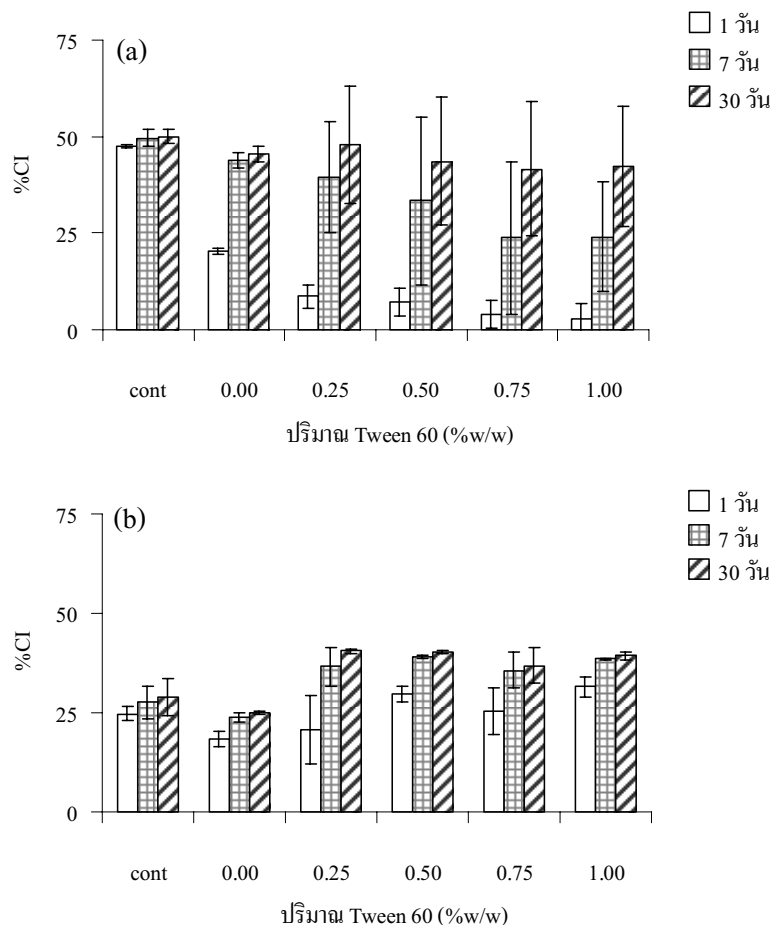


ภาพที่ 23 ผลของปริมาณ Tween 60 ต่อลักษณะการแยกชั้นของส่วนของเหลวของแกงเผ็ดไก่ (ซ้าย) และแกงเขียวหวานไก่ (ขวา) ที่มี CMC ร้อยละ 0.60 หลังผ่านการแช่แข็ง-ละลายแล้วตั้งทิ้งไว้เป็นเวลา 1 วัน (cont คือ อาหารที่ไม่มีการเติมสารสเตบิไลเซอร์)

4.8 ผลของปริมาณสารอิมัลซิฟายเออร์ร่วมกับการโซโนมิจีในระบบอาหารที่มีกะทิเป็นส่วนผสมแบบความเข้มข้นน้ำตาลสูงต่อสมบัติและความคงตัวทางกายภาพของกะทิ

จากการศึกษาในระบบอาหารแบบความเข้มข้นน้ำตาลสูง ได้แก่กลั่วบัวชี (สูตรอาหารแสดงดังภาคพนวก ๔) ที่ผลิตโดยใช้กะทิที่ผ่านการโซโนมิจีร่วมกับ Tween 60 ที่ระดับความเข้มข้นร้อยละ 0-1.00 และ CMC ร้อยละ 0.60 ในตัวอย่างที่ผ่านกระบวนการสเตอริไลซ์ด้วยความร้อน คือที่ระยะเวลาการเก็บรักษา 1 วัน พบว่า ปริมาณ Tween 60 ที่เพิ่มขึ้นส่งผลอย่างมีนัยสำคัญทางสถิติ ($p<0.05$) กับค่า CI ที่ต่ำลง นั่นคืออาหารมีความคงตัวต่อการแยกชั้นสูงขึ้น แต่อย่างไรก็ตามเมื่อพิจารณาที่ระยะเวลาการเก็บรักษาที่ 7 และ 30 วัน กลับพบว่าค่า CI ของอาหารเพิ่มสูงขึ้นจนมีค่าใกล้เคียงกันในทุกตัวอย่าง โดยไม่แตกต่างอย่างมีนัยสำคัญทางสถิติ ($p>0.05$) แต่จะมีค่า CI ต่ำกว่าตัวอย่างอาหารที่ไม่ผ่านการสเตอริไลซ์ (ภาพที่ 24 และตารางพนวกที่ 23) ทั้งนี้อาจเนื่องมาจากการเกิดการจับกันขององค์ประกอบที่มีโมเลกุลขนาดใหญ่ (เช่น โปรตีน และโปรไบเดรต) ภายหลังการให้ความร้อนส่งผลให้ความหนืดของอาหารเพิ่มขึ้นจึงมีความคงตัวต่อการแยกชั้นครึ่งสูงขึ้นด้วย โดยเฉพาะอย่างยิ่งในกลั่วบัวชีสเตอริไลซ์ที่ผลิตจากกะทิควบคุม (ผ่านการโซโนมิจีโดยไม่เติมสารสเตบิไลเซอร์) และผลิตจากกะทิที่ผ่านการโซโนมิจีร่วมกับ CMC เพียงอย่างเดียว ที่เกิดเป็นตะกอนอ่อนขนาดใหญ่มากกว่าตะกอนอ่อนที่พบในอาหารพีโอดำและพีโอดูสูง (ภาพที่ 25) เนื่องจากเกิดการจับกันของโปรตีนที่เสียสภาพและส่วนประกอบอื่นๆ ในอาหารได้ดังที่กล่าวมาแล้วข้างต้น และนอกจากนี้อาจเกิดจากการจับกันระหว่างสารแทนนิน (tannin) ที่อยู่ในกลั่วบัวชีกับโปรตีนกะทิ โดยแทนนินเป็นสารประกอบเชิงช้อนพอกโพลีฟินอล

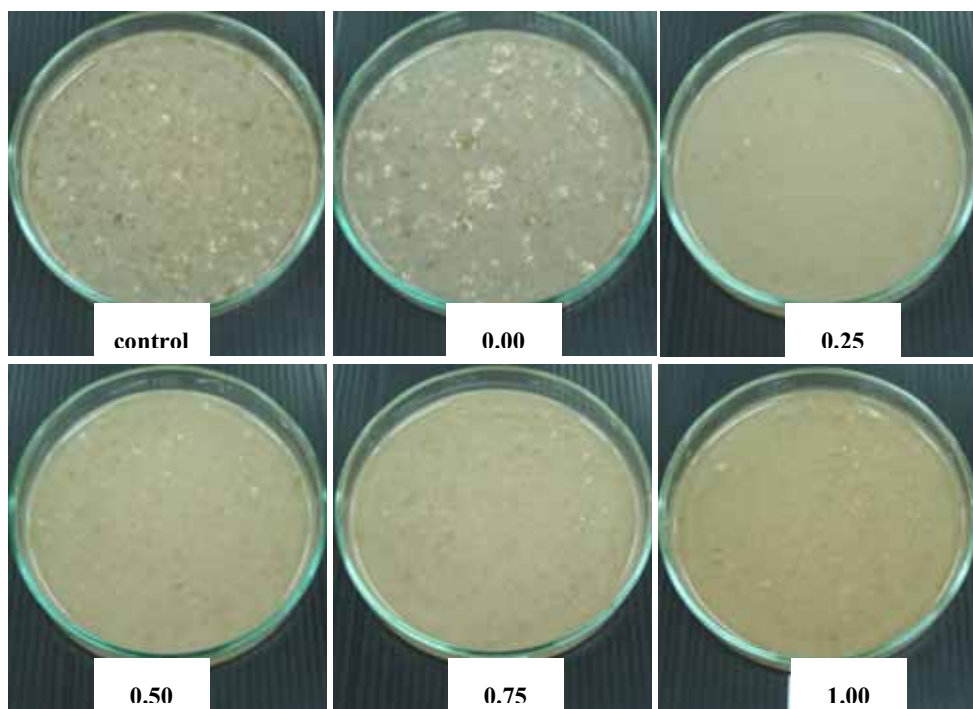
(polyphenols) ซึ่งสามารถสร้างพันธะไฮอ่อนนิกและพันธะไฮดรอเจนกับหมู่อะมิโน หมู่ไฮดรอกซิล และหมู่คาร์บอออกซิลในโมเลกุลโปรตีน ทำให้เกิดการตกตะกอนได้ (Fickel, Pitra, Joest และ Hofmann, 1999)



ภาพที่ 24 ผลของปริมาณ Tween 60 ต่อความคงตัวต่อการแยกชั้นครีมในส่วนของเหลวของกลวยบวชชีที่มี CMC ร้อยละ 0.60 ซึ่งไม่ผ่านการสเตอโรไลซ์ (a) และผ่านการสเตอโรไลซ์ด้วยความร้อน (b) (cont คือ อาหารที่ไม่มีการเติมสารสเตบิไลเซอร์)

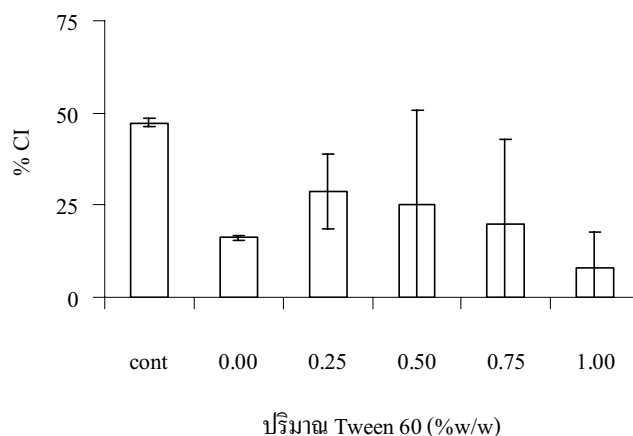
ส่วนตัวอย่างกลวยบวชชีที่ผ่านกระบวนการแช่แข็งและละลายด้วยไนโตรเรฟกลับพบว่าไม่เกิดการแยกชั้นน้ำมันและตะกอนอ่อนในตัวอย่างที่ผลิตจากกะทิที่ผ่านการไอยโไมจ์ในซึร่วมกับ Tween 60 (ร้อยละ 0.25-1.00) และ CMC (ร้อยละ 0.6) แต่เกิดตะกอนอ่อนในตัวอย่างที่ผลิตจากกะทิที่ผ่านการไอยโไมจ์ในซึโดยไม่เติมสารสเตบิไลเซอร์และเกิดตะกอนอ่อนเล็กน้อยในตัวอย่างที่ผลิตจากกะทิที่ผ่านการไอยโไมจ์ในซึร่วมกับ CMC เพียงอย่างเดียว โดยพบว่าค่า CI ของกลวยบวชชี

ที่มี CMC และ Tween 60 มีค่าต่ำกว่าค่า CI ของตัวอย่างกล้วยบัวชีที่ไม่มีการเติมสเตรบิไลเซอร์ และปริมาณ Tween 60 ที่เพิ่มขึ้นส่งผลอย่างมีนัยสำคัญกับค่า CI ที่ต่ำลง ($p<0.05$) (ภาพที่ 26 และ 27) ทั้งนี้เนื่องจากระบบอาหารแข็งที่มีความเข้มข้นน้ำตาลสูง (ในที่นี้มีความเข้มข้นของน้ำตาลในสูตรร้อยละ 15 โดยน้ำหนักส่วนผสมทั้งหมด) นอกจากน้ำตาลจะเพิ่มความหนืดให้กับระบบแล้ว ยังมีบทบาทในการเป็นสารป้องกันการสูญเสียคุณภาพของอาหารแข็งเยือกแข็ง (cryoprotectant) Saito และคณะ (1999) กล่าวว่า น้ำตาลอาจมีบทบาทในการเป็นโครงข่ายช่องว่าง (spacing matrix) ระหว่างคริอปเล็ท ช่วยป้องกันการรวมตัวของคริอปเล็ท หรือการเกิดปฏิกิริยาพันธะระหว่างโมเลกุล น้ำตาลและอินมาลซิฟายเออร์บิเวนผิวสัมผัสร่วม (interfacial membrane) ทำให้ bending energy บริเวณผิวสัมผัสร่วมสูงขึ้น จึงเป็นการเพิ่มพลังงานอิสระ (free energy) ในการเกิดสภาพการเปลี่ยนแปลงไปสู่การรวมตัวของคริอปเล็ท (coalescence transition state) ดังนั้นจึงช่วยลดการทำลายชั้นพิล์มของอินมาลซิฟายเออร์ที่อยู่รอบผิวคริอปเล็ทจากผลึกน้ำแข็งที่เกิดขึ้นในระหว่างการแข็งเยือก ทำให้คริอปเล็ทน้ำมันที่เคลื่อนที่เข้ามาใกล้กันไม่เกิดการรวมตัวกันเป็นชั้นน้ำมันหลังจากการละลาย นอกจากนี้ Thanasukarn, Pongsawatmanit และ McClements (2004) รายงานว่า การเติม

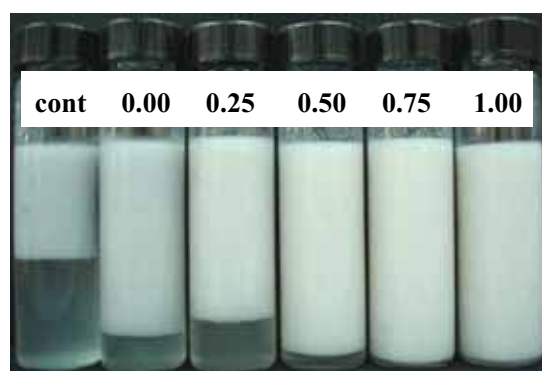


ภาพที่ 25 ผลของปริมาณ Tween 60 ต่อลักษณะส่วนของเหลวในผลิตภัณฑ์กล้วยบัวชีที่มี CMC ร้อยละ 0.60 หลังผ่านการสเตรบิไลเซ่ด้วยความร้อน (cont คือ อาหารที่ไม่มีการเติมสารสเตรบิไลเซอร์)

ชูโกรสความเข้มข้นร้อยละ 20 ในระบบอิมัลชันน้ำนมปาล์มไฮโดรเจนตที่มี WPI เป็นอิมัลซิฟายเออร์ สามารถลดความไม่คงตัวของอิมัลชันจากมากกว่าร้อยละ 90 เป็นร้อยละ 14 ส่วน Supratim, Grace และ Coupland (2006) กล่าวว่าการเพิ่มความเข้มข้นของน้ำตาลในอิมัลชันสามารถลดการเกิดผลึกน้ำแข็งในระหว่างกระบวนการแช่แข็งได้ จึงช่วยลดแรงดันที่เกิดจากความเข้มข้นที่สูงขึ้นในอิมัลชันซึ่งอาจมีผลต่อการจัดเรียงตัวของโปรตีนหรือ surfactant ที่บริเวณผิวสัมผัสร่วม (interface)



ภาพที่ 26 ผลของปริมาณ Tween 60 ต่อความคงตัวในการแยกชั้นครีม (CI) ในส่วนของเหลวของกลวยบัวชีที่มี CMC ร้อยละ 0.60 หลังผ่านการแช่แข็ง-ละลายแล้วตั้งทิ้งไว้เป็นเวลา 1 วัน (cont คือ อาหารที่ไม่มีการเติมสารสเตบิไลเซอร์)



ภาพที่ 27 ผลของปริมาณ Tween 60 ต่อลักษณะการแยกชั้นของส่วนของเหลวของกลวยบัวชีที่มี CMC ร้อยละ 0.60 หลังผ่านการแช่แข็ง-ละลายแล้วตั้งทิ้งไว้เป็นเวลา 1 วัน (cont คือ อาหารที่ไม่มีการเติมสารสเตบิไลเซอร์)

จากผลการวิเคราะห์ส่วนไส (serum) ในอาหารที่มีกะทิเป็นส่วนผสมที่ผลิตจากกะทิที่ผ่านการโซโนจีโนไซด์โดยไม่เติมสเตนบีไลเซอร์ทั้ง 5 ชนิดเปรียบเทียบกับส่วนไสของกะทิ (แสดงดังตารางที่ 9) จะเห็นได้ว่าปริมาณเดือนและเกลือแร่มีปริมาณสอดคล้องกับค่าความหนาแน่น โดยที่เฟสน้ำของแกงเผ็ดไก่ แกงเขียวหวานไก่ และกลวยบัวชีจะมีความหนาแน่นสูงกว่าต้มยำไก่น้ำข้นและต้มข่าไก่ เนื่องจากมีน้ำตาลและเกลือละลายอยู่ และถึงแม้ว่าในระบบอาหารจะมีปริมาณเกลือแร่ เช่น โซเดียมและฟอสฟอรัส ก่อนข้างสูงซึ่งจะส่งผลต่อความคงตัวของอิมัลชันกะทิตามที่มีในรายงานก่อนหน้า (Gonzalez และ Tanchuco, 1977; Kwon และ Rhee, 1996; Onsaard และคณะ, 2005, 2006) นอกจากนี้ยังมีรายงานอิทธิของโพแทสเซียม แมกนีเซียม และแคลเซียมต่อขนาดครึ่งปลีกและความคงตัวต่อการแยกชั้นครีม ในอิมัลชันชนิดน้ำมันในน้ำโดยมีเวลปอร์teinเป็นอิมัลซิฟายเออร์ พบว่าที่ความเข้มข้นของโพแทสเซียม แมกนีเซียม และแคลเซียมมากกว่า 10, 12.5 และ 5 mM ตามลำดับ ส่งผลทำให้ครึ่งปลีกมีขนาดใหญ่ขึ้น และมีความคงตัวต่อการแยกชั้นครีมลดลง เนื่องมาจากผลของการเกิดการบดบังประจุ (electrostatic screening) และการจับกันของประจุตรงข้ามของโปรตีนที่ผิวสัมผัสร่วม ทำให้ลดแรงผลักของปฏิกิริยาพันธ์อิเล็ก trotsแตติก (electrostatic repulsion) จึงทำให้ครึ่งปลีกสามารถเคลื่อนที่มาหากันกลุ่มหรือรวมตัวกันได้ (Kulmyrzaev, Silvestre และ McClements, 2000; Ramkumar และคณะ, 2000; Kulmyrzaev, และ Schubert, 2004) จึงส่งผลให้อิมัลชันในระบบอาหารมีความคงตัวน้อยลงได้

ตารางที่ 9 สมบัติของส่วนในตัวจำพวกเรหะร์เยกตัวน้ำของโลหะในอุตสาหกรรมที่ผลิตจากพื้นที่ที่ไม่ติดสารสกปรก

การวิเคราะห์	คงที่	ตุ่มยาน	ตุ่มบำรุง	แกงเผ็ด	แกงจืดหวาน	กลิ่นบูชาชีฟ
pH	6.29±0.02	4.73±0.23	4.91±0.14	5.88±0.12	5.91±0.08	5.35±0.15
กรด ^a	1.26±0.07	2.06±0.00	1.85±0.01	2.58±0.02	2.52±0.08	1.15±0.19
เกลือแร่ ^b						
- โซเดียม	0.0018 (1)	0.5600 (250)	0.5700 (255)	0.7300 (330)	0.7700 (382)	0.2800 (138)
- โพแทสเซียม	0.2100 (55)	0.4400 (116)	0.4500 (119)	0.5200 (139)	0.4300 (126)	0.2700 (79)
- ฟอฟอรัส	0.0380 (12)	0.0640 (21)	0.0610 (20)	0.0660 (22)	0.0570 (21)	0.0350 (13)
- แมกนีเซียม	0.0200 (8)	0.0380 (16)	0.0400 (17)	0.0300 (17)	0.0290 (14)	0.0240 (11)
- แคลเซียม	0.0042 (1)	0.0140 (4)	0.0120 (3)	0.0120 (3)	0.0090 (3)	0.0040 (1)
- เหล็ก	0.0001 (0)	0.0005 (0)	0.0004 (0)	0.0003 (0)	0.0002 (0)	0.0001 (0)
ความหนาแน่น ^c	1.015±0.006	1.027±0.000	1.027±0.000	1.039±0.001	1.141±0.002	1.135±0.003

^a ปริมาณร้อยละ โดยมีหน่วยของส่วนใน

^b ปริมาณร้อยละ โดยมีหน่วยของส่วนใน (กัตซ์วัลในมวลเฉลี่ยหน่วยเป็น mM)

^c ความหนาแน่นของเหลวที่มีค่าเดียวกันคือ 0.908±0.001 กิริมิตริกกรัมต่อลิตร

บทที่ 5

สรุปผลการทดลอง

5.1 กะทิมีโปรตีนเป็นองค์ประกอบอยู่น้อยเมื่อเทียบกับปริมาณไขมันประมาณ 10 เท่า และโปรตีนกะทิจะอยู่ในวัฏภาน้ำ (aqueous phase) หรือส่วนทางกะทิสูงกว่าหัวกะทิ ซึ่งมีโปรตีนร้อยละ 2.39 และ 1.19 ตามลำดับ

5.2 จากการทดลองสามารถแยกโปรตีนกะทิได้เป็น 4 ส่วน คือ 1) โปรตีนที่ไม่ละลายในกะทิ (IP) ซึ่งแยกมาจาก การเหวี่ยงน้ำกะทิ 2) โปรตีนที่ดูดซับรอบผิวครื้อปเลี้ยง (CCP) ซึ่งแยกได้จากการแช่แข็ง-ละลายหัวกะทิ 3) โปรตีนที่ละลายในหางกะทิ (CSP) ซึ่งแยกได้จากการไถของไลช์หางกะทิ และ 4) โปรตีนที่ไม่ละลายในหางกะทิ (ISP) ซึ่งแยกได้โดยการกรองหางกะทิที่ผ่านการไถของไลช์

5.3 จากการวิเคราะห์องค์ประกอบของโปรตีน (protein fractions) โดยวิธี SDS-PAGE พบว่าโปรตีนกะทิส่วนใหญ่มีโมเลกุลอยู่ในช่วง 14.4-66.2 กิโลดาตตัน โดย ISP, CCP และ IP มีน้ำหนักโมเลกุลในช่วง 14.4-66.2 กิโลดาตตัน ซึ่งสูงกว่า CSP ที่มีน้ำหนักโมเลกุลอยู่ในช่วง 14.4-32.0 กิโลดาตตัน

5.4 จากการศึกษาการเปลี่ยนแปลงเชิงความร้อนของโปรตีนโดยการใช้ DSC พบว่า โปรตีนกะทิจะเกิดการเสียสภาพธรรมชาติ (T_g) ที่อุณหภูมิประมาณ 90°C แต่อย่างไรก็ตามที่ อุณหภูมิประมาณ 84°C โปรตีนกะทิจะเริ่มเกิดการเสียสภาพธรรมชาติ (onset temperature) ทำให้ สูญเสียคุณสมบัติในการเป็นอิมัลชันฟายเออร์จึงทำให้กะทิเกิดการแยกชั้นครีมและแตกมันได้ง่าย โดยเฉพาะอย่างยิ่งเมื่อผ่านการกระบวนการให้ความร้อน

5.5 การโซโนจีไนซ์กะทิกรณีไม่เติมสารสเตเบิลเซอร์ พบว่าเมื่อเพิ่มระดับความดันและจำนวนรอบในการโซโนจีไนซ์ส่งผลให้ขนาดของครื้อปเลี้ยงเล็กลงและมีความคงตัวต่อการแยกชั้นครีมเพิ่มขึ้นอย่างมีนัยสำคัญทางสถิติ ($P<0.05$) ส่วนในกรณีที่เติมสาร CMC หรือ Tween 60 พบว่าการเพิ่มความดันและจำนวนรอบในการโซโนจีไนซ์ไม่ได้ทำให้ขนาดครื้อปเลี้ยงเล็กลงอย่างมีนัยสำคัญทางสถิติ ($P>0.05$) โดยที่ความดัน 23/4 MPa และโซโนจีไนซ์ 1 รอบ ให้กะทิที่มีขนาดครื้อปเลี้ยงเล็ก มีความคงตัวต่อการแยกชั้นครีมสูง เมื่อโซโนจีไนซ์กะทิร่วมกับ Tween 60 (ร้อยละ 0.25-1.00) และ CMC (ร้อยละ 0.60) ทำให้ได้กะทิที่มีความคงตัวต่อการแยกชั้นครีมสูง และมีลักษณะเป็นเนื้อดียกันหลังเขย่าผสม ทึบในตัวอย่างก่อนและหลังสเตอริไลซ์

5.6 ปริมาณ Tween 60 มีผลต่อการเกิดตะกอนอ่อน การแยกชั้นน้ำมัน และการตกรตะกอนในผลิตภัณฑ์อาหารแบบพีอีอชต์ (ต้มยำไก่น้ำข้นและต้มข่าไก่) พีเอชสูง (แกงเผ็ดและแกงเขียวหวานไก่) และแบบความเข้มข้นน้ำตาลสูง (กล้วยบวชชี) สำหรับอาหารสเตอริไลซ์ที่ผลิตจากกะทิที่ผ่านการโโซโนเจนร่วมกับ Tween 60 (ร้อยละ 0.25-1.00) และ CMC (ร้อยละ 0.60) ทำให้ได้ผลิตภัณฑ์ที่ไม่เกิดตะกอนอ่อน การแยกชั้นน้ำมัน และการตกรตะกอน ส่วนของเหลวในผลิตภัณฑ์สามารถเขย่าผสมเป็นเนื้อเดียวกันได้ ส่วนอาหารแบบเดียวกันแต่ผ่านการแช่แข็ง-ละลายทำให้ได้ผลิตภัณฑ์ที่มีการแยกชั้นน้ำมันและการตกรตะกอน ซึ่งมีแนวโน้มเพิ่มขึ้นตามปริมาณ Tween 60 ที่เพิ่มขึ้น ยกเว้นในผลิตภัณฑ์กล้วยบวชชีแช่แข็งที่ไม่พบการแยกชั้นน้ำมันและการตกรตะกอน ดังนั้นจึงสามารถควบคุมระดับการแตกมัน และลักษณะปรากฏของส่วนของเหลวในผลิตภัณฑ์โดยการเติม Tween 60 ในปริมาณที่เหมาะสมกับผลิตภัณฑ์แต่ละชนิด

บรรณานุกรม

- กรอกา อรรถนิตรี. 2539. การผลิตน้ำกะทิคืนรูปเปล่ง ไขมันบางส่วนด้วยน้ำมันพืชบรรจุกระป๋อง. วิทยานิพนธ์ปริญญาโท. มหาวิทยาลัยเกษตรศาสตร์, กรุงเทพฯ.
- จันทินา ภูงามเงิน. 2546. ผลของความดันในการโซโนจีไนส์และสภาวะในการผ่า เชือต่อความคงตัวของน้ำกะทิไขมันสูง. วิทยานิพนธ์ปริญญาโท. มหาวิทยาลัยเทคโนโลยีพระจอมเกล้าฯ-ชัชนาบุรี, กรุงเทพฯ.
- ทศพรพรรณ รัตนภักดี และ สุคนธ์ชื่น ศรีงาม. 2546. การผลิตน้ำกะทิดัดแปลงไขมัน. การประชุมทางวิชาการของมหาวิทยาลัยเกษตรศาสตร์ ครั้งที่ 41: สาขอาชีวศึกษาและนวัตกรรมเกษตร มหาวิทยาลัยเกษตรศาสตร์, กรุงเทพฯ. 61-68.
- เทพกัญญา ตันติโยทัย. 2545. ผลของอิมัลซิไฟเออร์และแซนแทกนัมต่อความคงตัวของอิมัลชันชนิดน้ำมันในน้ำและการนำไปใช้ในอาหาร. วิทยานิพนธ์ปริญญาโท. มหาวิทยาลัยเกษตรศาสตร์, กรุงเทพฯ.
- ประสงค์ ทุ่งเก้า. 2531. การใช้สารอิมัลซิไฟเออร์และกัมในการรักษาความคงตัวของน้ำกะทิบรรจุกระป๋อง. วิทยานิพนธ์ปริญญาโท. มหาวิทยาลัยเกษตรศาสตร์, กรุงเทพฯ.
- ศิริวรรณ เนติราวนท์. 2528. ความคงตัวของน้ำกะทิ. ปัจจัยพิเศษปริญญาโท. มหาวิทยาลัยเกษตรศาสตร์, กรุงเทพฯ.
- สุกัญญา สุนทรส. 2549. อิเล็กโทร โฟร์ซิส. สำนักพิมพ์แห่งจุฬาลงกรณ์มหาวิทยาลัย. กรุงเทพฯ.
- สุคนธ์ชื่น ศรีงาม. 2531. การเตรียมและการรักษาความคงตัวของน้ำกะทิบรรจุกระป๋อง. การประชุมทางวิชาการของมหาวิทยาลัยเกษตรศาสตร์ ครั้งที่ 26: สาขาวิทยาศาสตร์และเทคโนโลยี. มหาวิทยาลัยเกษตรศาสตร์, กรุงเทพฯ. 309-316.
- สุคนธ์ชื่น ศรีงาม. 2542. การแยกน้ำมันมะพร้าวจากกะทิ. วิทยาระบบทฤษฎี (สาขา วิทยาศาสตร์) 33(3): 444-451.
- เอกสิทธิ์ อ่อนสะอาด. 2540. การผลิตและการศึกษาอายุการเก็บน้ำกะทิแปลงไขมันบรรจุกระป๋อง. วิทยานิพนธ์ปริญญาโท. มหาวิทยาลัยเกษตรศาสตร์, กรุงเทพฯ.
- AOAC. 2000. Official Methods of Analysis. 17th edition., AOAC International. USA.
- APCC, 1994. International Codes and Standard for Aqueous Coconut Products, 2nd Draft. Standards Task Force, Asian and Pacific Coconut Community, Jakarta.
- Anon. 1984. Coconut cream. University of Minnesota, USA.
- Anon. 1988. Regulations 253 and 254. Food (Amendment) Regulations, Malasia.

- Arumughan, C., Balachandran, C. and Sunderesan, A. 1993. Development of a process for coconut cream on commercial scale. *Journal of Food Science and Technology* 30(6): 408–412.
- Becher, P. 1965. Emulsion : Theory and Pratice. 2nd edition. Reinhold Publishing Corporation, New York.
- Birosel, D. M., Gonzales, A. L. and Santos, M. P. 1963. The nature and properties of the emulsifier system of oil globulins in coconut milk and cream. *The Philippine Journal of Science* 92(1): 1–15.
- Branen, A. L., Davison, P. M. and Salminen, S. 2002. *Food Additives*. Marcel Dekker, New York.
- Buccat, E.F., Gonzalez A.L. and Manalac G.C. 1973. Production of Protein and Other Food Products from Coconut, Labboratory Phase, NIST Project Report.
- Cancel, L.E. 1979. Coconut food products and bases. In *Coconuts: production, processing, products*. 2nd edition, Ed. Woodrooff, J.G, Westport, Conn. AVI Publishing. 162–87.
- Capulso, S.A., Gonzales, A.L. and Celestino, V.G. 1981. Studies on the isolation and functional characteristics of protein from coconut skim milk . *The Philippine Journal of Science*. 2 (1): 25-32.
- Das, K.P. and Kinsella, J.E. 1990. Stability of food emulsion : Physicochemical role of protein and non protein emulsifier. *Advance Food Nutrition Research* 34: 81-201.
- del Rosario, R. R. and Punzalan, G. C. 1977. Quality control of coconut milk processing: Emulsion stability studies. *The Philippine Journal of Coconut Studies* 2(4): 9–14.
- Dickinson, E. 1992. *An Introduction to Food Colloids*. Oxford Science Publishers, Oxford.
- Dickinson, E. and Stainsby, G. 1982. *Colloids in Foods*. Applied Science Publishers, London.
- Dickinson, E., Golding, M. and Povey, M. J. W. 1997. Creaming and flocculation of oil-in-water emulsions containing sodium caseinate. *Journal of Colloid and Interface Science* 185(2): 515–529.
- Escueta, E.E. 1980. Stability studies on coconut milk and plant protein isolates based products. I : Physical properties. *Philippine Journal Study* 5(1): 63-67.

- Fickel, J., Pitra, Ch., Joest, B. A. and Hofmann, R. R. 1999. A novel method to evaluate the relative tannin-binding capacities of salivary proteins. Comparative Biochemistry and Physiology Part C, 122: 225–229.
- Glicksman, M. 1976. Gelling hydrocolloids in food product application. In Polysaccharides in Foods. Ed. Blanshard, J.M.V. and Mitchell, J.R. Butterworths, London.
- Gonzalez, O.N. 1990. Coconut milk. In *Coconut as food Philippines: Philippine Coconut Research and Development Foundation*. edited by Banzon, J.A; Gonzalez, O.N; de Leon, S.Y; Sanchez, P.C, Quezon City. 15–48.
- Gonzalez, O.N. and Tanchuco, R.H. 1977. Chemical composition and functional properties of coconut protein isolate (CPI). Philippine Journal of Coconut Studies 2(1):21–30.
- Grimwood, B.E. 1975. Coconut palm products :their processing in developing countries. Food and Agriculture Organization of the United Nations. Rome.
- Gunetileke, K.G. and Laurentius, S. F. 1974. Conditions for the separation of oil and protein from coconut milk emulsion. Journal of Food Science 39: 230–233.
- Jeganathan, M. 1970. Report of the officer-in-charge; Chemistry Division. Ceylon Coconut Research Institute. Ceylon Coconut Quarterly. 21: 13-21.
- Kulmyrzaev, A.A., Silvestre, M. P. C. and McClements, D. J. 2000. Rheology and stability of whey protein stabilized emulsions with high CaCl₂ concentrations. Food Research International, 33: 21–25.
- Kulmyrzaev, A.A. and Schubert , H., 2004. Influence of KCl on the physicochemical properties of whey protein stabilized emulsions. Food Hydrocolloids 18: 13–19.
- Kwon, K. S., Park, K. H. and Rhee, K. C. 1996. Fractionation and characterization of proteins from coconut (*Cocos nucifera L.*). Journal of Agricultural and Food Chemistry 44(7): 1741–1745.
- Kwon, K. S. and Rhee, K. C. 1996. Emulsifying capacity of coconut proteins as a function of salt, phosphate, and temperature. Journal of American Oil Chemists' Society 73(12): 1669–1673.
- Laemmli, U. K. 1970. Cleavage of structural proteins during the assembly of the head of bacteriophage T4. Nature. 227: 680–685.

- Luis, E.S. 1969. Characterization of Coconut Skim Milk Proteins. M.S. thesis. University of Philippines. Los Banos. College. Laguna.
- McClements, D. J. 2005. Food emulsions: Principles, practices and techniques. 2nd edition. CRC Press. Boca Raton, FL.
- McGlone, O.C., Canales, A.L.M. and Carter, J.V., 1986. Coconut oil extraction by a new enzymatic process. *Journal of Food Science* 51(3): 695–697.
- Monera, O. D. and del Rosario, E. J. 1982. Physico-chemical evaluation of the natural stability of coconut milk emulsion. *Annals of Tropical Research* 4(1): 47–54.
- Nathaneal, W. R. N. 1954. Proximate composition of protein. *Ceylon Coconut Quarterly*. 5: 108.
- Onsaard, E., Vittayanont, M., Sringam, S. and McClements, D. J. 2005. Properties and stability of oil-in-water emulsions stabilized by coconut skim milk proteins. *Journal of Agricultural and Food Chemistry* 53(14): 5747–5753.
- Onsaard, E., Vittayanont, M., Sringam, S. and McClements, D. J. 2006. Comparison of properties of oil-in-water emulsions stabilized by coconut cream proteins with those stabilized by whey protein isolate. *Food Research International* 39(1): 78–86.
- Onsaard, E. 2008. Preparation, Functional and Modification of coconut milk protein. Ph.D dissertation . Food Technology. Prince of Songkla University. Thailand.
- Osborne, T. B. 1924. The Vegetable Proteins, 2nd edition., Longmans Green and Company, London. 154 p.
- Peamprasart, T. and Chiewchan, N. 2006. Effect of fat content and preheat treatment on the apparent viscosity of coconut milk after homogenization. *Journal of Food Engineering* 77: 653-658.
- Popper, K., Notter, G. G. and Nurry, F. S. 1966. New products from coconut: non-dairy chip dips and cream cheese. *Food Processing and Marketing* 27: 92-96.
- Ramkumar, C., Singh, H., Munro, P.A. and Singh, A.M. 2000. Influence of Calcium, Magnesium, or Potassium Ions on the Formation and Stability of Emulsions Prepared Using Highly Hydrolyzed Whey Proteins. *Journal of Agricultural and Food Chemistry* 48 (5): 1598–1604.

- Saito, H., Kawagishi, A., Tanaka, M., Tanimoto, T., Okada, S., Komatsu, H. and Handa, T. 1999. Coalescence of lipid emulsions in floating and freeze-thawing processes: examination of the coalescence transition state theory. *Journal of Colloid and Interface Science* 219 (1):129-134.
- Seow, C.C. and Gwee, C.N. 1997. Coconut milk: chemistry and technology. *International Journal of Food Science Technology* 32(3): 189–201.
- Sharma, S.C. 1981. Gums and hydrocolloid in oil-water emulsion. *Food Technology* 35: 59-67.
- Simuang, J.; Chiewchan, N. and Tansakul, A. 2004. Effects of fat content and temperature on the apparent viscosity of coconut milk. *Journal of Food Engineering* 64: 193-197.
- Sringam, S. 1997. The development and testing of a coconut cheese production technology. United Nations Industrial Development organization: ISED/R.85. 1-70.
- Sringam, S. 1999. Coconut oil separation from coconut milk. *Kasetsart Journal (Nat. Sci)* 33: 444-451.
- Srithunma, S. 2002. Effects of fat content and homogenization pressure on apparent viscosity of coconut milk. Thesis for the Master's Degree of Food Engineering. Faculty of Engineering. King Mongkut's University of Technology Thonburi. Thailand.
- Supratim, G., Grace L.C, and Coupland, J.N. 2006. Effect of aqueous composition on the freeze-thaw stability of emulsions. *Colloids and Surfaces A: Physicochemical and Engineering Aspects* 272: 82–88.
- Tangsuphoom, N. and Coupland, J. N. 2005. Effect of heating and homogenization on the stability of coconut milk emulsions. *Journal of Food Science* 70(8): 466–470.
- Tangsuphoom, N. and Coupland, J.N. 2008. Effect of surface-active stabilizers on the microstructure and stability of coconut milk emulsions. *Food Hydrocolloids* 22(7): 1233-1242.
- Tangsuphoom, N. and Coupland, J.N. 2009a. Effect of thermal treatments on the properties of coconut milk emulsions prepared with surface-active stabilizers. *Food Hydrocolloids* 23: 1792–1800.
- Tangsuphoom, N. and Coupland, J.N. 2009b. Effect of surface-active stabilizers on the surface properties of coconut milk emulsions. *Food Hydrocolloids* 23: 1801–1809.

- Teixeira-Neto, R.O., Vitali, A.A., Delazari, I., Ubaldi-Eiroa, M.N. and Ferreira, V.L.P. 1985. Commercial sterilization of coconut milk on an industrial scale. Boletim-do-Instituto-de-Tecnologia-de-Alimentos 22:437-446.
- Thanasukarn, P., Pongsawatmanit, R. and McClements, D. J. 2004a. Impact of fat and water crystallization on the stability of hydrogenated palm oil-in-water emulsions stabilized by whey protein isolate. Colloids and Surfaces A: Physicochemical and Engineering Aspects 246(1–3): 49–59.
- Timmins, W. H. and Kramer, E. C. 1977. The canning of coconut cream. Philippines Journal of Coconut Studies 2(4): 15–25.
- Tinoco, I.Jr.; Sauer, K. and Wang, J.C. 1995. Physical Chemistry: Principles and Application. In Biological Sciences. Prentice-Hall, Inc., New Jersey.
- Walstra, S. 1996. Dispersed systems: basic considerations. In Food Chemistry, 3rd edition, Ed. Fennema,O.R, Marcel Dekker, Inc., New York. 95-15.
- Wikipedia. Coconut oil [Online]. Accessed 12 May 2010. Available from http://en.wikipedia.org/wiki/Coconut_oil

ภาคผนวก

ภาคผนวก ก

การวิเคราะห์คุณลักษณะทางเคมี

การวิเคราะห์คุณลักษณะทางเคมี

1. ปริมาณความชื้น (AOAC, 2000)

ชั่งตัวอย่างที่ทราบน้ำหนักแห้ง่อนประมาณ 2 กรัม ให้ได้น้ำหนักแห้ง่อนในภาชนะอะลูминีียมฝาปิดที่ผ่านการอบจนน้ำหนักคงที่ นำไปอบในตู้อบลมร้อนที่อุณหภูมิ 105°C เป็นเวลา 5 ชั่วโมง ทิ้งให้เย็นในโคลด์ความชื้น และชั่งน้ำหนัก ทำการอบซ้ำอีก 1 ชั่วโมง หรือจนได้น้ำหนักคงที่ (± 0.003 กรัม) คำนวณปริมาณความชื้น โดยน้ำหนักเปียก (wet basis) จาก

$$\text{ความชื้น (ร้อยละ)} = \frac{(\text{n้ำหนักตัวอย่างก่อนอบ} - \text{n้ำหนักตัวอย่างหลังอบ}) \times 100}{\text{n้ำหนักตัวอย่างก่อนอบ}}$$

2. ปริมาณไขมัน Modified Mojonnier (AOAC, 2000)

ชั่งตัวอย่างที่ทราบน้ำหนักแห้ง่อนประมาณ 10 กรัม (หรือ 10 ± 0.01 มิลลิลิตร) ใส่ลงไปในหลอดสักดําไขมัน ทำการสักดํา 3 ครั้ง ดังนี้

สักดครั้งที่ 1 ทำโดยเติมแอมโมเนียมไฮดรอกไซด์ 1.5 มิลลิลิตร ลงไปในขวดสักดําไขมัน ผสมให้เข้ากันดี เติมเอทิลแอลกอฮอล์เข้มข้นร้อยละ 95 ลงไป 10 มิลลิลิตร ปิดขวดสักดําด้วยจุกคอร์กชูบนำให้เปียกพอหมาด แล้วเบี่ยงขวดสักดํานาน 1.50 นาที เติมเอทิลออกไซด์ 1.50 มิลลิลิตร ปิดจุกให้แน่นแล้วเบี่ยงนาน 1.50 นาที ตึงขวดสักดําไขมันไว้ 20 นาที ของเหลวในขวดจะแยกเป็นสองชั้น เมื่อชั้นไขมันที่อยู่ส่วนบนใสเดือดแล้ว เปิดจุกยางออก ล้างเอาไขมันที่ติดจุกออกด้วยอีเทอร์เลิกน้อย รวมลงในขวดสักดํา เอาจุกขวดไฟฟอนที่เตรียมไว้ใส่แทนจุกเดิม เป่าไขมันที่มีอยู่ส่วนบนให้ไหลงใน flask (ทราบน้ำหนักแห้ง่อน) ที่เตรียมไว้

สักดครั้งที่ 2 ทำโดยเติมเอทิลแอลกอฮอล์เข้มข้นร้อยละ 95 ลงไป 5 มิลลิลิตร ปิดขวดสักดําแล้วเบี่ยงนาน 30 วินาที เติมเอทิลออกไซด์ 15 มิลลิลิตรและปีโตรเลียมอีเทอร์ 15 มิลลิลิตร ปิดจุกให้แน่นแล้วเบี่ยงนาน 30 วินาที ตึงขวดสักดําไขมันไว้จนของเหลวแยกชั้น เมื่อชั้นไขมันที่อยู่ส่วนบนใสเดือดแล้ว เปิดจุกยางออก ล้างเอาไขมันที่ติดจุกออกด้วยอีเทอร์เลิกน้อยรวมลงในขวดสักดํา เอาจุกขวดไฟฟอนที่เตรียมไว้ใส่แทนจุกเดิม เป่าไขมันที่มีอยู่ส่วนบนให้ไหลงใน flask รวมกับการสักดครั้งที่ 1

สกัดครั้งที่ 3 ทำเช่นเดียวกับการสกัดครั้งที่ 2 แต่ไม่เติมเอทิลแอลกอฮอล์ จากนั้นจึงนำ flask ที่ได้จากการสกัดทั้ง 3 ครั้ง ไปรีดเย็นเอาตัวทำละลายออก โดยนำไประดใหญ่ในอ่างน้ำควบคุม อุณหภูมิที่ 100°C จนแห้ง จึงนำไปอบแห้งที่อุณหภูมิ 60°C ในตู้อบลมร้อนจนได้น้ำหนักคงที่ คำนวณปริมาณไขมัน

$$\text{ไขมัน (ร้อยละ)} = \frac{\text{น้ำหนักของไขมันที่สกัดได้} \times 100}{\text{น้ำหนักของตัวอย่าง}}$$

3. ปริมาณโปรตีน (AOAC, 2000)

ชั่งตัวอย่างที่ทราบน้ำหนักแน่นอนประมาณ 5 กรัม (หรือ 5 ± 0.01 มิลลิกรัม) ใส่ลงไปในหลอด Kjeldahl ขนาด 500 มิลลิลิตร เติมโซเดียมซัลเฟต (หรือโซเดียมซัลเฟต) 15 กรัม และคอปเปอร์ซัลเฟต 2 กรัม เติมกรดซัลฟูริกเข้มข้น 25 มิลลิลิตร ใส่เม็ดแก้ว (glass bead) 3-4 เม็ด แล้วนำไปย่อยโดยใช้เครื่องย่อยโปรตีน ช่วงแรกใช้อุณหภูมิ 180°C นาน 20 นาที แล้วจึงปรับอุณหภูมิสูงขึ้น เป็น 380°C ย่อยงานสารละลายใส่มีสีเหลืองอ่อนหรือไม่มีสี ตั้งทิ้งไว้จนเข็นจึงเดินนำกลับ 300 มิลลิลิตร เติมสารละลายโซเดียมไฮดรอกไซด์เข้มข้นร้อยละ 50 ปริมาตร 75 มิลลิลิตรนำไปประกอบเข้ากับเครื่องกลั่น ให้ปลายของเครื่องความแน่นอยู่ในสารละลายกรดอิกริกเข้มข้นร้อยละ 4 ปริมาตร 50 มิลลิลิตร และอินดิเคเตอร์ (เมทิลเรด: โบโรโนมิคริโซลกรีน อัตราส่วน 1:5) 3 หยด กลั่น แยกโอมโนเนียลงในขวดจนได้สารละลายในขวดประมาณ 200 มิลลิลิตร แล้วนำไปไหเทรตกับกรดไฮド록โลริกเข้มข้น 0.1 N (เทียบมาตรฐานด้วยสารละลายไคโซเดียมเตตระบอร์เตเคคไฮเดรต) จนได้สารละลายสีชมพู และทำ blank เช่นเดียวกับตัวอย่าง คำนวณหาปริมาณโปรตีน

$$\text{โปรตีน (ร้อยละ)} = \frac{(A-B)(M)(1.4007)(6.25)}{W}$$

A = ปริมาตร (มิลลิลิตร) ของสารละลายมาตรฐานกรดไฮด록โลริกที่ใช้ไหเทรตกับตัวอย่าง

B = ปริมาตร (มิลลิลิตร) ของสารละลายมาตรฐานกรดไฮด록โลริกที่ใช้ไหเทรตกับ blank

M = ความเข้มข้น (โมลาร์) ของสารละลายมาตรฐานกรดไฮด록โลริก

W = น้ำหนักตัวอย่างเป็นกรัม

4. ปริมาณถ้า (AOAC, 2000)

ชั่งตัวอย่างที่ทราบน้ำหนักแน่นอนประมาณ 5 กรัม ใส่ในถ้วยกระเบื้อง (crucible) ที่ผ่านการอบจนทราบน้ำหนักคงที่ นำตัวอย่างไปเผาจนหมดครวัณหรือระเหยน้ำออกจนแห้ง แล้วเข้าเตาเผาที่อุณหภูมิ 550°C ประมาณ 2 ชั่วโมง หรือจนตัวอย่างมีสีขาวหรือเทา ทิ้งให้เย็นในถ้อดูดความชื้น ชั่งน้ำหนักและคำนวณปริมาณถ้าจาก

$$\text{ถ้า (ร้อยละ)} = \frac{\text{น้ำหนักตัวอย่างหลังเผา} \times 100}{\text{น้ำหนักตัวอย่างเริ่มต้น}}$$

5. ปริมาณแร่ธาตุ

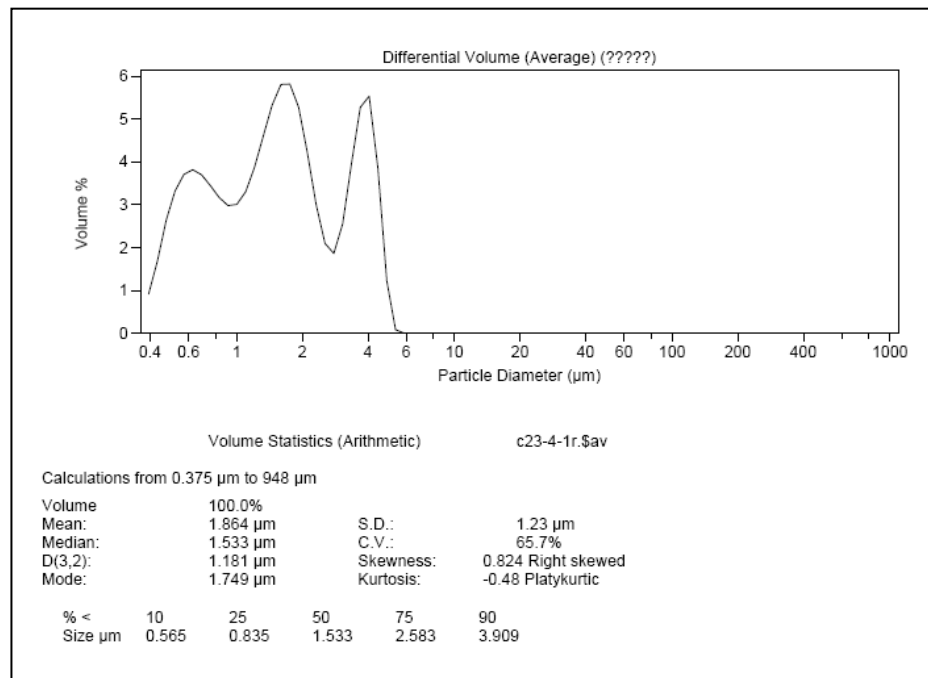
การหาปริมาณแร่ธาตุด้วยเครื่อง Inductively Coupled Plasma Spectrometer (ICP) (Varian, Liberty 220, USA) ซึ่งเป็นเครื่องมือที่ใช้ในการตรวจวิเคราะห์ปริมาณธาตุทั้งที่เป็นโลหะและ非โลหะที่ระดับต่ำถึง ppm และ ppb สารตัวอย่างที่ต้องการวิเคราะห์จะถูกเตรียมในรูปสารละลาย สารละลายจะถูกนำเข้าสู่ภายในเครื่องและเปลี่ยนให้เป็นละออง จากนั้นถูกพาเข้าสู่พลาสม่า ซึ่งตัวอย่างจะแห้งกลาญเป็นไอและกลาญเป็นอะตอนหรือไออ่อน อะตอนหรือไออ่อนเหล่านี้เมื่อได้รับพลังงานจากเปลวของพลาสม่าที่พลังงานสูงมากก็จะอยู่ในสภาพวิถูกกระตุนซึ่งจะเปล่งพลังงานในรูปแสงออกมมา สเปกตรัมของแสงที่ได้จากแต่ละธาตุจะเป็นเอกลักษณ์เฉพาะตัวใช้จำแนกราดได้ ภายในเครื่องจะมีสเปคโตรมิเตอร์เพื่อแยกเฉพาะความยาวคลื่นแสงที่ต้องการ และมี detector ตรวจวัดความเข้มของสัญญาณแสง ความเข้มของสัญญาณนี้จะถูกวิเคราะห์และแปลงเป็นความเข้มข้นของธาตุ

การเตรียมสารละลายตัวอย่างทำได้โดย ชั่งตัวอย่างปริมาณ 0.10 และ 0.20 กรัม เติมน้ำกลั่นปริมาตร 10 มิลลิลิตร กรณไนตริกเข้มข้นปริมาตร 5 มิลลิลิตร และกรณไฮโดรคลอริกเข้มข้นปริมาตร 5 มิลลิลิตร แล้วนำมาให้ความร้อนที่อุณหภูมิ 250°C จนได้สารละลายใส จากนั้นทำการปรับปริมาตรสารตัวอย่างเป็น 100 มิลลิลิตร และนำสารละลายตัวอย่างทั้งหมดมาวิเคราะห์ด้วยเครื่อง ICP

6. การวิเคราะห์ขนาดและการกระจายตัวของครีอปเล็ทน้ำมัน

การวิเคราะห์ขนาดและการกระจายตัวของครีอปเล็ทน้ำมันด้วยเครื่องวัดการกระจายแสงเลเซอร์ (laser light scattering instrument) (Coulter, LS 100Q, USA) ซึ่งเป็นเครื่องมือวิเคราะห์ขนาดของอนุภาคโดยอาศัยหลักการกระเจิงของลำแสงที่ความยาวคลื่น 750 nm โดยจะสามารถวัดขนาดของอนุภาคที่มีขนาดเส้นผ่าศูนย์กลางช่วง 0.375-948.2 μm

การเตรียมตัวอย่างก่อนการวิเคราะห์ทำได้โดยนำตัวอย่างกะทินมา夷่าให้เข้ากันด้วยเครื่อง夷าพสม (vortex) ทำการเจือจางตัวอย่างเพื่อป้องกันการเกิด multiple scattering effect โดยสูมตัวอย่างปริมาณ 0.2 มิลลิลิตร (ประมาณ 4 หยด) ลงในน้ำกลั่นปริมาณ 20 มิลลิลิตร แล้ว夷่าให้เข้ากัน จากนั้นสูมตัวอย่างที่เจือจางแล้วจำนวน 0.2 มิลลิลิตร ลงในช่องบรรจุตัวอย่างที่เครื่องวิเคราะห์ โดยจะมีน้ำกลั่นบรรจุอยู่แล้วปริมาณ 250 มิลลิลิตร ดังนั้นความเข้มข้นของครีอปเล็ทน้ำมันในการวิเคราะห์จะมีค่าประมาณร้อยละ 0.001 โดยปริมาตร



ภาพที่ 28 ตัวอย่างข้อมูลที่ได้จากการวิเคราะห์ขนาดครีอปเล็ทด้วยเครื่องวัดการกระจายแสงเลเซอร์ (Coulter, LS 100Q, USA)

7. การห้องค์ประกอบและขนาดโมเลกุลโปรตีนด้วยอิเล็กโโทรฟอร์ซิส

การทำอิเล็กโโทรฟอร์ซิสโดยใช้เจลโพลีอะครีลามิด (sodium dodecylsulfate polyacrylamide gel electrophoresis: SDS-PAGE) ตามวิธีของ Laemmli (1970), Srivastava (1997) และสุกัญญา (2549) มีขั้นตอนดังต่อไปนี้

7.1 การเตรียมสารละลาย Stock solution

- สารละลาย acrylamide/bisacrylamide (acrylamide, bis solution, $T=40\%$, $C=3\%$)

ละลาย acrylamide 38.8 กรัม และ bisacrylamide 1.2 กรัม ในน้ำกลั่น ปรับปริมาณเป็น 100 มิลลิลิตร เก็บในขวดสีชาที่ 4°C (ใช้ได้ประมาณ 1 เดือน)

- บัฟเฟอร์สำหรับเจลที่ทำให้ตัวอย่างเข้มข้น (stacking gel: 0.5 M Tris-HCl, pH 6.8)

ละลาย Tris 6.06 กรัม และ SDS 0.4 กรัม ในน้ำกลั่น 80 มิลลิลิตร ไตเตρท์ด้วยสารละลายไฮโดรคลอริกเข้มข้น 4 M เพื่อปรับให้มี pH 6.8 แล้วปรับปริมาณเป็น 100 มิลลิลิตร (หรือละลาย Tris 6.06 กรัม และ SDS 0.4 กรัม ในน้ำกลั่น 40 มิลลิลิตร ไตเตրท์ด้วยสารละลายไฮโดรคลอริกเข้มข้น 1 M ประมาณ 48 มิลลิลิตร แล้วปรับปริมาณเป็น 100 มิลลิลิตร)

- บัฟเฟอร์สำหรับเจลแยกสารตัวอย่าง (separating gel: 1.5 M Tris-HCl, pH 8.8)

ละลาย Tris 18.18 กรัม และ SDS 0.4 g กรัม ในน้ำกลั่น 80 มิลลิลิตร ไตเตรท์ด้วยสารละลายไฮโดรคลอริกเข้มข้น 4 M เพื่อปรับให้มี pH 8.8 แล้วปรับปริมาณเป็น 100 มิลลิลิตร (หรือละลาย Tris 18.18 กรัม และ SDS 0.4 g กรัม ในน้ำกลั่น 40 มิลลิลิตร ไตเตรท์ด้วยสารละลายไฮโดรคลอริกเข้มข้น 1 M ประมาณ 25 มิลลิลิตร แล้วปรับปริมาณเป็น 100 มิลลิลิตร)

- สารละลาย Ammonium persulfate (40% APS)

ละลาย APS 0.4 กรัม ในน้ำกลั่น 1 มิลลิลิตร ควรเตรียมก่อนใช้ หรือเก็บในขวดสีชาที่ 4°C ได้ 1 สัปดาห์

- บัฟเฟอร์สำหรับอิเล็กโโทรด ($10\times$ electrode running buffer, pH 8.3) (0.25 M Tris,

0.192 M glycine และ 0.1% SDS)

ละลาย Tris 7.6 กรัม glycine 36 กรัม และ SDS 2.5 กรัม ปรับปริมาณเป็น 250 มิลลิลิตร (ก่อนใช้นำมาเจือจาก 10 เท่า)

- บัฟเฟอร์สำหรับตัวอย่าง (สุกัญญา, 2549)

บัฟเฟอร์สำหรับตัวอย่างไมเรคิวช์ ทำโดยผสม SDS 1.0 กรัม EDTA 3

มิลลิกรัม และ Bromophenol Blue 10 มิลลิกรัม ในบัฟเฟอร์สำหรับเจลที่ทำให้ตัวอย่างเข้มข้นปริมาณ 2.5 มิลลิลิตร และ Glycerol (87%) 25 มิลลิลิตร แล้วปรับปริมาณเป็น 100 มิลลิลิตร

บัฟเฟอร์สำหรับตัวอย่างไมรีดิวช์ ทำโดยผสมบัฟเฟอร์สำหรับตัวอย่างไมรีดิวช์ปริมาตร 10 มิลลิลิตร กับสารละลายไคโซอิโทอล (DTT) เข้มข้น 2.6 M (ละลาย DTT 250 มิลลิกรัม ในน้ำเกลี้ยง 0.5 มิลลิลิตร) 100 μl หลังจากทำการเจือจางตัวอย่างและต้มในน้ำเดือด 3 นาที แล้วจึงเติมสารละลาย DTT อีกครึ่งในอัตราส่วน DTT: ตัวอย่าง = 1 μl : 100 μl

- สีช้อมโปรตีน Coomassie Brilliant Blue R-250

เตรียมสีช้อมโปรตีน Coomassie Brilliant Blue เข้มข้นร้อยละ 0.1 ในสารละลายเมทานอลเข้มข้นร้อยละ 25 ผสมสารละลายกรดอะซิติกเข้มข้นร้อยละ 10 (แซ่เจลนาน 2 ชั่วโมง)

- สารละลายล้างสีช้อมโปรตีน (destaining)

ล้างสีช้อมโปรตีนด้วยสารละลายเมทานอลเข้มข้นร้อยละ 25 ผสมสารละลายกรดอะซิติกเข้มข้นร้อยละ 10 (แซ่เจลนาน 1 คืน)

- เตรียมสารละลายโปรตีนมาตรฐานในบัฟเฟอร์สำหรับตัวอย่างให้มีความเข้มข้น 3 มิลลิกรัมต่อมิลลิลิตร

7.2 การใช้งาน Vertical electrophoresis system Model 85-2020

- การเตรียมกระจาด (**การรวมถุงมือตลอดเวลาปฏิบัติงาน**)

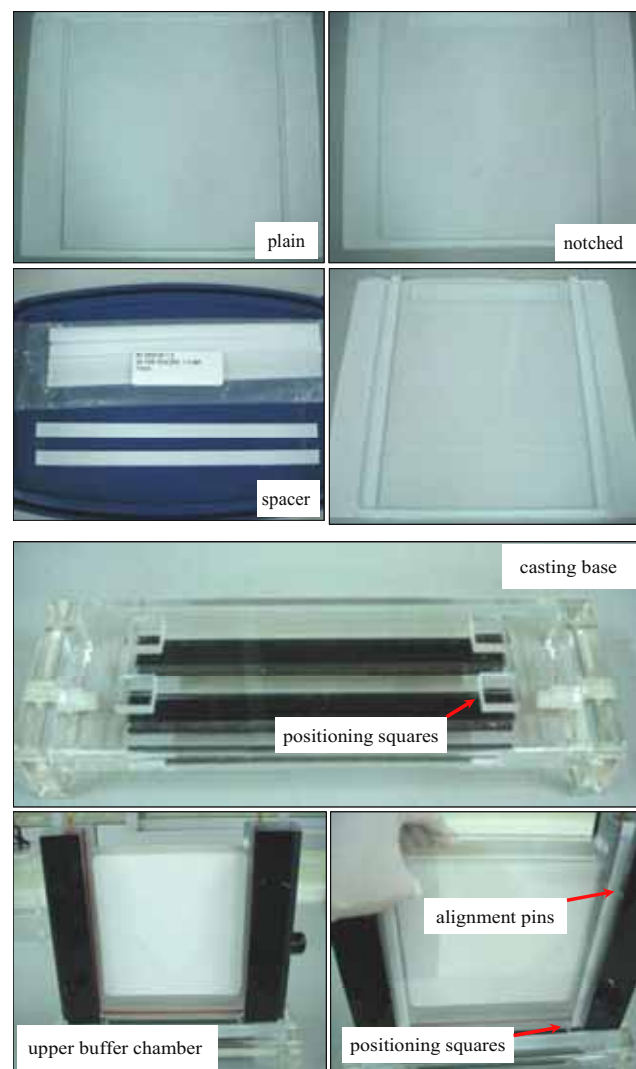
ทำความสะอาดกระจาด spacer และ combs ด้วยน้ำยาทำความสะอาดอย่างอ่อน ผงไว้ไว้แห้ง แล้วเช็ดกระจาดด้วย ethanol

- การประกอบกระจาดเพื่อหล่อเจล

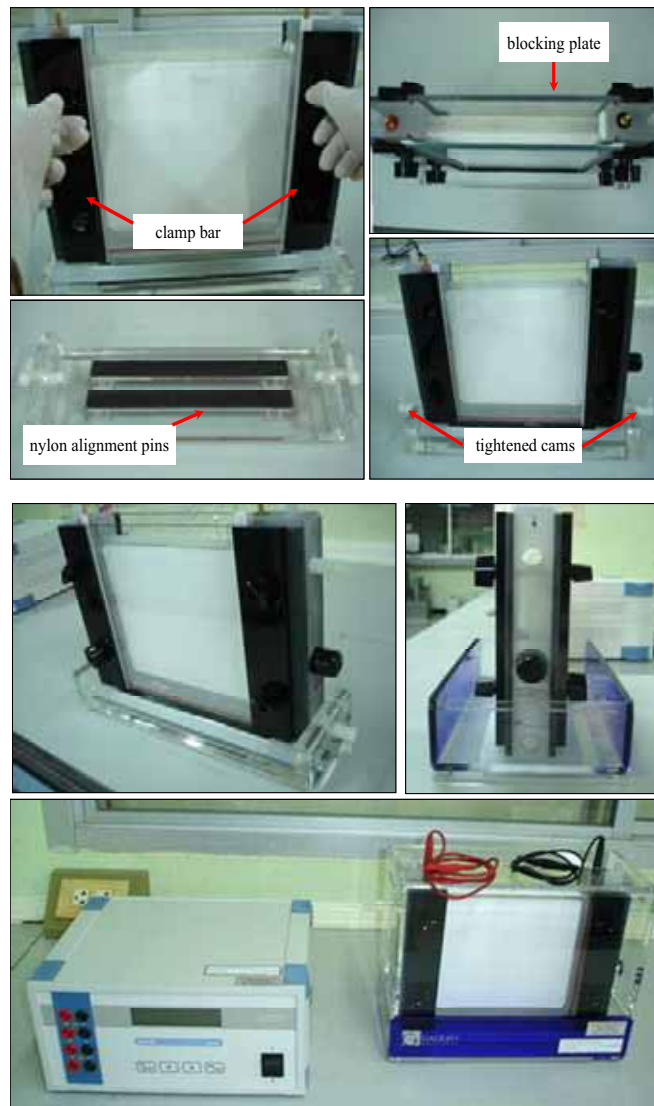
1. ประกอบกระจาด plain และ notched เป้าด้วยกันและตั้นด้วย spacer
2. คว้า casting base ลงให้ปูมอะคริลิก 4 อันอยู่ทางด้านบน
3. วาง upper buffer chamber ลงบน casting base ให้ตัวแน่นลงพอดีกับปูมอะคริลิกทั้ง 4 อัน
4. คลายปูมหมุนออก เลื่อน clamp bars ออกไปด้านข้าง วางแผ่นที่กระจาดที่ประกอบกันแล้ว โดยให้กระจาด notched อยู่ด้านในและให้ขอบด้านข้างกระจาดชิดกับ alignment pins และขอบล่างชิดกับ positioning squares จัด spacer ให้ตั้งตรงและชิดขอบริมกระจาด
5. เลื่อน clamp bars เข้ามาด้านใน และหมุนปูมทั้ง 4 ให้แน่น ระวังอย่าหมุนแน่นเกินไป เพราะจะทำให้กระจาดแตกได้
6. ถ้าจะประกอบและทำการทดลองโดยใช้เจล 2 แผ่นพร้อมกัน ก็ทำ เช่นเดียวกันกับขั้นตอนในข้อ 1, 4 และ 5 ในกรณีที่ทำการทดลองโดยใช้

แผ่นเจลเพียง 1 แผ่นให้วาง blocking plate แทนชุดกระจกในด้านที่ไม่ต้องการ run gel เพื่อกันให้เป็นส่วนของ upper buffer chamber

7. ยกชุดกระจกที่ประกอบกับส่วนของ upper buffer chamber ออก แล้วค่าว่าง casting base ลงหมุนลูกเบี้ยว (cams) ขึ้นให้ตำแหน่งของด้านจับอยู่ข้างบน วางชุดกระจก upper buffer chamber ลงบน casting base ให้อยุ่รระหว่าง nylon alignment pins
8. หมุนลูกเบี้ยวลงด้านล่างเพื่อสักคชุด upper buffer chamber กับ casting base
9. ทดสอบการรั่วโดยการเติมน้ำลงไปประมาณ 2-3 มิลลิลิตร ทิ้งไว้ประมาณ 2 นาที ถ้าไม่พ้นการรั่วจึงหน้าออกและทำการหล่อเจลต่อไป



ภาพที่ 29 ส่วนประกอบของเครื่องอิเล็กโทรฟอร์ซิส และขั้นตอนการประกอบข้อ 1-5



ภาพที่ 30 ส่วนประกอบของเครื่องอิเล็ก tro ไฟรีซิสแล๊บขั้นตอนการประกอบข้อ 6-9

7.3 การหล่อเจล

- เมื่อทำการประกอบกระჯากเพื่อหล่อเจลเรียบร้อยแล้ว จึงเตรียมสารละลายที่ใช้สำหรับเตรียมเจล SDS-PAGE ตามสูตรการเตรียมเจลแบบไม่ต่อเนื่องในแนวคิ่ง (เจลความเข้มข้น 12%T ขนาด 20×20 เซนติเมตร หนา 1.50 มิลลิเมตร จำนวน 1 ชุด) ดังตารางที่ 10

ตารางที่ 10 สารละลายน้ำที่ใช้สำหรับเตรียมเจล SDS-PAGE

สารละลายน้ำ	เจลแยกสารตัวอย่าง (separating gel)	เจลทำสารเข้มข้นขึ้น (stacking gel)
น้ำกลั่น	9.6 ml	4.5 ml
Glycerol 87%	12.0 ml	-
Acrylamide,bis T=40%, C=3%	14.4 ml	1.5 ml
Buffer สำหรับเจลแยกสาร	12.0 ml	-
Buffer สำหรับเจลที่ทำให้สารตัวอย่าง- เข้มข้นขึ้น	-	3.0 ml
TEMED	24 µl	8 µl
Ammonium persulfate (40%)*	48 µl	16 µl

* เติมทันทีก่อนหล่อเจล

- ทำการหล่อเจลส่วน separating gel ก่อนโดยใช้ syringe ค่อยๆ ฉีดสารละลายน้ำที่ได้เตรียมไว้ในด้านข้าง (ระวังอย่าให้เกิดฟองอากาศ) จนถึงระดับความสูงของปุ่มนูนเลือกกระจากด้านบน (ต่างจากขอบกระจาก plain ด้านบนประมาณ 5 cm เพื่อไว้หล่อส่วน stacking gel) เมื่อหล่อเจลแล้วให้ปิดผิวน้ำเจลด้วย separating gel buffer หรือ water-saturated butanol ประมาณ 3-5 mm หลังจาก separating gel แข็งแล้วจึงเทออกและล้างด้วย separating gel buffer และวัดระดับส่วน stacking gel ค่อยๆ ใส่ comb เพื่อทำช่องสำหรับใส่ตัวอย่าง เมื่อ stacking gel แข็ง สามารถนำไปใช้งานได้ทันที แต่ถ้ายังไม่ใช้ให้ใส่ถุงพลาสติก เก็บไว้ที่ 4°C

- หลังจากเจลแข็งตัวแล้วให้ดึง comb ออก ล้างผิวน้ำเจลด้วย 1×electrode running buffer และวาง set upper buffer chamber ลงบนถัง lower buffer chamber

- เติม 1×electrode running buffer ตามปริมาตรที่เหมาะสมลงไปในส่วนของ upper buffer chamber โดยให้ระดับของบัฟเฟอร์อยู่ต่ำกว่าระดับของ bank glass ประมาณ 3 mm (600 ml) ควรตรวจสอบให้แน่ชัดว่า running buffer ไม่รั่วจาก upper buffer chamber เข้าไปยัง lower buffer chamber ถ้ามีการรั่วต้องทำการ drain บัฟเฟอร์ออกจาก upper buffer chamber ก่อน แล้วจึงทำการประกอบ gel cassette อีกครั้ง

7.4 การโหลดสารตัวอย่าง (Sample loading)

- เตรียมสารละลายน้ำตัวอย่างในสารละลาย sample buffer ให้มีความเข้มข้นของโปรตีนประมาณ 15 mg/ml ใช้ micro pipette ดูดสารตัวอย่างปริมาณ 15 μl ลงในหลุม ในระหว่างการเติมสารตัวอย่างลงในหลุมปลายของ tip ควรอยู่สูงจากก้อนหลุมประมาณ 1-2 mm เพื่อให้สารตัวอย่างถูกเจือจางน้อยที่สุด

- เติมสารละลายน้ำตัวอย่างลงในหลุมที่ว่าง เพื่อให้เกิดค่าความต้านทานที่เท่ากันทั้งแผ่นเจล

- เติมน้ำฟเฟอร์ลงใน lower buffer chamber โดยให้ระดับของน้ำฟเฟอร์อยู่สูงกว่าฐานของแผ่นเจลประมาณ 2-3 mm สังเกตได้จากปีกแสดงระดับ (fill line)

- ปิดฝาเครื่องและต่อสายไฟเข้ากับ power supply แล้วจึงเสียบปลั๊กไฟ เปิดสวิตช์ power supply ปรับค่ากระแสไฟฟ้าและค่าความต่างศักย์ตามที่ต้องการ

- เมื่อ run gel เสร็จแล้ว (tracking dye อยู่สูงจากขอบล่างเจลประมาณ 5 mm) จึงปิดสวิตช์ power supply และถอดปลั๊กไฟ จึงนำไปย้อมสีเจลต่อไป

7.5 การย้อมสีโปรตีนและล้างล้างสีย้อม

- แช่เจลในสารละลายสีย้อมโปรตีนนาน 2 ชั่วโมง โดยวางเจลบนตะแกรงในภาชนะลูมิเนียนทรงสูง และมีการกวนตลอดเวลาด้วยแท่งแม่เหล็ก จากนั้nl ล้างสีย้อมโปรตีนด้วยสารละลายเมทานอลเข้มข้นร้อยละ 25 ผสมสารละลายกรดอะซิติกเข้มข้นร้อยละ 10 เป็นเวลา 1 คืน (อาจมีการเปลี่ยนสารละลายที่ใช้ล้างสีย้อมและแซ่บกว่าจะได้แผ่นเจลใส)

ภาคผนวก ข
สูตรและวิธีการเตรียมอาหารที่มีกะทิเป็นส่วนผสม

สูตรและวิธีการเตรียมอาหารที่มีกะทิเป็นส่วนผสม

ในการดำเนินการทดลองทำโดยเตรียมส่วนผสมที่เป็นของแข็ง (เช่น เนื้อไก่และผัก) บรรจุเตรียมไว้ในภาชนะ ก่อนที่จะเตรียมส่วนของเหลวเพื่อบรรจุขณะร้อน สูตรส่วนผสมของอาหารแต่ละชนิดได้มาโดยอ้างอิงจากตำราอาหารที่ตีพิมพ์และที่เผยแพร่ในอินเทอร์เน็ต 10-15 สูตร

1. ต้มยำไก่น้ำข้น มีขั้นตอนการทำดังต่อไปนี้

- ชั่งเตรียมส่วนผสมตามตารางที่ 11
- นำส่วนของเนื้อไก่มาหั่นเป็นชิ้นขนาดประมาณ 2×2 เซนติเมตร (เพื่อให้สามารถบรรจุลงในวดแก้วทุนความร้อนได้) แล้วต้มในน้ำเดือดเป็นเวลา 2 นาที แล้วจึงบรรจุวดเตรียมไว้จากนั้นจึงบรรจุส่วนของเครื่องสมุนไพรหรือผักสดอีกหนึ่งๆ
- เตรียมส่วนของเหลวโดยยำกกะทิปริมาณ $\frac{3}{4}$ ของปริมาณน้ำกะทิทั้งหมดมาต้มในหม้ออุ่มนึ่งเป็นเวลา 2.50 นาที (เริ่มเดือด) โดยมีการคนเป็นครั้งคราว
 - เติมน้ำปลา ต้มต่อไปจนครบ 3.50 นาที แล้วจึงเติมกะทิส่วนที่เหลือ
 - เมื่อครบระยะเวลา 5 นาที จึงหยุดให้ความร้อนและเติมน้ำมะนาวลงไป คนให้เข้ากันดี
 - แล้วนำมารรจุลงในวดแก้วหรือถ้วยพลาสติก (สำหรับแช่แข็ง) ที่บรรจุส่วนผสมอีกหนึ่งๆ ไว้แล้ว

2. ต้มข่าไก่มีขั้นตอนการทำดังต่อไปนี้

- ชั่งเตรียมส่วนผสมตามตารางที่ 12
- นำส่วนของเนื้อไก่มาหั่นเป็นชิ้นขนาดประมาณ 2×2 เซนติเมตร (เพื่อให้สามารถบรรจุลงในวดแก้วทุนความร้อนได้) แล้วต้มในน้ำเดือดเป็นเวลา 2 นาที แล้วจึงบรรจุวดเตรียมไว้จากนั้นจึงบรรจุส่วนของเครื่องสมุนไพรหรือผักสดอีกหนึ่งๆ
- เตรียมส่วนของเหลวโดยยำกกะทิปริมาณ $\frac{3}{4}$ ของปริมาณน้ำกะทิทั้งหมดมาต้มในหม้ออุ่มนึ่งเป็นเวลา 2.50 นาที (เริ่มเดือด) โดยมีการคนเป็นครั้งคราว
 - เติมน้ำตาลทรายและน้ำปลา ต้มต่อไปจนครบ 3.50 นาที แล้วจึงเติมกะทิส่วนที่เหลือ
 - เมื่อครบระยะเวลา 5 นาที จึงหยุดให้ความร้อนและเติมน้ำมะนาวลงไป คนให้เข้ากันดี
 - แล้วนำมารรจุลงในวดแก้วหรือถ้วยพลาสติก (สำหรับแช่แข็ง) ที่บรรจุส่วนผสมอีกหนึ่งๆ ไว้แล้ว

ตารางที่ 11 ส่วนผสมสำหรับต้มยำไก่น้ำขื่น

ส่วนผสม	อัตราส่วน (ร้อยละโดยน้ำหนัก)
กะทิ (ไขมันร้อยละ 20 w/w)	58.00
เนื้ออกไก่ไม่มีหนัง	30.00
น้ำมะนาว	4.15
น้ำปลา	3.20
น้ำพริกเผา	1.80
ตะไคร้หั่น	1.05
ข่าหั่นเบี้น	0.75
หอมแดงบุบ	0.35
พริกชี้ฟูหั่น	0.30
รากผักชีหั่น	0.25
ใบมะกรูดหั่น	0.15

ตารางที่ 12 ส่วนผสมสำหรับต้มข่าไก่

ส่วนผสม	อัตราส่วน (ร้อยละโดยน้ำหนัก)
กะทิ (ไขมันร้อยละ 20 w/w)	64.00
เนื้อออกไก่ไม่มีหนัง	25.00
น้ำปลา	3.30
น้ำมะนาว	2.85
ข่าหั่นเบี้น	2.35
ตะไคร้หั่น	1.15
น้ำตาลทราย	0.70
พริกชี้ฟูหั่น	0.30
ผักชีหั่น	0.30
ใบมะกรูดหั่น	0.10

3. แกงเผ็ดไก่ มีขั้นตอนการทำดังต่อไปนี้

- ชั่งเตรียมส่วนผสมตามตารางที่ 13
- นำส่วนของเนื้อไก่มาหั่นเป็นชิ้นขนาดประมาณ 2×2 เซนติเมตร (เพื่อให้สามารถบรรจุลงในขวดแก้วทนความร้อนได้) แล้วต้มในน้ำเดือดเป็นเวลา 2 นาที แล้วจึงบรรจุขวดเตรียมไว้จากนั้นจึงบรรจุส่วนของเครื่องสมุนไพรหรือผักอื่นๆ
 - เตรียมส่วนของเหลวโดยย่นกะทิปริมาณ $1/5$ ของปริมาณน้ำกะทิทั้งหมดตามที่ในหน้าอธิบายนี่ แล้วเติมพริกแกงลงไปผัดเป็นเวลา 1 นาที
 - เติมน้ำกะทิที่เหลือลงไปต้มจนครบ 4 นาที มีการคนเป็นครึ่งคราว แล้วจึงเติมน้ำตาลและน้ำปลา (ถ้ามี)
 - เมื่อครบระยะเวลา 5 นาที จึงหยุดให้ความร้อน คนให้เข้ากันดี
 - แล้วนำมานำบรรจุลงในขวดแก้วหรือถ้วยพลาสติก (สำหรับแช่แข็ง) ที่บรรจุส่วนผสมอื่นๆ ไว้แล้ว

ตารางที่ 13 ส่วนผสมสำหรับแกงเผ็ดไก่

ส่วนผสม	อัตราส่วน (ร้อยละ โดยน้ำหนัก)
กะทิ (ไขมันร้อยละ 20 w/w)	57.00
เนื้อไก่ไม่มีหนัง	25.00
มะเขือพวง	7.35
น้ำพริกแกง	7.00
พริกชี้ฟ้าหั่น	1.50
โภระพา	1.00
น้ำตาลปี๊ป	1.00
ใบมะกรูดหั่น	0.15

4. แกงเขียวหวานไก่ มีขั้นตอนการทำดังต่อไปนี้

- ชั่งเตรียมส่วนผสมตามตารางที่ 14
- นำส่วนของเนื้อไก่มาหั่นเป็นชิ้นขนาดประมาณ 2×2 เซนติเมตร (เพื่อให้สามารถบรรจุลงในขวดแก้วทนความร้อนได้) แล้วต้มในน้ำเดือดเป็นเวลา 2 นาที แล้วจึงบรรจุขวดเตรียมไว้จากนั้นจึงบรรจุส่วนของเครื่องสมุนไพรหรือผักอื่นๆ
 - เตรียมส่วนของเหลวโดยย่นกะทิปริมาณ $1/5$ ของปริมาณน้ำกะทิทั้งหมดตามที่ในหน้าอธูมเนียม และเติมพริกแกงลงไปผัดเป็นเวลา 1 นาที
 - เติมน้ำกะทิที่เหลือลงไปต้มจนครบ 4 นาที มีการคนเป็นครึ่งคราว แล้วจึงเติมน้ำตาลและน้ำปลา (ถ้ามี)
 - เมื่อครบระยะเวลา 5 นาที จึงหยุดให้ความร้อน คนให้เข้ากันดี
 - เเล้วนำมานำบรรจุลงในขวดแก้วหรือถ้วยพลาสติก (สำหรับแช่แข็ง) ที่บรรจุส่วนผสมอื่นๆ ไว้แล้ว

ตารางที่ 14 ส่วนผสมสำหรับแกงเขียวหวานไก่

ส่วนผสม	อัตราส่วน (ร้อยละ โดยน้ำหนัก)
กะทิ (ไขมันร้อยละ 20 w/w)	57.00
เนื้อไก่ไม่มีหนัง	25.00
มะเขือพวง	7.70
น้ำพริกแกง	5.20
น้ำตาลปี๊ป	2.35
โภระพา	1.45
พริกชี้ฟ้าหั่น	1.25
ใบมะกรูดหั่น	0.10

5. กลั่นบัวชี มีขั้นตอนการทำดังต่อไปนี้

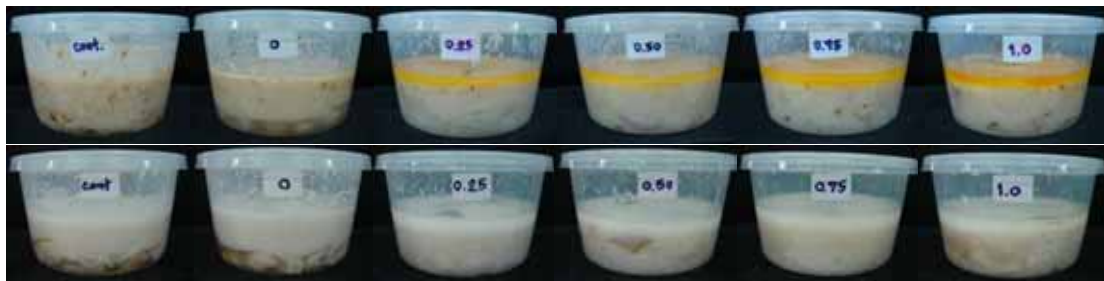
- ชั่งเตรียมส่วนผสมตามตารางที่ 15
- นำกลั่นบัวน้ำทึบเปลือกเป็นเวลา 15 นาที แล้วนำมาหั่นเป็น 6 ส่วน (เพื่อให้สามารถบรรจุลงในขวดแก้วทันความร้อนได้) แล้วจึงบรรจุขวดเตรียมไว้
 - เตรียมส่วนของเหลวโดยนำกะทิปริมาณ 4/5 ของปริมาณน้ำกะทิทั้งหมดมาต้มในหม้ออลูมิเนียม ต้มเป็นเวลา 3.50 นาที มีการคนเป็นครั้งคราว
 - เติมน้ำตาลและเกลือ คนจนคลายแล้วจึงเติมน้ำกะทิที่เหลือลงไปต้มจนครบ 5 นาที
 - แล้วนำน้ำบรรจุลงในขวดแก้วหรือถ้วยพลาสติก (สำหรับแช่แข็ง) ที่บรรจุส่วนผสมอีนๆ ไว้แล้ว

ตารางที่ 15 ส่วนผสมสำหรับกลั่นบัวชี

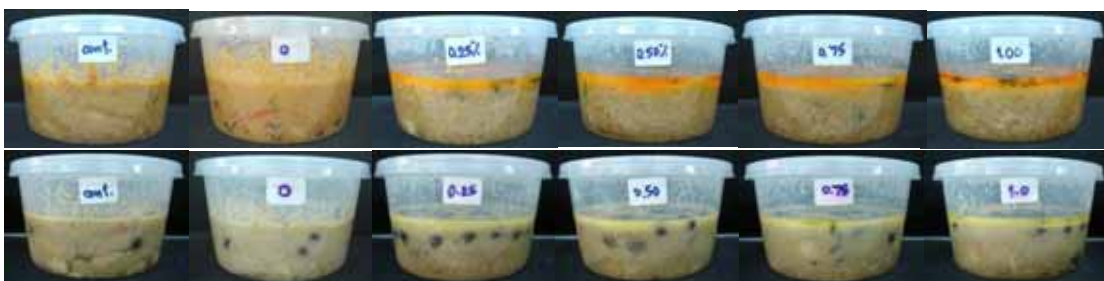
ส่วนผสม	อัตราส่วน (ร้อยละ โดยน้ำหนัก)
กะทิ (ไขมันร้อยละ 20 w/w)	51.00
กลั่นบัว	33.50
น้ำตาลทราย	15.00
เกลือ	0.55



ภาพที่ 31 ลักษณะของกะทิภายหลังจากการให้ความร้อนด้วยไมโครเวฟ



ภาพที่ 32 ลักษณะของผลิตภัณฑ์ต้มยำไก่น้ำข้น (บน) และต้มข่าไก่ (ล่าง) ภายหลังจากการให้ความร้อนด้วยไมโครเวฟ



ภาพที่ 33 ลักษณะของผลิตภัณฑ์แกงเผ็ดไก่ (บน) และแกงเขียวหวานไก่ (ล่าง) ภายหลังจากการให้ความร้อนด้วยไมโครเวฟ



ภาพที่ 34 ลักษณะของผลิตภัณฑ์กล้วยบวชชีภายหลังจากการให้ความร้อนด้วยไมโครเวฟ

ภาคผนวก ๓
ตารางผลการทดสอบ

ตารางผลการทดลอง

**ตารางที่ 16 ผลของสภาวะในการไฮโนมีไนซ์ (ความดัน จำนวนรอบ และการเติมสารสเตบิไลเซอร์)
ต่อขนาดครึ่องปเล็ทเนลลี่ (d_{32}) ของกะทิ**

ความดันในการไฮโนมีไนซ์	จำนวนรอบ	ขนาดครึ่องปเล็ทเนลลี่ ¹⁾ (μm)		
		control	เติม CMC	เติม Tween 60
control	0	9.42±0.40 ^{aA}	5.35±0.63 ^{abB}	3.75±0.16 ^{aC}
	1	8.96±0.21 ^{bA}	4.38±0.05 ^{cdb}	1.96±0.05 ^{bC}
	2	8.01±0.16 ^{cA}	4.33±0.16 ^{dB}	2.15±0.10 ^{bC}
	3	6.90±0.14 ^{eA}	4.28±0.05 ^{dB}	2.16±0.21 ^{bC}
	1	7.51±0.18 ^{dA}	4.78±0.07 ^{bcdB}	2.13±0.09 ^{bC}
	2	6.68±0.16 ^{eA}	4.06±0.05 ^{dB}	2.30±0.10 ^{bC}
	3	6.09±0.11 ^{fA}	4.04±0.04 ^{dB}	2.22±0.09 ^{bC}
	1	6.66±0.11 ^{eA}	4.22±0.02 ^{dB}	2.24±0.10 ^{bC}
	2	6.17±0.21 ^{fA}	4.51±0.42 ^{cdb}	2.49±0.10 ^{bC}
	3	6.21±0.01 ^{fA}	4.45±0.25 ^{cdb}	2.40±0.10 ^{bC}

¹⁾ ได้จากการวิเคราะห์ ค่าเฉลี่ย±ส่วนเบี่ยงเบนมาตรฐาน จากการทดลอง 2 ชุด

a, b, ... ตัวอักษรพิมพ์เล็กกำกับที่เหมือนกันตามแนวตั้งแสดงถึง ไม่มีความแตกต่างอย่างมีนัยสำคัญทางสถิติ ($P>0.05$)

A, B, ... ตัวอักษรพิมพ์ใหญ่กำกับที่เหมือนกันตามแนวโน้มแสดงถึง ไม่มีความแตกต่างอย่างมีนัยสำคัญทางสถิติ ($P>0.05$)

ตารางที่ 17 ผลของสภาวะในการโซโนจีไนซ์ (ความดัน จำนวนรอบ และการเติมสารสเตบิไลเซอร์)
ต่อความคงตัวของการแยกชั้นครีม (CI) ของกะทิ

ความดันในการโซโนจีไนซ์	จำนวนรอบ	creaming index ¹⁾ (%)		
		control	เติม CMC	เติม Tween 60
11/4 MPa	0	69.42±1.31 ^{aA}	55.37±0.28 ^{aB}	57.15±6.21 ^{aB}
	1	60.19±3.19 ^{bA}	47.75±4.45 ^{bB}	5.98±4.23 ^{bC}
	2	55.56±1.08 ^{cA}	47.04±4.65 ^{bB}	5.73±4.05 ^{bC}
	3	50.00±2.13 ^{cA}	43.31±9.45 ^{bcA}	5.10±3.60 ^{bB}
	1	51.59±0.84 ^{dA}	48.65±1.92 ^{bA}	5.48±4.30 ^{bB}
	2	46.30±1.03 ^{fA}	43.69±4.61 ^{bcA}	4.31±3.38 ^{bB}
17/4 MPa	3	43.03±0.02 ^{gA}	42.80±2.71 ^{bcA}	4.00±3.14 ^{bB}
	1	48.46±1.25 ^{eA}	44.12±0.74 ^{bcB}	3.59±5.07 ^{bC}
	2	39.31±1.21 ^{hA}	39.49±2.14 ^{cdA}	2.88±4.07 ^{bB}
	3	34.44±3.05 ^{iA}	36.44±1.82 ^{dA}	2.71±3.83 ^{bB}
23/4 MPa	1			
	2			
	3			

¹⁾ ได้จากการวิเคราะห์ค่าเฉลี่ย±ส่วนเบี่ยงเบนมาตรฐาน จากการทดลอง 2 ชุด

a, b, ... ตัวอักษรพิมพ์เล็กกำกับที่เหมือนกันกันตามแนวตั้งแสดงถึงไม่มีความแตกต่างอย่างมีนัยสำคัญทางสถิติ ($P>0.05$)

A, B, ... ตัวอักษรพิมพ์ใหญ่กำกับที่เหมือนกันกันตามแนวโน้มแสดงถึงไม่มีความแตกต่างอย่างมีนัยสำคัญทางสถิติ ($P>0.05$)

ตารางที่ 18 ผลของกระบวนการผลิต (unsterilized, sterilized และ freeze-thawed) และปริมาณ Tween 60 ที่ระดับความเข้มข้นร้อยละ 0-1.00 ต่อความคงตัวของการแยกชั้นครีม (CI) ของกะทิที่ระยะเวลาการเก็บต่างๆ

Treatment		creaming index ¹⁾ (%)		
		24 ชั่วโมง	7 วัน	30 วัน
unsterilized	control	48.71±2.35 ^{aA}	53.01±5.60 ^{aA}	54.12±5.57 ^{bC}
	0	47.37±2.64 ^{aB}	57.83±0.20 ^{aA}	58.58±3.17 ^{abA}
	0.25	22.94±4.17 ^{bB}	54.30±0.03 ^{aA}	59.77±2.76 ^{aA}
	0.50	23.87±3.09 ^{bB}	46.41±0.83 ^{bA}	50.40±1.85 ^{cA}
	0.75	19.87±15.04 ^{bA}	38.61±5.77 ^{cA}	43.02±7.58 ^{dA}
	1.00	10.72±1.66 ^{cB}	35.01±0.45 ^{cA}	40.89±5.81 ^{dA}
sterilized	control	17.19±0.53 ^{bA}	20.11±2.61 ^{bA}	21.13±3.51 ^{cA}
	0	30.91±2.30 ^{aA}	31.67±2.36 ^{aA}	32.02±4.85 ^{bA}
	0.25	12.43±7.27 ^{bcB}	35.54±9.40 ^{aAB}	41.68±10.08 ^{abB}
	0.50	10.08±7.83 ^{bcA}	27.60±8.34 ^{aA}	33.41±10.89 ^{aA}
	0.75	9.35±7.54 ^{cB}	29.75±0.45 ^{aA}	35.82±2.83 ^{aA}
	1.00	13.09±13.64 ^{bcA}	28.52±8.45 ^{aA}	34.01±9.26 ^{aA}
freeze-thawed	control	46.87±0.05 ^{aA}	54.49±9.18 ^{aA}	-
	0	31.60±21.46 ^{cA}	46.78±0.89 ^{bA}	-
	0.25	36.04±0.39 ^{bcA}	49.44±18.57 ^{abA}	-
	0.50	36.80±1.64 ^{abcA}	51.36±18.95 ^{abA}	-
	0.75	37.02±3.50 ^{abcA}	46.92±10.50 ^{bA}	-
	1.00	43.34±4.33 ^{abA}	53.09±9.46 ^{abA}	-

¹⁾ ได้จากการวิเคราะห์ค่าเฉลี่ย±ส่วนเบี่ยงเบนมาตรฐาน จากการทดสอบ 2 ชั้น

a, b, ... ตัวอักษรพิมพ์เล็กกำกับที่เหมือนกันกับตามแนวตั้งแสดงถึงไม่มีความแตกต่างอย่างมีนัยสำคัญทางสถิติ ($P>0.05$)

A, B, ... ตัวอักษรพิมพ์ใหญ่กำกับที่เหมือนกันกับตามแนวโน้มแสดงถึงไม่มีความแตกต่างอย่างมีนัยสำคัญทางสถิติ ($P<0.05$)

- หมายถึงไม่ได้ทำการวิเคราะห์

ตารางที่ 19 ผลของกระบวนการผลิต (unsterilized, sterilized และ freeze-thawed) และปริมาณ Tween 60 ที่ระดับความเข้มข้นร้อยละ 0-1.00 ต่อความคงตัวของการแยกชั้นครีม (CI) ของต้มยำไก่น้ำขึ้นที่ระยะเวลาการเก็บต่างๆ

Treatment		creaming index ¹⁾ (%)		
		24 ชั่วโมง	7 วัน	30 วัน
unsterilized	control	29.74±2.98 ^{aA}	31.62±3.11 ^{aA}	32.70±3.30 ^{bA}
	0.00	29.15±1.37 ^{aA}	30.14±1.73 ^{aA}	31.61±1.71 ^{bA}
	0.25	9.68±2.82 ^{bC}	35.42±3.13 ^{aB}	44.00±1.20 ^{aA}
	0.50	4.53±1.79 ^{cC}	18.66±8.97 ^{bB}	45.11±11.02 ^{aA}
	0.75	4.35±0.00 ^{cC}	18.92±4.21 ^{bB}	44.02±5.89 ^{aA}
	1.00	4.55±0.29 ^{cC}	22.15±2.74 ^{bB}	43.67±5.60 ^{aA}
sterilized	control	41.14±3.17 ^{aA}	42.30±1.98 ^{aA}	43.59±1.97 ^{aA}
	0.00	30.82±1.74 ^{bA}	31.11±2.40 ^{bA}	31.81±4.73 ^{bA}
	0.25	25.80±4.81 ^{bB}	41.54±1.13 ^{aA}	44.87±0.72 ^{aA}
	0.50	20.74±5.51 ^{bc}	42.40±3.57 ^{aA}	44.97±6.09 ^{aA}
	0.75	16.15±1.08 ^{cdC}	41.92±1.05 ^{aB}	48.17±2.09 ^{aA}
	1.00	12.00±7.90 ^{dB}	35.38±7.98 ^{bA}	44.64±3.70 ^{aA}
freeze-thawed	control	39.85±1.25 ^{bA}	40.97±1.77 ^{bA}	41.04±1.67 ^{bA}
	0.00	38.63±1.31 ^{bB}	41.00±1.60 ^{bA}	41.00±1.60 ^{bA}
	0.25	39.69±3.16 ^{bA}	41.66±0.94 ^{bA}	42.15±1.22 ^{bA}
	0.50	48.51±9.17 ^{abA}	53.20±6.58 ^{aA}	53.20±6.58 ^{aA}
	0.75	50.28±7.24 ^{aA}	53.61±4.85 ^{aA}	53.61±4.85 ^{aA}
	1.00	57.05±16.63 ^{aA}	55.87±13.94 ^{aA}	56.94±14.42 ^{aA}

¹⁾ ได้จากการวิเคราะห์ค่าเฉลี่ย±ส่วนเบี่ยงเบนมาตรฐาน จากการทดลอง 2 ชุด

a, b, ... ตัวอักษรพิมพ์เล็กกำกับที่เหมือนกันตามแนวตั้งแสดงถึงไม่มีความแตกต่างอย่างมีนัยสำคัญทางสถิติ ($P>0.05$)

A, B, ... ตัวอักษรพิมพ์ใหญ่กำกับที่เหมือนกันตามแนวอนาล็อกถึงไม่มีความแตกต่างอย่างมีนัยสำคัญทางสถิติ ($P>0.05$)

ตารางที่ 20 ผลของกระบวนการผลิต (unsterilized, sterilized และ freeze-thawed) และปริมาณ Tween 60 ที่ระดับความเข้มข้นร้อยละ 0-1.00 ต่อความคงตัวของการแยกชั้นครีม (CI) ของต้มไข่ไก่ที่ระยะเวลาการเก็บต่างๆ

Treatment		creaming index ¹⁾ (%)		
		24 ชั่วโมง	7 วัน	30 วัน
unsterilized	control	29.14±1.42 ^{bA}	30.35±2.13 ^{bA}	30.35±2.13 ^{dA}
	0	34.84±3.58 ^{aA}	34.84±3.58 ^{bA}	36.74±5.95 ^{cA}
	0.25	15.30±4.40 ^{cB}	46.96±4.82 ^{aA}	54.37±0.75 ^{aA}
	0.50	9.81±4.20 ^{dC}	33.62±11.56 ^{bB}	50.70±7.45 ^{abA}
	0.75	8.28±3.07 ^{dC}	29.97±10.03 ^{bB}	46.72±7.80 ^{bA}
	1.00	8.17±2.91 ^{dB}	30.26±7.18 ^{bA}	46.52±10.23 ^{bA}
sterilized	control	32.92±5.06 ^{aA}	33.87±4.21 ^{cA}	34.97±4.75 ^{bA}
	0	32.69±2.23 ^{aA}	33.04±2.73 ^{cA}	33.78±4.68 ^{bA}
	0.25	28.99±12.17 ^{abA}	46.57±5.90 ^{aA}	49.58±2.70 ^{aA}
	0.50	22.70±13.15 ^{bcA}	44.77±8.44 ^{aA}	50.50±6.57 ^{aA}
	0.75	13.58±2.83 ^{cdb}	40.83±3.75 ^{abA}	48.74±3.83 ^{aA}
	1.00	11.29±2.82 ^{dC}	36.89±1.71 ^{bcB}	48.13±4.46 ^{aA}
freeze-thawed	control	37.14±0.38 ^{bA}	42.56±6.77 ^{bA}	43.33±6.80 ^{bA}
	0	39.52±1.50 ^{bA}	40.27±4.47 ^{bA}	42.51±5.37 ^{bA}
	0.25	64.63±5.81 ^{aA}	64.93±5.07 ^{aA}	64.93±5.07 ^{aA}
	0.50	67.74±5.66 ^{aA}	68.22±4.85 ^{aA}	68.22±4.85 ^{aA}
	0.75	64.81±9.42 ^{aA}	65.43±7.28 ^{aA}	65.43±7.28 ^{aA}
	1.00	64.48±5.11 ^{aA}	66.28±3.94 ^{aA}	66.28±3.94 ^{aA}

¹⁾ ได้จากการวิเคราะห์ค่าเฉลี่ย±ส่วนเบี่ยงเบนมาตรฐาน จากการทดลอง 2 ชุด

a, b, ... ตัวอักษรพิมพ์เล็กกำกับที่เหมือนกันตามแนวตั้งแสดงถึงไม่มีความแตกต่างอย่างมีนัยสำคัญทางสถิติ ($P>0.05$)

A, B, ... ตัวอักษรพิมพ์ใหญ่กำกับที่เหมือนกันตามแนวอนуетแสดงถึงไม่มีความแตกต่างอย่างมีนัยสำคัญทางสถิติ ($P>0.05$)

ตารางที่ 21 ผลของกระบวนการผลิต (unsterilized, sterilized และ freeze-thawed) และปริมาณ Tween 60 ที่ระดับความเข้มข้นร้อยละ 0-1.00 ต่อความคงตัวของการแยกชั้นครีม (CI) ของแกงเผ็ด ไก่ที่ระยะเวลาการเก็บต่างๆ

Treatment		creaming index ¹⁾ (%)		
		24 ชั่วโมง	7 วัน	30 วัน
unsterilized	control	33.58±13.11 ^{aA}	34.39±12.26 ^{aA}	34.57±12.00 ^{aA}
	0.00	26.52±0.61 ^{bA}	30.60±3.24 ^{aA}	30.60±3.24 ^{aA}
	0.25	8.35±2.09 ^{cB}	30.80±9.01 ^{aA}	38.88±1.68 ^{aA}
	0.50	5.82±3.89 ^{cA}	20.81±16.38 ^{aA}	31.24±9.10 ^{aA}
	0.75	3.21±4.55 ^{cA}	19.83±17.09 ^{aA}	31.42±13.74 ^{aA}
	1.00	4.62±6.53 ^{cA}	19.14±18.43 ^{aA}	30.42±14.95 ^{aA}
sterilized	control	12.07±0.11 ^{aB}	14.37±1.39 ^{cAB}	14.93±0.60 ^{cA}
	0.00	15.89±2.12 ^{aA}	18.05±1.11 ^{bA}	19.14±2.61 ^{bA}
	0.25	10.68±6.06 ^{aA}	24.51±7.97 ^{aA}	29.37±5.25 ^{aA}
	0.50	10.29±7.24 ^{aA}	24.57±9.70 ^{aA}	31.48±9.02 ^{aA}
	0.75	7.81±4.62 ^{aA}	22.51±11.48 ^{aA}	32.59±8.59 ^{aA}
	1.00	12.35±13.30 ^{aA}	23.24±14.28 ^{aA}	33.43±9.60 ^{aA}
freeze-thawed	control	28.96±1.25 ^{cA}	32.62±3.79 ^{cA}	35.57±7.95 ^{bA}
	0.00	24.15±1.39 ^{dA}	26.69±3.53 ^{dA}	26.69±3.53 ^{bcA}
	0.25	34.64±3.89 ^{bB}	39.27±0.56 ^{bA}	40.69±1.44 ^{bA}
	0.50	33.42±3.16 ^{bA}	37.37±3.71 ^{bA}	38.79±1.71 ^{bA}
	0.75	35.37±3.45 ^{bA}	39.98±2.30 ^{abA}	40.54±2.02 ^{bA}
	1.00	39.11±0.85 ^{aB}	43.28±0.89 ^{aA}	45.67±1.16 ^{aA}

¹⁾ ได้จากการวิเคราะห์ค่าเฉลี่ย±ส่วนเบี่ยงเบนมาตรฐาน จากการทดลอง 2 ชุด

a, b, ... ตัวอักษรพิมพ์เล็กกำกับที่เหมือนกันตามแนวตั้งแสดงถึงไม่มีความแตกต่างอย่างมีนัยสำคัญทางสถิติ ($P>0.05$)

A, B, ... ตัวอักษรพิมพ์ใหญ่กำกับที่เหมือนกันตามแนวอนуетแสดงถึงไม่มีความแตกต่างอย่างมีนัยสำคัญทางสถิติ ($P<0.05$)

ตารางที่ 22 ผลของกระบวนการผลิต (unsterilized, sterilized และ freeze-thawed) และปริมาณ Tween 60 ที่ระดับความเข้มข้นร้อยละ 0-1.00 ต่อความคงตัวของการแยกชั้นครีม (CI) ของแกงเขียวหวานไก่ที่ระยะเวลาการเก็บต่างๆ

Treatment		creaming index ¹⁾ (%)		
		24 ชั่วโมง	7 วัน	30 วัน
unsterilized	control	30.81±4.77 ^{aA}	33.60±4.93 ^{aA}	34.52±5.69 ^{cA}
	0	30.65±1.72 ^{abB}	37.60±2.90 ^{aA}	38.33±3.91 ^{abcA}
	0.25	10.96±5.14 ^{cB}	35.98±4.43 ^{aA}	42.57±2.40 ^{abA}
	0.50	17.53±2.95 ^{bC}	33.14±8.95 ^{aB}	44.38±0.78 ^{aA}
	0.75	5.59±1.62 ^{dC}	22.90±0.64 ^{bB}	36.33±5.91 ^{bcA}
	1.00	4.74±0.56 ^{dB}	31.84±8.64 ^{aA}	38.01±6.11 ^{abcA}
sterilized	control	30.93±14.52 ^{aA}	34.22±16.56 ^{aA}	34.40±16.30 ^{bcA}
	0	21.56±10.16 ^{abcA}	25.65±8.66 ^{aA}	26.77±13.14 ^{cA}
	0.25	24.48±4.41 ^{abB}	39.12±0.42 ^{aA}	47.91±10.98 ^{aA}
	0.50	11.60±11.77 ^{bcB}	31.42±9.83 ^{aAB}	44.07±0.75 ^{abA}
	0.75	9.16±7.32 ^{cA}	23.68±18.21 ^{aA}	41.11±2.69 ^{abA}
	1.00	13.22±15.00 ^{bcA}	32.46±12.63 ^{aA}	42.75±2.74 ^{abA}
freeze-thawed	control	37.77±6.99 ^{cdA}	38.33±7.24 ^{cdA}	38.33±7.24 ^{cdA}
	0	30.65±1.04 ^{dA}	31.81±3.44 ^{dA}	31.81±3.44 ^{dA}
	0.25	44.58±2.65 ^{bcA}	47.70±4.84 ^{bcA}	47.70±4.84 ^{bcA}
	0.50	58.28±9.06 ^{aA}	60.53±4.81 ^{aA}	60.53±4.81 ^{aA}
	0.75	50.63±4.61 ^{abA}	53.99±4.05 ^{abA}	53.99±4.05 ^{abA}
	1.00	45.25±11.45 ^{abA}	50.65±11.15 ^{abA}	50.65±11.15 ^{abA}

1) ได้จากการวิเคราะห์ ค่าเฉลี่ย±ส่วนเบี่ยงบานมาตรฐาน จากการทดลอง 2 ชุด

a, b, ... ตัวอักษรพิมพ์เล็กกำกับที่เหมือนกันตามแนวตั้งแสดงถึงไม่มีความแตกต่างอย่างมีนัยสำคัญทางสถิติ ($P>0.05$)

A, B, ... ตัวอักษรพิมพ์ใหญ่กำกับที่เหมือนกันตามแนวโน้มแสดงถึงไม่มีความแตกต่างอย่างมีนัยสำคัญทางสถิติ ($P<0.05$)

ตารางที่ 23 ผลของกระบวนการผลิต (unsterilized, sterilized และ freeze-thawed) และปริมาณ Tween 60 ที่ระดับความเข้มข้นร้อยละ 0-1.00 ต่อความคงตัวของการแยกชั้นครีม (CI) ของกลีวายบวชีที่ระยะเวลาการเก็บต่างๆ

Treatment		creaming index ¹⁾ (%)		
		24 ชั่วโมง	7 วัน	30 วัน
unsterilized	control	47.62±0.45 ^{aA}	49.63±2.21 ^{aA}	50.02±1.66 ^{aA}
	0	20.25±0.78 ^{bB}	43.97±2.04 ^{bAB}	45.53±2.10 ^{aA}
	0.25	8.62±2.85 ^{cA}	39.53±14.24 ^{bA}	47.95±15.14 ^{aA}
	0.50	7.13±3.50 ^{cA}	33.32±21.89 ^{bcA}	43.49±16.56 ^{aA}
	0.75	4.08±3.61 ^{dA}	23.86±19.71 ^{cA}	41.68±17.38 ^{aA}
	1.00	2.78±3.93 ^{dC}	24.08±14.20 ^{cB}	42.17±15.56 ^{aA}
sterilized	control	24.79±1.65 ^{bcA}	27.58±4.18 ^{bA}	28.73±4.71 ^{bA}
	0	18.30±1.94 ^{cB}	23.83±1.07 ^{cA}	25.01±0.56 ^{bA}
	0.25	20.72±8.56 ^{cB}	36.68±4.92 ^{aA}	40.54±0.55 ^{aA}
	0.50	29.56±1.99 ^{abB}	39.05±0.24 ^{aA}	40.26±0.31 ^{aA}
	0.75	25.23±5.88 ^{bcA}	35.73±4.47 ^{aA}	36.90±4.50 ^{aA}
	1.00	31.51±2.57 ^{aB}	38.53±0.32 ^{aA}	39.30±0.87 ^{aA}
freeze-thawed	control	47.38±1.14 ^{aA}	48.15±1.18 ^{aA}	48.76±2.04 ^{aA}
	0	16.14±0.56 ^{bcB}	38.98±2.56 ^{bcA}	42.91±2.56 ^{aA}
	0.25	28.57±10.13 ^{bB}	45.43±1.38 ^{aA}	48.22±5.32 ^{aA}
	0.50	25.15±25.53 ^{bA}	40.38±16.43 ^{abA}	48.63±4.76 ^{aA}
	0.75	19.79±22.93 ^{bcA}	29.37±25.77 ^{bcA}	42.92±8.87 ^{aA}
	1.00	7.98±9.58 ^{cA}	23.73±22.08 ^{cA}	41.45±8.62 ^{aA}

¹⁾ ได้จากการวิเคราะห์ค่าเฉลี่ย±ส่วนเบี่ยงเบนมาตรฐาน จากการทดลอง 2 ชุด

a, b, ... ตัวอักษรพิมพ์เล็กกำกับที่เหมือนกันตามแนวตั้งแสดงถึงไม่มีความแตกต่างอย่างมีนัยสำคัญทางสถิติ ($P>0.05$)

A, B, ... ตัวอักษรพิมพ์ใหญ่กำกับที่เหมือนกันตามแนวอนуетแองแสดงถึงไม่มีความแตกต่างอย่างมีนัยสำคัญทางสถิติ ($P>0.05$)

ตารางที่ 24 ผลของกระบวนการกรองเพื่อประเมิน Tween 60 ร้อยละ 0.25-1.00 และ CMC (ร้อยละ 0.60) ต่อความคงตัวของการแยกชั้นผ่าน (OI)
และปริมาณการถดถอดกอน (PI) หลังผ่าน濾ตกราดด้วย ไมโครเวฟ ในผิดตัวกลุ่มที่เป็นตัวอย่าง

ชนิดอาหาร	oiling off index ¹⁾ (%)			precipitation index ¹⁾ (%)		
	0.25	0.5	0.75	1	0.25	0.5
ต้มยำไก่น้ำจิ้ม	0.89±0.26 ^A	0.90±0.25 ^A	1.26±0.25 ^A	1.45±0.52 ^A	11.67±1.51 ^A	21.90±7.41 ^A
ต้มไข่ไก่	0.92±0.26 ^A	1.61±0.28 ^A	1.81±0.06 ^A	1.80±0.50 ^A	22.26±9.57 ^A	35.85±12.86 ^A
บูฟเฟ่ต์ไก่	1.45±0.51 ^B	2.35±0.27 ^{AB}	1.84±0.05 ^B	3.13±0.25 ^A	5.12±4.15 ^A	5.79±4.13 ^A
หมูสามชั้น	1.50±0.01 ^C	1.87±0.01 ^B	2.99±0.01 ^A	1.69±0.24 ^{BC}	20.54±0.62 ^A	29.12±7.17 ^A
						20.37±4.36 ^A
						17.53±9.77 ^A

¹⁾ ได้จากการวัดระยะห่างค่าเฉลี่ย±ส่วนเบี่ยงมาตรฐาน ในการทดสอบ 2 ครั้ง

A, B, ... ตัวอักษรพิมพ์ใหญ่กำกับที่หนึ่งกันกับตัวอื่นกันตามแนวอนเสถียร ไม่มีความแตกต่างท่องานสำหรับทางสถิติ ($P>0.05$)

ตารางที่ 25 ค่าพีอัช (pH) และความหนืดในระบบอาหารสต็อกวี เลเซฟ์ฟิลต์จากกะทิที่มีปริมาณ Tween 60 ต่างกัน

ชนิดอาหาร	pH ¹⁾			ความหนืด ¹⁾ (cP)		
	control	0.50	1.0	control	0.50	1.0
ต้มยำไก่เผา	4.56±0.00	4.52±0.01	4.56±0.00	76.1±0.2	54.5±0.6	61.6±0.6
ต้มยำกุ้ง	4.81±0.01	4.79±0.01	4.79±0.01	80.9±0.2	20.3±2.2	41.6±0.2
กุ้งผัดไก่	5.96±0.01	5.93±0.00	5.95±0.00	127.9±3.0	128.7±2.5	119.7±1.3
กุ้งต้มขาวหวานไก่	5.97±0.00	5.94±0.01	5.92±0.00	121.2±0.4	103.8±1.3	83.0±0.8
กุ้งปูขาวซีฟู้ด	5.45±0.02	5.51±0.01	5.54±0.01	105.0±0.4	83.7±1.3	103.5±1.7

1) ได้จากการวิเคราะห์ ค่าเฉลี่ย±ส่วนเบี่ยงバラつきของการทดสอบ 1 ครั้ง (ทำการรักษา 2 ตัวอย่าง)

ประวัติผู้วิจัย

ชื่อ-สกุล

ที่อยู่

ประวัติการศึกษา

พ.ศ. 2550

นางสาวนรัชน์ ชัยแจ้ง

4/24 ถนนอินทร์บุรี อำเภอแม่สอด จังหวัดตาก 63110

สำเร็จการศึกษาปริญญาวิทยาศาสตรบัณฑิต (เกียรตินิยมอันดับ 2)
สาขาวิชาเทคโนโลยีอาหาร คณะวิศวกรรมศาสตร์และ
เทคโนโลยีอุตสาหกรรมจากมหาวิทยาลัยศิลปากร พระราชวัง
สนามจันทร์ นครปฐม

พ.ศ. 2551

ศึกษาต่อระดับปริญญาวิทยาศาสตรมหาบัณฑิต สาขาวิชาเทคโนโลยี
อาหาร บัณฑิตวิทยาลัย มหาวิทยาลัยศิลปากร

การเสนอผลงาน

มิถุนายน 2551 เสนอผลงานภาคโป๊สเตอร์เรื่อง “Fractionation and some thermal properties of coconut milk protein” ในงานประชุมสัมมนา
วิชาการอุตสาหกรรมเกษตร ครั้งที่ 11 ณ ศูนย์แสดงสินค้าและ
การประชุมนานาชาติ ไบเทค บางนา กรุงเทพฯ

มกราคม 2553 เสนอผลงานภาคบรรยายเรื่อง “ผลของสภาวะในการโอมิโนซ์
Carboxymethyl Cellulose และ Tween 60 ต่อความคงตัวทาง
กายภาพของกะทิ” ในการประชุมวิชาการและเสนอผลงานวิจัย
ศิลปากรวิจัย ครั้งที่ 3 ณ ศูนย์ศิลปวัฒนธรรมเฉลิมพระเกียรติ 6
รอบพระชนมพรรษามหาวิทยาลัยศิลปากร วิทยาเขตพระราชวัง
สนามจันทร์ จังหวัดนครปฐม